



МИНИСТЕРСТВО ТРАНСПОРТА
РОССИЙСКОЙ ФЕДЕРАЦИИ
ФЕДЕРАЛЬНОЕ ДОРОЖНОЕ АГЕНТСТВО
(РОСАВТОДОР)

Бочкова ул., д. 4, Москва, 129085

Телефон: (495) 687-88-40, факс: (495) 686-15-50

E-mail: rad@fad.ru, http://www.rosavtodor.ru

01 ИЮЛ 2015

№ 02-28/19376

На № _____ от _____

Некоммерческое
Партнерство дорожных
проектных организаций
«РОДОС»

109428, г. Москва,
Рязанский проспект, д.24,
корп. 2
info@rodosnpp.ru

О рассмотрении проекта
альбома типовых решений

Управление проектирования и строительства автомобильных дорог Федерального дорожного агентства (далее – Управление) направляет первую редакцию альбома типовых решений надземных пешеходных переходов с применением цельномонолитных пролетных строений из полимерных композитов (далее – Альбом).

Просим организовать рассмотрение первой редакции Альбома в проектных организациях – членах Некоммерческого Партнерства дорожных проектных организаций «РОДОС» и направить замечания и предложения в Управление в возможно короткие сроки.

Материалы для рассмотрения направлены в электронном виде на E-mail:
info@rodosnpp.ru.

Начальник Управления проектирования
и строительства автомобильных дорог

Т.В. Лубаков



ООО "Руссингтэк"

ул. Профсоюзная, д. 23, Москва, 117997
Тел./факс: +7 (495) 419-01-64
info@russintek.ru; www.russintek.ru

ОГРН 108774604473 / ОКПО 84701280
ИНН 7727637980 / КПП 772701001

УДК 624.011.78, 624.012.6

№ госрегистрации 115021210072

Инв. №

Утверждаю

Заместитель генерального директора
по технической политике

Е.Ю. Крашенинин

2015 год



ОТЧЕТ О НАУЧНО-ИССЛЕДОВАТЕЛЬСКОЙ РАБОТЕ

**Разработка альбома типовых решений надземных пешеходных переходов с применением
цельномонолитных пролетных строений из полимерных композитов**
(первая редакция документа)

по теме:

**РАЗРАБОТКА АЛЬБОМА ТИПОВЫХ РЕШЕНИЙ ЦЕЛЬНОМОНОЛИТНЫХ ПРОЛЕТНЫХ
СТРОЕНИЙ ПЕШЕХОДНЫХ МОСТОВ ИЗ ПОЛИМЕРНЫХ КОМПОЗИТНЫХ МАТЕРИАЛОВ**

**Государственный контракт № ФДА 47/401 от 31 октября 2014 года
(третий этап, промежуточный)**

Москва 2015

СПИСОК ИСПОЛНИТЕЛЕЙ

Руководитель темы:

Заместитель генерального
директора по технической
политике



27.06.15

Е.Ю. Красченинин

подпись, дата

Исполнители темы:

Директор департамента
научно-технических
разработок

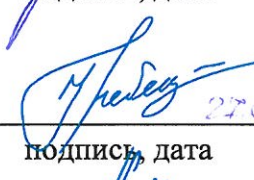


27.06.15

В.С. Шиковский

подпись, дата

Ведущий специалист



27.06.15

К.М. Гребенюк

подпись, дата

Ведущий специалист



27.06.15

В.Б. Грачев

подпись, дата

Нормоконтролер:

Ведущий специалист



27.06.15

И.В. Никитин

подпись, дата

РЕФЕРАТ

Отчет 98 с, 4 формулы, 4 рисунка, 2 таблицы, 5 источников.

ПРОЛЕТНЫЕ СТРОЕНИЯ, ПОЛИМЕРНЫЕ КОМПОЗИТЫ, ЦЕЛЬНОМОНОЛИТНЫЕ ПРОЛЕТНЫЕ СТРОЕНИЯ ИЗ ПОЛИМЕРНЫХ КОМПОЗИТОВ, НАДЗЕМНЫЙ ПЕШЕХОДНЫЙ ПЕРЕХОД

Объектом исследования являются цельномонолитные пролетные строения из полимерных композитов для надземных пешеходных переходов.

Целью третьего этапа научно-исследовательской работы является разработка альбома типовых решений надземных пешеходных переходов с применением цельномонолитных пролетных строений из полимерных композитов на основе выбранных критериев унификации данных конструкций.

В процессе работы подготовлен альбом типовых решений надземных пешеходных переходов с применением цельномонолитных пролетных строений из полимерных композитов.

СОДЕРЖАНИЕ

ВВЕДЕНИЕ	5
1 Разработка первой редакции проекта альбома типовых решений надземных пешеходных переходов с применением цельномонолитных пролетных строений из полимерных композитов.....	6
2 Расчет элементов конструкций цельномонолитных пролетных строений из полимерных композитов.....	8
ЗАКЛЮЧЕНИЕ	15
Список использованных источников	16
Приложение А Первая редакция проекта альбома типовых решений надземных пешеходных переходов с применением цельномонолитных пролетных строений из полимерных композитов.....	17
Приложение Б Пояснительная записка к первой редакции проекта альбома типовых решений надземных пешеходных переходов с применением цельномонолитных пролетных строений из полимерных композитов.....	35
Приложение В Расчет строительных конструкций по теме «Разработка математической модели методом конечных элементов пролетного строения пешеходного моста длиной 18.0 м шириной проходной части 2.25м с использованием различных элементов из ПКМ».....	39

ВВЕДЕНИЕ

В практику зарубежного и отечественного строительства мостовых сооружений все больше входит применение цельномонолитных пролетных строений из полимерных композиционных материалов, которые превосходят традиционные по большинству параметров.

Опыт успешного применения этих конструкций показал их конкурентные преимущества по сравнению с металлическими и бетонными: они имеют малый вес при высокой прочности и надежности; обладают высокой стойкостью к коррозии и агрессивным средам и, как следствие, повышенной долговечностью; они имеют короткий технологический цикл изготовления, монтажа и ремонта; у них низкие эксплуатационные расходы; они имеют рабочий температурный режим в пределах от плюс 60°C до минус 60°C; отсутствует вредное воздействие на окружающую среду.

Цельномонолитные пролетные строения из полимерных композитных материалов являются конструкциями индивидуального проектирования, что обусловлено отсутствием базы типовых конструкций надземных пешеходных переходов над автомобильными дорогами, и в свою очередь приводит к увеличению сроков проектирования и вводом сооружения в эксплуатацию в целом.

Учитывая преимущества применения в конструкциях надземных пешеходных переходов цельномонолитных пролетных строений из полимерных композитов, в целях повышения эффективности строительства, появляется необходимо разработать типовые решения таких конструкций для дальнейшего внедрения в производство.

Разработка настоящего альбома типовых решений упростит их проектирование, уменьшит количество трудоемких инженерных расчетов и, как следствие, значительно сократит длительность проектирования, а также расширит область применения данных конструкций при строительстве и ремонте надземных пешеходных переходов.

1 Разработка первой редакции проекта альбома типовых решений надземных пешеходных переходов с применением цельномонолитных пролетных строений из полимерных композитов

На третьем этапе научно-исследовательской работы была разработана первая редакция альбома типовых решений надземных пешеходных переходов с применением цельномонолитных пролетных строений из полимерных композитов.

Полученные результаты первого и второго этапов настоящей научно-исследовательской работы: анализ существующих конструктивных решений и перспектив производства в России конструкций пролетных строений из полимерных композитов, программа и отобранные в соответствии с разработанными критериями конструктивные решения сформировали основу для разработки первой редакции проекта альбома типовых решений.

Первая редакция проекта альбома типовых решений надземных пешеходных переходов с применением цельномонолитных пролетных строений из полимерных композитов направлена на рецензию в следующие организации:

- ОАО «Тверьстеклопластик»;
- ФКУ «Центравтомагистраль»;
- ФГБОУ ВПО «Сибирский государственный технологический университет»;
- «Инженерно-строительный институт Сибирского федерального университета (ИСИ СФУ).

Также первая редакция проекта альбома типовых решений надземных пешеходных переходов с применением цельномонолитных пролетных строений из полимерных композитов направлена в Технический комитет по стандартизации ТК 418 «Дорожное хозяйство» для получения экспертного заключения.

После получения рецензий и предложений от выше указанных организаций на четвертом этапе научно-исследовательской работы будет сформирована окончательная редакция альбома типовых решений надземных пешеходных переходов с применением цельномонолитных пролетных строений из полимерных композитов.

Проект альбома типовых решений надземных пешеходных переходов с применением цельномонолитных пролетных строений из полимерных композитов представлен в приложении А.

Пояснительная записка к проекту альбома типовых решений надземных пешеходных переходов с применением цельномонолитных пролетных строений из полимерных композитов с описанием всех предпосылок для расчета представлена в приложении Б.

2 Расчет элементов конструкций цельномонолитных пролетных строений из полимерных композитов

Расчет конструкции цельномонолитных пролетных строений из полимерных композитов для надземных пешеходных переходов выполнен методом конечных элементов с использованием программного комплекса MSC.Nastran.

В расчете учитываются основные физико-механические характеристики стеклокомпозитов. Нагрузки применяются, с учетом соответствующих коэффициентов надежности, принятых по СП 35.13330.2011 [1] для элементов конструкции из полимерных композиционных материалов. Также при расчетах принимаются во внимание поправочные коэффициенты, учитывающие ухудшение свойств материала в процессе эксплуатации.

Основное неравенство для расчёта элементов конструкции пролетного строения надземного пешеходного перехода из полимерных композиционных материалов записывается в следующем виде:

$$\gamma_n * \sum(S_i * \gamma_{fi}) \leq \frac{R}{\gamma_m \gamma_c} \quad (1)$$

где: S – напряжения (деформации) от нормативных величин нагрузок;

R – нормативное сопротивление (или предельная деформация) композитного материала;

γ_f – коэффициент надёжности по нагрузке;

$\gamma_n = 1,1$ – коэффициент надежности по ответственности;

γ_m – коэффициент надежности по материалу;

γ_c – коэффициент, учитывающий падение свойств материала в процесс эксплуатации.

$$\gamma_m = \gamma_{m,1} \cdot \gamma_{m,2} \quad (2)$$

где: $y_{m,1} = 1,35$ – коэффициент, учитывающий систематическую погрешность при экспериментальном определении свойств материала либо неточность математических моделей при расчётном определении свойств;

$y_{m,2} = 1,2$ – коэффициент, учитывающий нестабильность свойств материала в конструкции при изготовлении. Значение коэффициента $y_{m,2} = 1,2$, принято поскольку композитные элементы конструкции изготавливаются методом вакуумной инфузии с посттвёрждением.

$$R = R_m \cdot (1 - 2,0 \cdot \vartheta) \quad (3)$$

где: R_m – среднее значение сопротивления материала;

$\vartheta = 0,13$ – коэффициент вариации (при отсутствии экспериментальных данных испытаний образцов материала).

Расчетные значения параметров жесткости определяются следующим образом:

$$E = \frac{E_{\text{ном}}}{\gamma_d \cdot \gamma_c} \quad (4)$$

где: E – расчётное значение параметров жёсткости;

$E_{\text{ном}}$ – среднее значение параметров жёсткости, определённое на испытаниях, взятое с надежностью 0,95;

γ_c – коэффициент, учитывающий падение свойств материала в процесс эксплуатации (см. таблицу 2.2);

$\gamma_d = 1,1$ – коэффициент условий работы.

В соответствии с п.6.21 СП 35.13330.2011 [1] динамический коэффициент к вертикальным подвижным нагрузкам для пешеходных мостов равен $(1+\mu)=1$.

Сила тяжести моделировалась как инерционная нагрузка, учитывающая полную массу пролета.

С целью унификации конструкций цельномонолитных пролетных строений из полимерных композитов и расширению области применения данного альбома типовых решений для строительства и проектирования надземных пешеходных переходов на территории РФ (с учетом рабочего температурного режима самих конструкций в пределах от плюс 60°C до минус 60°C) было принято решение производить расчеты для VI сугревого района и VII ветрового района строительства, согласно СП 131.13330.2012 «Строительная климатология. Актуализированная редакция СНиП 23-01-99*» [2].

При расчете использовалась действующая нормативная документация.

- СП 35.13330.2011 «Мосты и трубы. Актуализированная редакция СНиП 2.05.03-84*» [1];

- СП 131.13330.2012 «Строительная климатология. Актуализированная редакция СНиП 23-01-99*» [2];

- ГОСТ Р 54928-2012 «Пешеходные мосты и путепроводы из полимерных композитов. Технические условия» [3];

- ГОСТ Р 54257-2010 «Надежность строительных конструкций» [4];

- СТО 00204961-004-2012 «Пешеходные мосты и путепроводы из полимерных композитов» [5].

Создание расчетной конечно-элементной модели, а также анализ результатов расчета выполнялся с помощью программного комплекса MSC.Patran.

На рисунке 1 приведена конечно-элементная модель цельномонолитного пролетного строения из полимерных композитов.

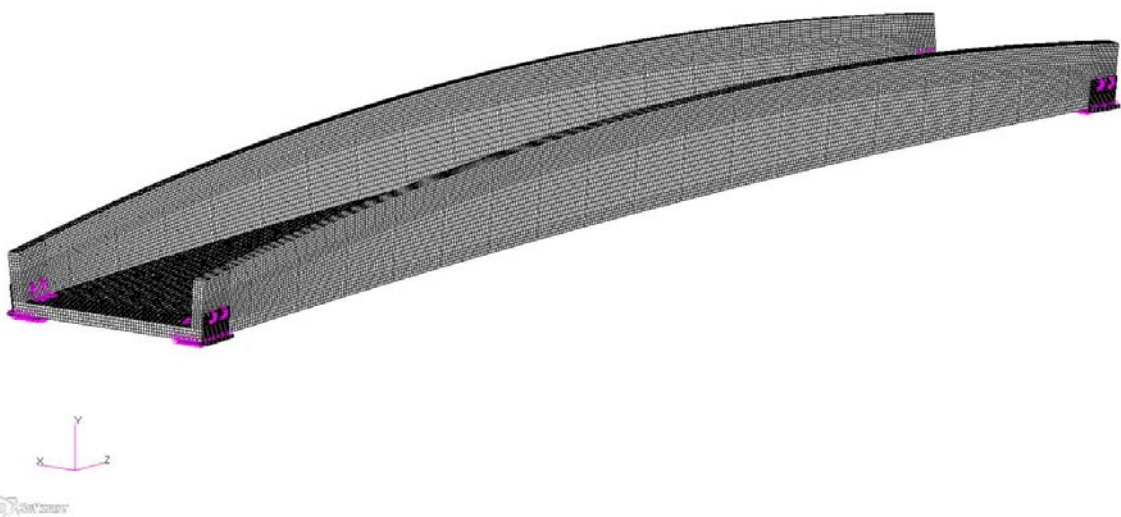


Рисунок 1 – Конечно-элементная модель цельномонолитного пролетного строения из полимерных композитов

Цельномонолитное пролетное строение из полимерных композитов для надземных пешеходных переходов имеет опирание в четырех точках. На рисунке 2 приведена схема закрепления. В таблице 1 приведены закрепленные степени свободы в узлах основания.

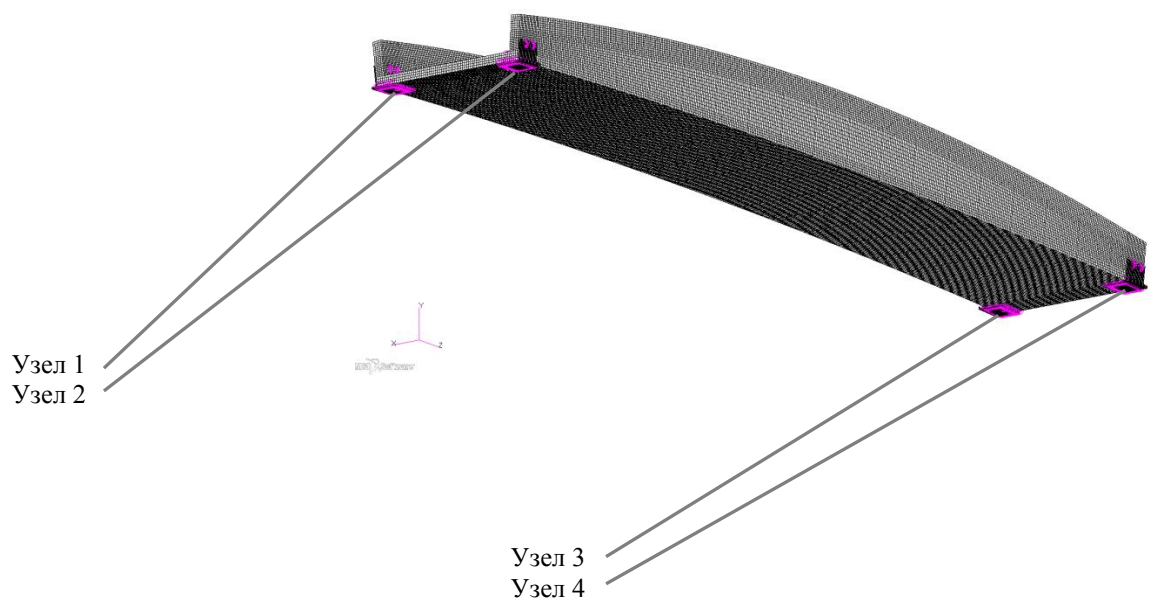


Рисунок 2 – Схема закрепления

Таблица 1 – Закрепленные степени свободы в узлах

Номер узла	Направление перемещения		
	X	Y	Z
1		+	
2	+	+	+
3		+	
4	+	+	

В расчетную модель для расчета элементов конструкции пролетного строения для надземного пешеходного перехода не включены модели конструкции остекления и перил. Нагрузки от остекления (с учетом снеговой нагрузки) и перил заданы в виде вертикальных сил к узлам арок. Значения данных нагрузок с целью унификации конструкций приняты из опыта проектирования и эксплуатации уже существующих подобных надземных пешеходных переходов. При значительном увеличении данных нагрузок в процессе индивидуального проектирования надземных пешеодных переходов с цельномонолитным пролетным строением необходимо внести корректизы в расчеты для уточнения опорных реакций.

Схема нагружения массой снега, остекления и перил приведена на рисунке 3.

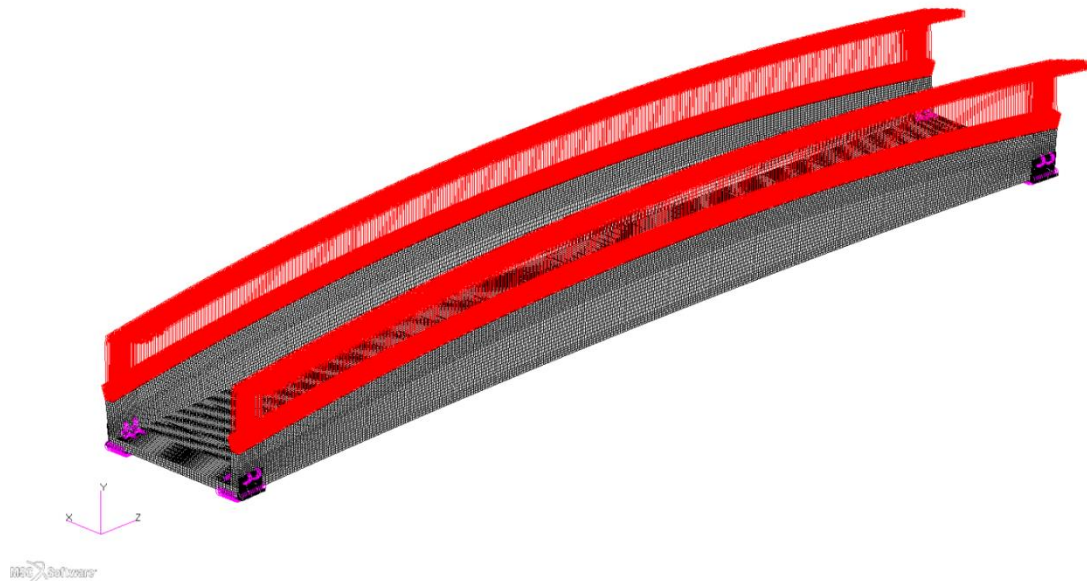


Рисунок 3 – Схема нагружения массой снега, остекления и перил

Распределённая нагрузка на пешеходный мост (п. 6.21 СП 35.13330.2011 [1]) от пешеходов задана в виде вертикальных сил к узлам на пешеходной части. Схема нагружения массой пешеходов приведена на рисунке 4.

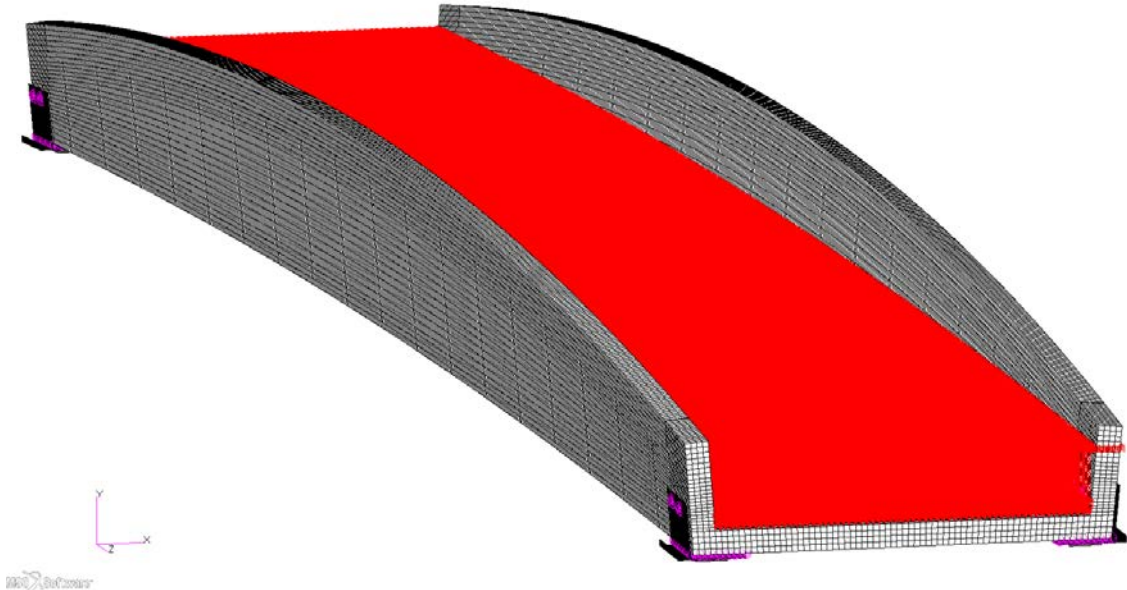


Рисунок 4 – Схема нагружения массой пешеходов

Для расчета усилий в точках крепления конструкции пролетного строения надземного пешеходного перехода от ветровых нагрузок была создана динамическая модель, учитывающая пульсацию ветровых нагрузок в диапазоне от 0 до 10 Гц.

Границы значений ветрового давления выбиралась из наихудшей комбинации направления ветров - предполагалось, что противоположные по направлениям порывы ветра поочередно воздействуют на конструкцию.

По результатам первого и второго этапов данной научно-исследовательской работы для дальнейшей разработки были выбраны следующие длины пролетных строений: 12.0 м, 15.0 м, 18.0 м, 20.0 м, 21.0 м, 22.0 м ... 30.0 м. На третьем этапе, в процессе работы непосредственно с производителями данных конструкций, было выяснено, что, в силу конструктивных особенностей и особенностей данного типа балок, изготовление длин 28.0 м, 29.0 м и 30.0 м – невозможно.

По итогам проведенных расчетов составлены таблицы с расчетными и нормативными усилиями на опорах для всех длин балок, необходимыми для

дальнейшего проектирования надземных пешеходных переходов (подбор опорных частей, конструкций опор и оснований). Расчетные усилия от постоянных нагрузок на одну опорную часть представлены в таблице 2.

Таблица 2 – Расчетные усилия от постоянных нагрузок на одну опорную часть

Длина пролёта, мм	Ширина пролёта, мм	Наименование нагрузки					
		Вес балки, кН	Пешеходная, кН	Ветровая (VII район), кН	Снеговая (VI район), кН	Вес остекления, перил, кН	Вес покрытия, кН
12000	2250	22,0	37,8	44,0	59,64	13,5	1,2
	3000	32,0	50,4	32,1	72,24	13,5	1,6
15000	2250	25,0	47,3	55,0	74,55	16,9	1,5
	3000	35,0	63,0	40,1	90,3	16,9	2,0
18000	2250	27,0	56,7	66,0	89,46	20,3	1,8
	3000	37,0	75,6	48,1	108,36	20,3	2,4
20000	2250	31,0	63,0	73,3	99,4	22,6	2,0
	3000	41,0	84,0	53,5	120,4	22,6	2,7
21000	2250	33,5	66,2	77,0	104,37	23,7	2,1
	3000	43,5	88,2	56,1	126,42	23,7	2,8
22000	2250	36,0	69,3	80,7	109,34	24,8	2,2
	3000	46,0	92,4	58,8	132,44	24,8	3,0
23000	2250	38,5	72,5	84,3	114,31	25,9	2,3
	3000	48,5	96,6	61,5	138,46	25,9	3,1
24000	2250	41,0	75,6	88,0	119,28	27,1	2,4
	3000	51,0	100,8	64,2	144,48	27,1	3,2
25000	2250	43,5	78,8	91,7	124,25	28,2	2,5
	3000	53,5	105,0	66,8	150,5	28,2	3,4
26000	2250	46,0	81,9	95,3	129,22	29,3	2,6
	3000	56,0	109,2	69,5	156,52	29,3	3,5
27000	2250	48,5	85,1	99,0	134,19	30,4	2,7
	3000	58,5	113,4	72,2	162,54	30,4	3,6

В приложении В данного отчета представлен пример расчета по теме: «Разработка математической модели методом конечных элементов пролетного строения пешеходного моста длиной 18,0 м шириной проходной части 2,25м с использованием различных элементов из ПКМ». Расчеты для прочих длин пролетных строений выполнялись аналогично в соответствии с теми же расчетными предпосылками.

ЗАКЛЮЧЕНИЕ

В результате выполнения третьего этапа научно-исследовательской работы была разработана первая редакция проекта альбома типовых решений надземных пешеходных переходов с применением цельномонолитных пролетных строений из полимерных композитов.

Первая редакция разработана с учетом имеющегося международного и отечественного опыта применения цельномонолитных пролетных строений из композитных материалов для надземных пешеходных переходов, обоснования выбора конструкций из полимерных композиционных материалов согласно ранее разработанных программы и критериев отбора конструктивных решений, нормативных документов.

В настоящее время разработчиком продолжается сбор и анализ предложений и замечаний от рецензентов и заинтересованных организаций.

СПИСОК ИСПОЛЬЗОВАННЫХ ИСТОЧНИКОВ

1 СП 35.13330.2011 «Мосты и трубы. Актуализированная редакция СНиП 2.05.03-84*».

2 СП 131.13330.2012 «Строительная климатология. Актуализированная редакция СНиП 23-01-99*».

3 ГОСТ Р 54928-2012 «Пешеходные мосты и путепроводы из полимерных композитов. Технические условия».

4 ГОСТ Р 54257-2010 «Надежность строительных конструкций».

5 СТО 00204961-004-2012 «Пешеходные мосты и путепроводы из полимерных композитов».

Приложение А

Первая редакция проекта альбома типовых решений надземных пешеходных переходов с применением цельномонолитных пролетных строений из полимерных композитов

Типовые конструкции, изделия и узлы зданий и сооружений

АЛЬБОМ ТИПОВЫХ РЕШЕНИЙ НАДЗЕМНЫХ
ПЕШЕХОДНЫХ ПЕРЕХОДОВ С ПРИМЕНЕНИЕМ
ЦЕЛЬНОМОНОЛИТНЫХ ПРОЛЕТНЫХ СТРОЕНИЙ
ИЗ ПОЛИМЕРНЫХ КОМПОЗИТОВ

Материалы для проектирования.

Рабочие чертежи

Типовые конструкции, изделия и узлы зданий и сооружений

УТВЕРЖДАЮ

Технический директор ООО "Руссинтэк"

Крашенинин Е.Ю.

АЛЬБОМ ТИПОВЫХ РЕШЕНИЙ НАДЗЕМНЫХ ПЕШЕХОДНЫХ ПЕРЕХОДОВ С ПРИМЕНЕНИЕМ ЦЕЛЬНОМОНОЛИТНЫХ ПРОЛЕТНЫХ СТРОЕНИЙ ИЗ ПОЛИМЕРНЫХ КОМПОЗИТОВ

Материалы для проектирования.

Рабочие чертежи

Главный инженер проекта

Шелегин Г.В.

Содержание

Обозначение	Наименование	Стр.
47/401-С	Содержание	2
47/401-ПЗ	Пояснительная записка	3
47/401-ПС	Балка пролетного строения длиной 12,0 м (15,0 м, 18,0 м, 20,0 м, 21,0 м, 22,0 м...30,0 м) шириной 2,25 м и 3,0 м	7
47/401-РП	Комплекс расчетных параметров	10
47/401-ПО	Площадка опорная ПО	13
47/401-ЗД1	Закладная деталь ЗД1	14
47/401-ЗД2	Закладная деталь ЗД2	15
47/401-ВР	Сводная ведомость расхода материалов на пролетные строения	16
47/401-HM1	Накладка металлическая HM1	17
47/401-HM1	Накладка металлическая HM2	18

Ведомость спецификаций

Лист	Наименование	Примечание
ПС	Спецификация деталей на одно пролетное строение	
ПО	Спецификация на площадку опирания на одно пролетное строение	
ЗД1	Спецификация на закладную деталь ЗД1	
ЗД2	Спецификация на закладную деталь ЗД2	
ВР	Ведомость материалов	
HM1	Спецификация на накладку HM1	
HM2	Спецификация на накладку HM2	

Согласовано

Инв. № подл. Подпись и дата

Взам. инв. №

Типовые конструкции разработаны в соответствии с требованиями экологических, санитарно-гигиенических, противопожарных норм, действующих на территории Российской Федерации на дату выпуска проекта и обеспечивают безопасную для жизни и здоровья людей эксплуатацию объекта при соблюдении предусмотренных мероприятий.

Главный инженер проекта _____ /Шелегин Г.В./

Изм.	Кол. уч.	Лист	№ док.	Подп.	Дата	Стадия	Лист	Листов
Разработал	Грачев				04.15	Содержание	1	
Проверил	Шиковский				04.15			
Н. контр.	Никитин				04.15			
ГИП	Шелегин				04.15			
Утв.	Крашенинин				04.15			

47/401-С

Содержание

1. Введение

Типовые строительные конструкции Цельномонолитные пролетные строения из полимерных композитных материалов для надземных пешеходных переходов включают в себя чертежи пролетных строений длиной 12,0, 15,0, 18,0, 20,0, 21,0, 22,0...30,0 м с шириной (габаритом) проходной части 2,25 и 3,0 м, разработанных в соответствии с СП 35.13330.2011 Мосты и Трубы. Актуализированная редакция СНиП 2.05.03-84*. Пролетные строения для пешеходных переходов выполнены из композитных материалов (стеклокомпозит), kleенои древесины (LVL-брюс) и заполнителя из пенополиуретана (ППУ) в качестве вспомогательного элемента.

2. Область применения

Цельномонолитные пролетные строения из полимерных композитных материалов для надземных пешеходных переходов предназначены для пропуска пешеходов над различными препятствиями.

Рекомендуемые внешние условия, в которых могут эксплуатироваться композитные пешеходные мосты, определяются следующими требованиями: интервал рабочих температур от минус 60 °С до плюс 60 °С, географические зоны от сухой до влажной по СП 50.13330, географический район с сейсмичностью до 9 баллов, степень агрессивности среды не более чем слабоагрессивная по СП 28.13330 (таблица Б.1, для бетона)

3. Материалы

Полимерные композиты для изготовления конструктивных элементов пешеходных мостов должны удовлетворять требованиям по стойкости к внешним воздействиям: по морозостойкости, водонепроницаемости, влагостойкости, термостойкости, климатическому старению в соответствии с требованиями ГОСТ Р 54928 и требованиям, предъявляемым к бетону по СП 35.13330.

Показатели морозостойкости полимерных композитов должны соответствовать марке бетона по морозостойкости не ниже F300 (в солях) по ГОСТ 10060 для бетонов дорожных и аэродромных покрытий.

Водонепроницаемость полимерных композитов должна соответствовать марке бетона по водонепроницаемости не ниже W8 по СП 28.13330.2011 актуализированная редакция СНиП 2.03.11-85.

Полимерный композит конструктивных элементов пешеходных переходов должен представлять собой конструкционный многослойный материал (ламинат), каждый слой которого (ламель) состоит из термореактивной смолы, наполненной армирующими материалами.

Ламинат конструктивных элементов из полимерных композитов должен состоять из ламелей, в которых чередуется направление армирующих волокон (например: 0 , +45 , -45 , 90 - рисунок 1). Количество ламелей и последовательность их чередования определяется расчетом при разработке проектной документации.

Соблюдение данного условия позволяет перераспределить и минимизировать межслойные напряжения в полимерном композите.

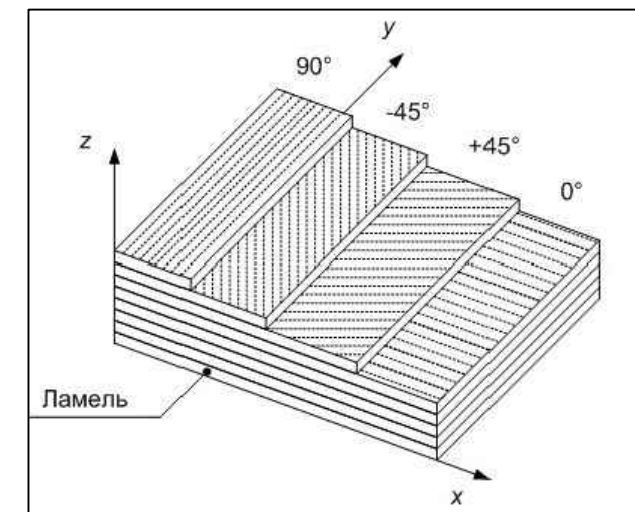


Рисунок 1 – Пример строения ламината конструктивных элементов

Конструктивные элементы пролетного строения выполнены:

Из конструкционного стеклокомпозита СКК2, СКК4, СКК6, TX-Combiflow-300-TX изготавливаемого в соответствии с техническими условиями СТО 002.04.961-009- 2011;

LVL-бруса тип 2, изготавливаемого в соответствии с техническими условиями ТУ 5366-052-6915009120-2008, ТУ 5512-053-6915009120-2008.

При расчете пролетного строения для пешеходного путепровода были использованы материалы приведенные ниже в таблицах.

В таблице 1 приведены физико-механические характеристики стеклокомпозитов, примененных в пролетном строении.

В таблице 2 приведены свойства LVL-блока тип 1. Свойства определены на основании заявленных изготовителем в технических условиях.

Изм.	Кол. уч.	Лист	№ док.	Подп.	Дата	
Разработал	Гребенюк			<i>Гребенюк</i>	04.15	
Проверил	Шиковский				04.15	
Н. контр.	Никитин				04.15	
ГИП	Шелегин				04.15	
Чтв.	Крашененин				04.15	

47/401-ПЗ

Стадия Лист Листов

1 4

Пояснительная записка

Таблица 1 – Физико-механические характеристики стеклокомпозитов

№	Характеристики	Принятые номинальные значения для композита, МПа			
		СКК2	СКК4	СКК6	TX-Combiflow-300-TX
1	Модуль упругости в направлении 0°, МПа	24809	18973	28856	13917
2	Модуль упругости в направлении 90°, МПа	9147	12661	6404	7162
3	Модуль сдвига, МПа	4623	5661	4319	4827
4	Коэффициент Пуассона в направлении	0.285	0.347	0.265	0.338
5	Растяжение	Прочность в направлении 0°, МПа	501	330	523
6		Прочность в направлении 90°, МПа	168	211	50
7	Сжатие	Прочность в направлении 0°, МПа	274	185	321
8		Прочность в направлении 90°, МПа	112	146	67
9	Сдвиг	Прочность, МПа	78	118	62
10	Плотность, кг/м ³	1800	1800	1800	1800

Таблица 2 – Свойства LVL-бруса тип 1

Инд. № подл.	Подпись и дата	Взам. инф. №	Напряженное состояние	Характеристики	Принятые номинальные значения			
					1	2	3	4
				1 Модуль упругости вдоль волокон, ГПа	10			
				2 Модуль упругости поперёк волокон, ГПа	3.5			
				3 Модуль сдвига, ГПа	0.9			
				4 Коэффициент Пуассона	0.3			
			Растяжение	5 Прочность вдоль волокон, МПа	27.0			
				6 Прочность поперек волокон, МПа	6.7			
			Сжатие	7 Прочность вдоль волокон, МПа	27.0			
				8 Прочность поперек волокон на ребре, МПа	12.0			
				9 Прочность поперек волокон на пласти, МПа	3.5			
			Сдвиг (скалывание)	10 Прочность вдоль волокон слоев шпона, МПа	3.9			
				11 Прочность поперёк волокон слоев шпона, МПа	1.7			
				12 Плотность, кг/м ³	600			

Закладные детали выполнены из углеродистой горячекатанной стали ст3сп по ГОСТ 380-2005 в обычном исполнении и из низколегированной конструкционной стали марки 16Д по ГОСТ 6713-91 в северном исполнении. Сварка производится по ГОСТ 9467-75, электродами типа Э42А.

Болты для крепления опорных площадок выполнены по ГОСТ 7798-70, шайбы по ГОСТ 11371-78 и ГОСТ 6402-70*. Винт для крепления закладных деталей по ГОСТ 17475-80.

6. Особенности конструкции

В рабочих чертежах представлены пролетные строения надземных пешеходных переходов, выполненные из полимерных композитных материалов длиной 12,0, 15,0, 18,0, 20,0, 21,0 22,0... 30,0 метров и габаритом прохожей части 2,25 и 3 метра.

Конструкция пролетного строения состоит из следующих элементов:

- нижняя плита (имеет продольный изгиб с радиусом кривизны 240 м);
- продольные борта переменной высоты (имеют развал 5 +5).

Плита, борта, арки и стойки выполнены по технологии трехслойной ("сэндвич") конструкции с несущими слоями из многослойного стеклокомпозита и пенополиуретановым заполнителем.

Плита, борта и стойки усилены поперечными ребрами жесткости с переменным шагом от 100 до 200 мм.

Плита и борта усилены LVL-бруском с торцов конструкции шириной по 600 мм.

Арки усилены продольными ребрами жесткости.

Размеры площадок опирания и конструкции закладных деталей с целью унификации и простоты изготовления рассчитаны на усилия от максимальных воздействий и принятые одинаковыми для всех длин пролетов.

Диаметр и длина болтов для закрепления опорной площадки приняты из расчета на срез стали и условий смятия.

7. Расчетные предпосылки

Цельномонолитное пролетное строение из полимерных композитов для надземных пешеходных переходов имеет опирание в четырех точках. Сила тяжести моделировалась как инерционная нагрузка, учитывающая полную массу пролета.

С целью унификации конструкций цельномонолитных пролетных строений из полимерных композитов и расширению области применения данного альбома типовых решений для строительства и проектирования надземных пешеходных переходов на территории РФ (с учетом рабочего температурного режима самих конструкций в пределах от + 65 С до - 80 С) было принято решение производить расчеты для VI снегового района и VII ветрового района строительства, согласно СНиП 23-01-99 Строительная климатология .

Изм.	Кол.уч.	Лист	№ док.	Подп.	Дата	Лист
						47/401-П3

В расчетную модель для расчета элементов конструкции пролетного строения для надземного пешеходного перехода не включены модели конструкции остекления и перил. Нагрузки от остекления (с учетом снеговой нагрузки) и перил заданы в виде вертикальных сил к узлам арок. Значения данных нагрузок с целью унификации конструкций приняты из опыта проектирования и эксплуатации уже существующих подобных надземных пешеходных переходов. При значительном увеличении данных нагрузок в процессе индивидуального проектирования надземных пешеходных переходов с цельномонолитным пролетным строением необходимо внести корректиды в расчеты для уточнения опорных реакций.

Для расчета усилий в точках крепления конструкции пролетного строения для пешеходного путепровода от ветровых нагрузок была создана динамическая модель, учитывающая пульсацию ветровых нагрузок в диапазоне от 0 до 10 Гц.

Границы значений ветрового давления выбиралась из наихудшей комбинации направления ветров – предполагалось, что противоположные по направлениям порывы ветра поочередно воздействуют на конструкцию.

8. Методика расчета

Основное неравенство для расчета элементов конструкции пролетного строения для пешеходного путепровода из композиционных материалов записывается в следующем виде:

$$\gamma_n * \sum(S_i * \gamma_{f_i}) \leq R / (\gamma_m * \gamma_c), \text{ где}$$

S – напряжения (деформации) от нормативных величин нагрузок, кН;

R – нормативное сопротивление (или предельная деформация) композитного материала, кН;

γ_f – коэффициент надежности по нагрузке;

$\gamma_n = 1,1$ – коэффициент надежности по ответственности;

γ_m – коэффициент надежности по материалу;

γ_c – коэффициент, учитывающий падение свойств материала в процесс эксплуатации

$$\gamma_m = \gamma_{m,1} * \gamma_{m,2}, \text{ где}$$

$\gamma_{m,1} = 1,35$ – коэффициент, учитывающий систематическую погрешность при экспериментальном определении свойств материала либо неточность математических моделей при расчетном определении свойств;

$\gamma_{m,2} = 1,2$ – коэффициент, учитывающий нестабильность свойств материала в конструкции при изготовлении. Значение коэффициента $\gamma_{m,2}=1,2$, принято поскольку композитные элементы конструкции изготавливаются методом вакуумной инфузии с посттврждением.

$$R = R_m * (1 - 2,0 * \vartheta), \text{ где}$$

R_m – среднее значение сопротивления материала, кН/м²;

$\vartheta = 0,13$ – коэффициент вариации (при отсутствии экспериментальных данных испытаний образцов материала).

Расчетные значения параметров жесткости определяются следующим образом:

$$E = E_{\text{ном}} / (\gamma_d * \gamma_c), \text{ где}$$

E – расчетное значение параметров жесткости, МПа;

$E_{\text{ном}}$ – среднее значение параметров жесткости, определенное на испытаниях, взятое с надежностью 0,95, МПа;

γ_c – коэффициент, учитывающий падение свойств материала в процесс эксплуатации;

$\gamma_d = 1,1$ – коэффициент условий работы.

В соответствии с п.6.21 СП 35.13330.2011 динамический коэффициент к вертикальным подвижным нагрузкам для пешеходных мостов равен $(1+\mu)=1$.

9. Маркировка

Маркировка композитных пролетных строений для надземных пешеходных переходов состоит из двух групп, разделенных чертой.

Примеры маркировки:

КП1200x225-20x20

КП2700x300-21x22

1-ая группа:

КП – композитное пролетное строение, тип конструкции;

1200, 2700 – длина пролетного строения, в см;

225, 300 – ширина (габарит) проходящей части пролетного строения, в см;

2-ая группа:

20, 21 – толщина стенки пролетного строения, в см;

20, 22 – толщина плиты пролетного строения, в см.

Изм.	Кол.уч.	Лист	№ док.	Подп.	Дата

47/401-ПЗ

Лист

3

10. Изготовление, отпускная прочность, транспортировка, хранение

Для конструктивных элементов из полимерных композитов допускаются отклонения геометрических размеров от их проектных значений по ГОСТ 54928-2012.

Допустимые значения отклонений геометрических размеров конструктивных элементов из полимерных композитов от их проектных значений представлены в таблице 3.

Таблица 3 – Допустимые значения отклонений геометрических размеров пролетных строений

Наименование отклонения	Допускаемое отклонение, мм
Отклонение длины конструктивного элемента от проектной	0,0005L, но не более 10 мм
Отклонение конструктивного элемента от плоскости	3мм

Упаковку конструктивных элементов из полимерных композитов производят в соответствии с требованиями, определенными в договоре на изготовление (поставку) данной продукции. Для районов Крайнего Севера упаковка производится по ГОСТ 15846.

Конструктивные элементы из полимерных композитов следует хранить под навесом при температуре окружающей среды и относительной влажности, соответствующим условиям эксплуатации.

11. Методы контроля и испытаний

Геометрические параметры пролетных строений из полимерных композитных материалов проверяют в соответствии с требованиями ГОСТ 26433.1 с применением измерительных инструментов необходимой точности.

Проверка состояния поверхности, цвета, производственных дефектов пролетных строений производится визуально путем сравнения с контрольным образцом.

Предел огнестойкости фрагментов несущих конструкций из полимерных композитов определяется по ГОСТ 30247.0 и ГОСТ 30247.1

Определение изнашиваемости рабочих поверхностей фрагментов пролетных строений из полимерных композитов (верхнего слоя ламината) с нанесенным дополнительным износостойким противоскользящим покрытием производится по ГОСТ 13015.

Определение морозостойкости рабочих поверхностей фрагментов пролетных строений из полимерных композитов (верхнего слоя ламината) с нанесенным дополнительным износостойким противоскользящим покрытием производится по ГОСТ 10060.

Для определения прочности несущих конструкций из полимерных композитов проводят испытания полноразмерных фрагментов конструкций на трехточечный изгиб и на местное сжатие (смятие) на опорах в соответствии с ГОСТ 8829.

Для определения вертикальных упругих прогибов несущих конструкций из полимерных композитов проводят статические испытания нагружением полноразмерных фрагментов конструкций в соответствии с ГОСТ 8829.

12. Перечень нормативных документов

- СП 35.13330.2011 Мосты и трубы. Актуализированная редакция СНиП 2.05.03-84*;
- СНиП 2.01.07-85* Нагрузки и воздействия (с изменениями от 01.07.2003г);
- СНиП 2.08.02-89* Общественные здания и сооружения ;
- СНиП 2.01.01-82 Строительная климатология и геофизика ;
- Постановление правительства Российской Федерации №1636 от 27 декабря 1997г.

Правила подтверждения пригодности новых материалов, изделий, конструкций и технологий для применения в строительстве ;

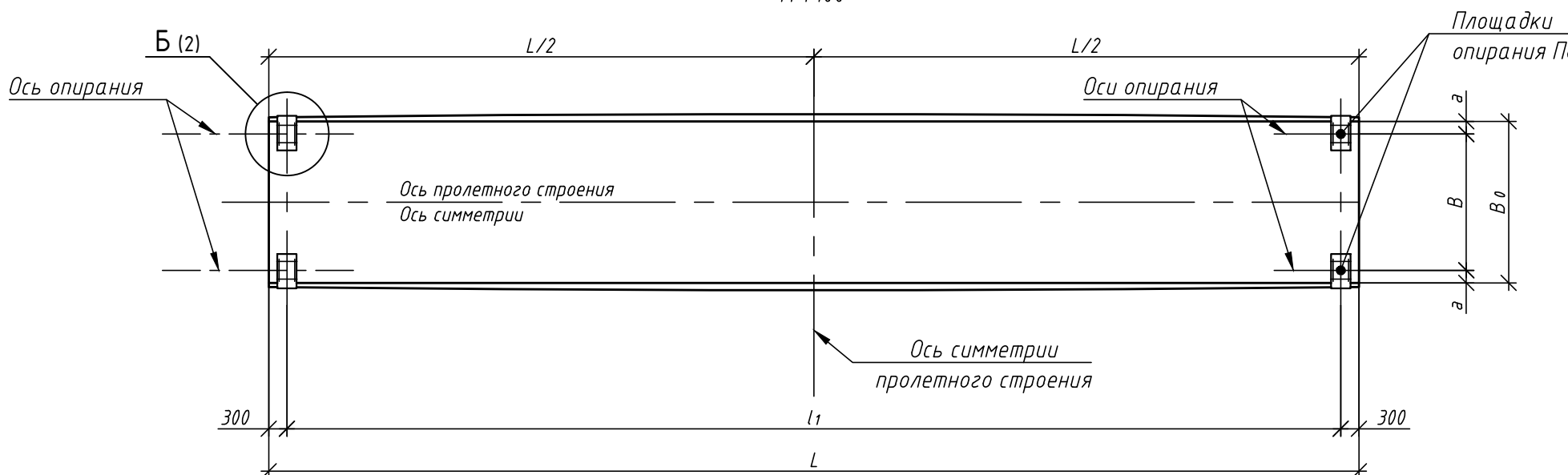
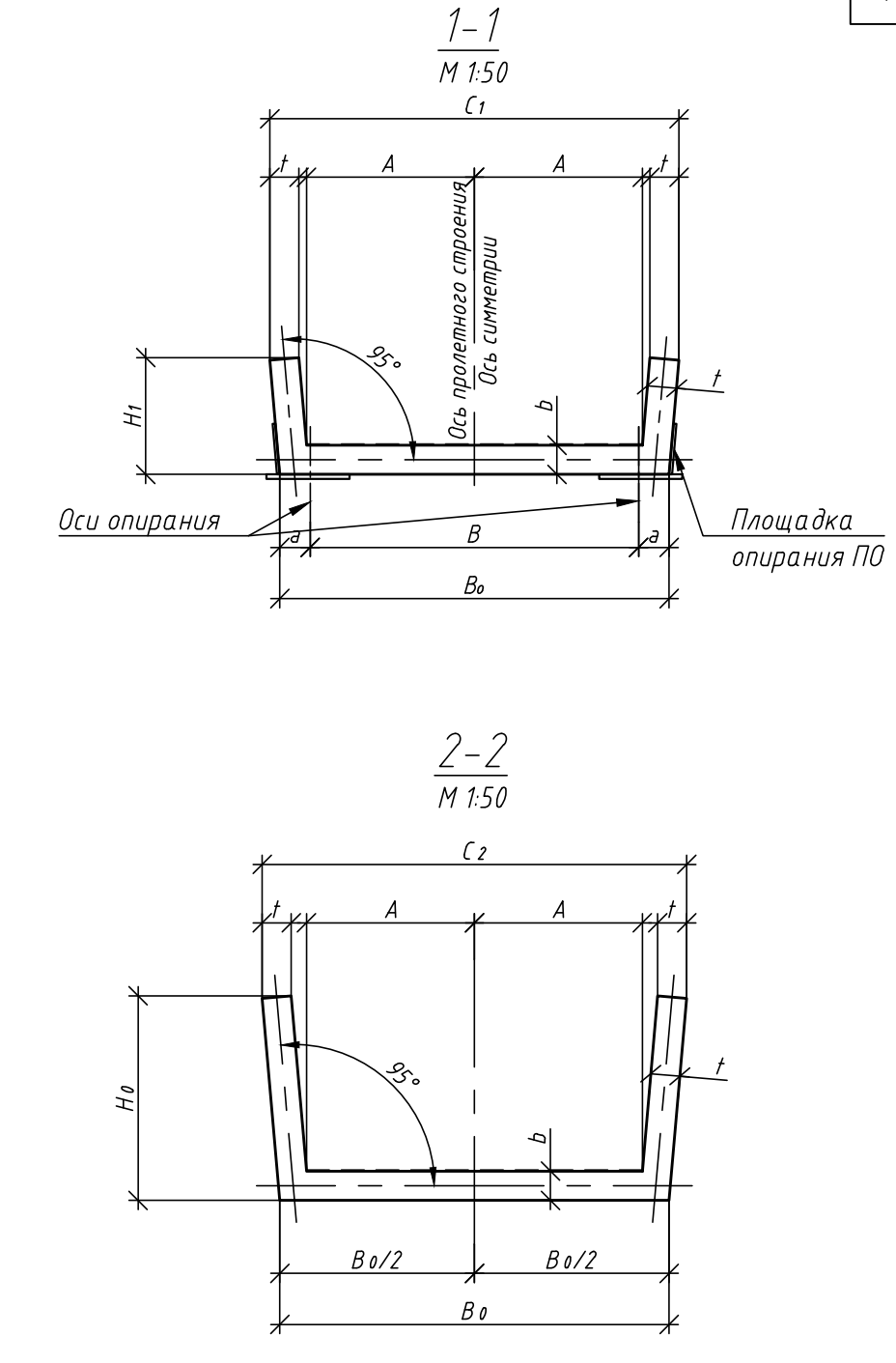
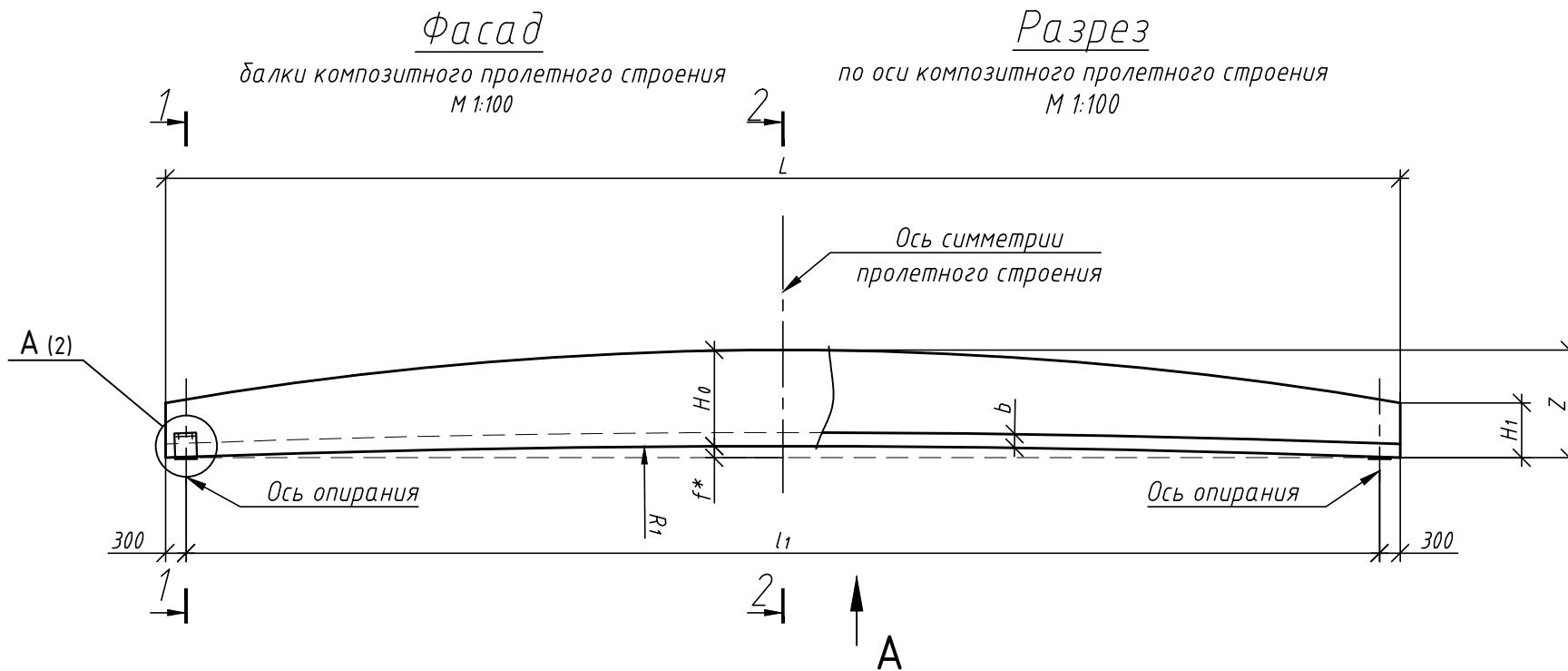
- Техническое свидетельство о пригодности новой продукции для применения в строительстве на территории Российской Федерации. Министерство регионального развития Российской Федерации, № 3752-13;

Кроме того, при разработке документации учтены опыт проектирования и строительства цельномонолитных пролетных строений из композитных материалов.

- СТО 00204961-004-2012 Пешеходные мосты и путепроводы из полимерных композитов ;
 - Свидетельство о допуске к определенному виду или видам работ, которые оказывают влияние на безопасность объектов капитального строительства,

№ 080.09-2009-7727637980-П-027.

Изм.	Кол.уч.	Лист	№ док.	Подп.	Дата	Лист
						4



Спецификация деталей на одно пролетное строение

Инв. № подл.	Подпись и дата	Взам. инв. №	Обозначение	Наименование	Кол.	Масса ед., кг	Примечание
				<u>Детали</u>			
				Композитная балка пролетного строения	1		массу см. в табл.4
47/401-ПО				Площадка опорная ПО	4	63.900	
				<u>Стандартные изделия</u>			
ГОСТ 7798-70				Болт М24-6gх80.109	16	0.758	
ГОСТ 11371-78				Шайба 2.24.01.059	16	0.030	
ГОСТ 6402-70*				Шайба 24 65г 016	16	0.027	

Примечания:

- Характерные значения размеров пролетных строений представлены в таблице 5;
- Таблицу 5 см на листе 3;
- Узел А см. на листе 2;
- Размер со "*" без учета прогиба от собственного веса;
- Таблица 4 на листе 2;
- Спецификация составлена на одно композитное пролетное строение;
- Потребное количество метизов на одно пролетное строение - 14.24 кг;
- Все размеры даны в мм.

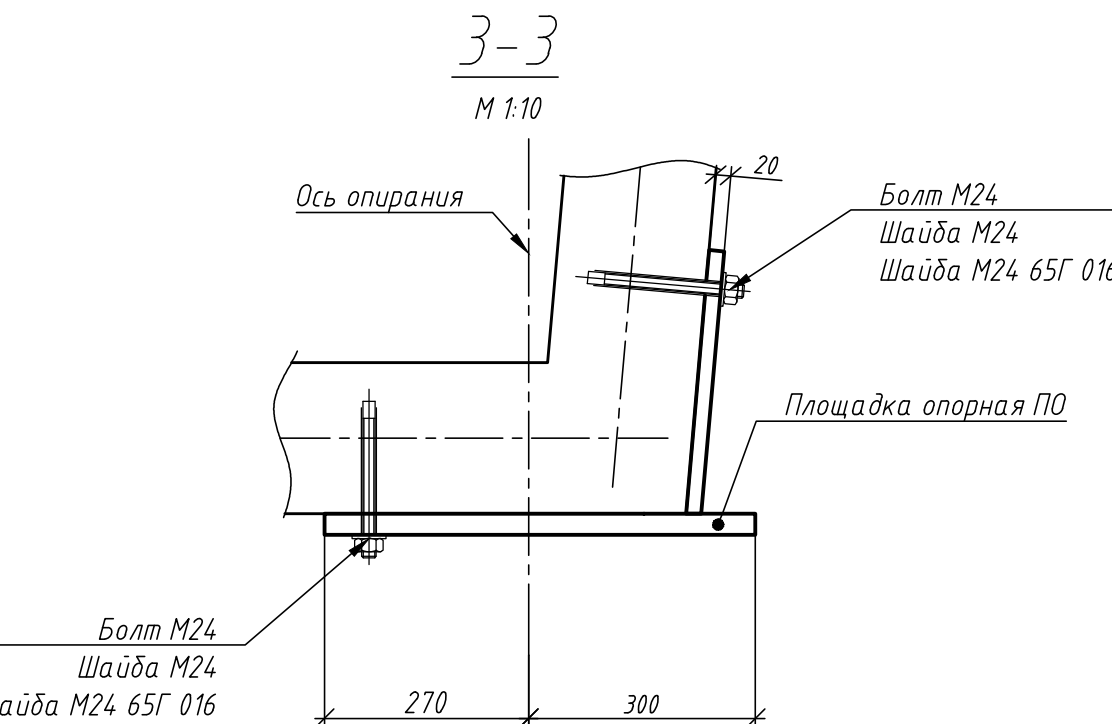
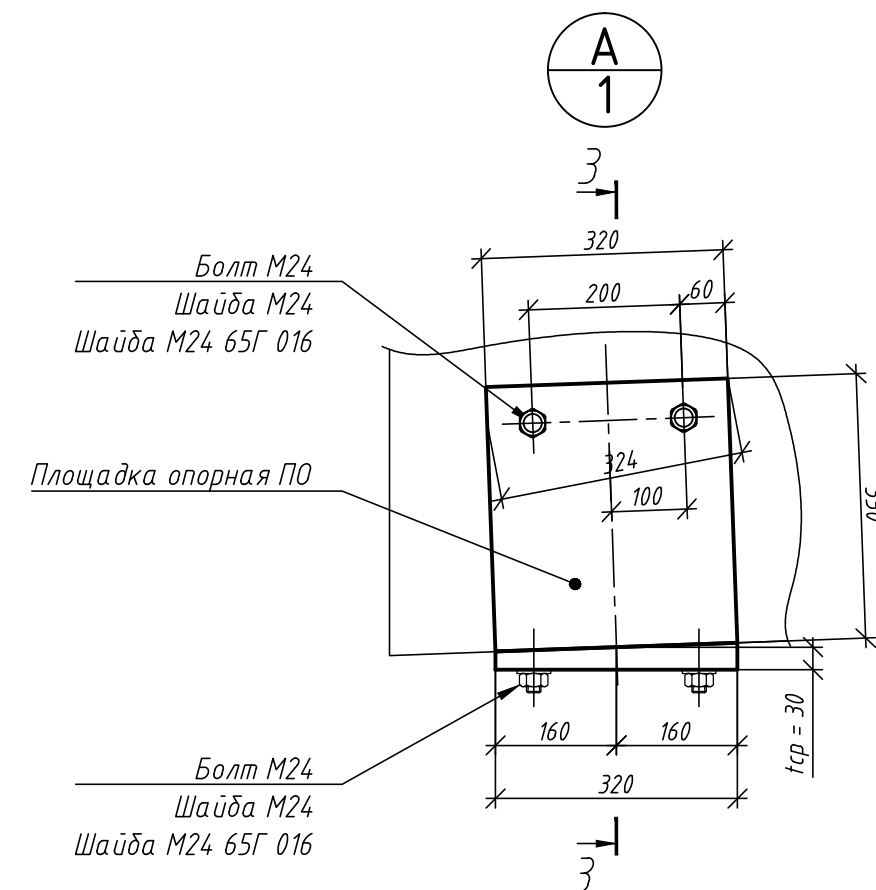
Изм.	Кол. уч.	Лист	№ док.	Подп.	Дата	Стадия	Лист	Листов
Разработал	Грачев				04.15			
Проверил	Шиковский				04.15			
Н. контр.	Никитин				04.15			
ГИП	Шелегин				04.15			
Утв.	Крашенинин				04.15			

47/401-ПС

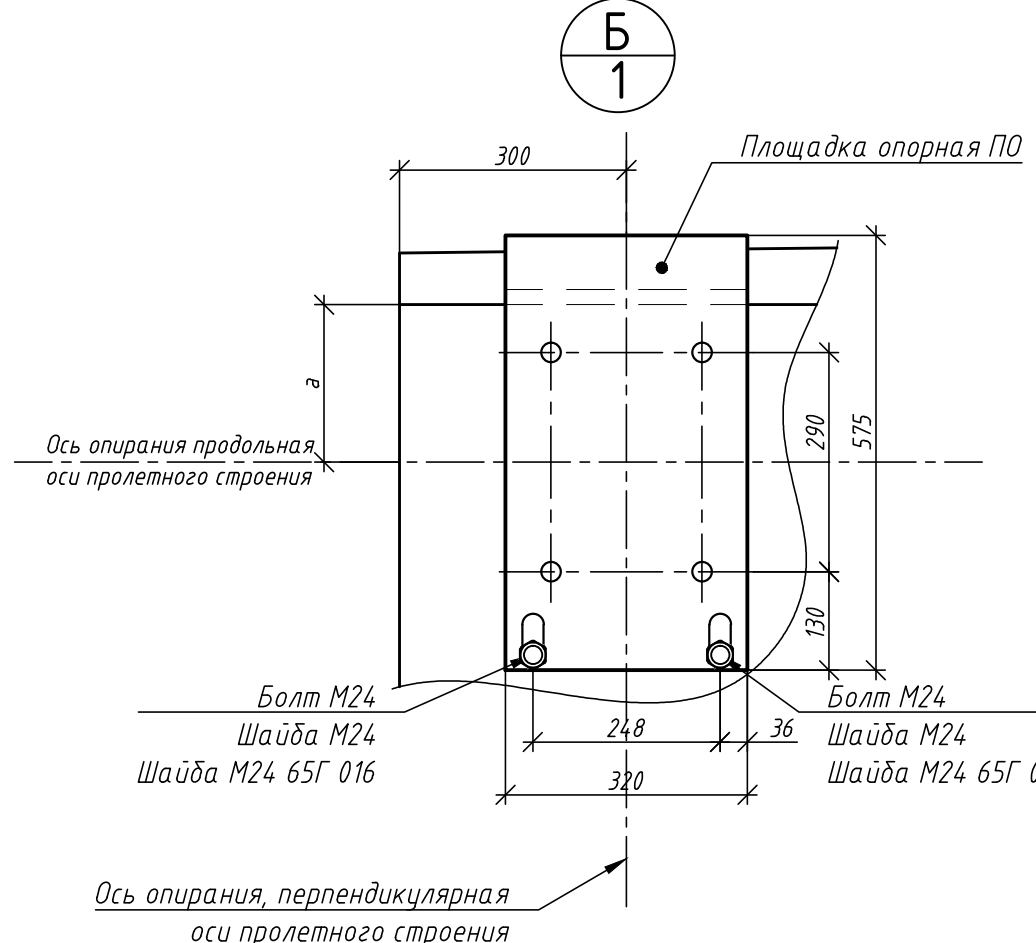
Балка пролетного строения длиной 12,0 м (15,0 м, 18,0 м, 20,0 м, 21,0 м, 22,0 м...30,0 м) шириной 2,25 м и 3,0 м

Таблица 4 – Вес
композитной балки ПС

Марка балки	Вес балки, т
КП1200x225-20x20	8.8
КП1200x300-20x20	12.8
КП1500x225-20x20	10.0
КП1500x300-20x20	14.0
КП1800x225-20x20	12.4
КП1800x300-20x20	16.4
КП2000x225-20x20	12.9
КП2000x300-20x20	16.9
КП2100x225-20x20	13.4
КП2100x300-20x20	17.4
КП2200x225-21x22	14.4
КП2200x300-21x22	18.4
КП2300x225-21x22	15.4
КП2300x300-21x22	19.4
КП2400x225-21x22	16.4
КП2400x300-21x22	20.4
КП2500x225-21x22	17.0
КП2500x300-21x22	21.4
КП2600x225-21x22	18.4
КП2600x300-21x22	22.4
КП2700x225-21x22	19.4
КП2700x300-21x22	23.4



Б
1



Согласовано

Взам. и нбр. №

Подпись и дата

Инв. № подл.

Изм.	Кол.уч.	Лист	№ док.	Подп.	Дата	Лист
						47/401-ПС

Таблица 5 – Характерные значения размеров пролетного строения

Марка балки пролетного строения	Длин пролета, L, мм	Ширина, B, мм	B ₀ , мм	H ₀ , мм	H ₁ , мм	A, мм	Z, мм	R ₁ , мм	R ₂ , мм	C ₁ , мм	C ₂ , мм	a, мм	b, мм	t, мм	f*, мм	l ₀ , мм
KП1200x225-20x20	12000	2250	2667	1300	600	1150	1375	240000	23613	2803	2908	208	200	200	75	11400
KП1200x300-20x20		3000	3416			1525				3600	3704					
KП1500x225-20x20	15000	2250	2667	1400	800	1150	1517	240000	39573	2803	2908	208	200	200	117	14400
KП1500x300-20x20		3000	3416			1525				3600	3704					
KП1800x225-20x20	18000	2250	2667	1400	800	1150	1569	240000	53063	2803	2908	208	200	200	169	17400
KП1800x300-20x20		3000	3416			1525				3600	3704					
KП2000x225-20x20	20000	2250	2667	1500	800	1150	1708	240000	55495	2803	2908	208	200	200	208	19400
KП2000x300-20x20		3000	3416			1525				3600	3704					
KП2100x225-20x20	21000	2250	2667	1500	800	1150	1730	240000	66847	2803	2908	208	200	200	230	20400
KП2100x300-20x20		3000	3416			1525				3600	3704					
KП2200x225-21x22	22000	2250	2667	1500	800	1150	1752	240000	64012	2803	2908	208	200	200	252	21400
KП2200x300-21x22		3000	3416			1525				3600	3704					
KП2300x225-21x22	23000	2250	2667	1500	800	1150	1776	240000	68261	2803	2908	208	200	200	276	22400
KП2300x300-21x22		3000	3416			1525				3600	3704					
KП2400x225-21x22	24000	2250	2667	1500	800	1150	1800	240000	80433	2803	2908	213	220	210	300	23400
KП2400x300-21x22		3000	3416			1525				3600	3704					
KП2500x225-21x22	25000	2250	2667	1600	1000	1150	1926	240000	84855	2803	2908	213	220	210	326	24400
KП2500x300-21x22		3000	3416			1525				3600	3704					
KП2600x225-21x22	26000	2250	2677	1600	1000	1150	1952	240000	89205	2803	2908	213	220	210	352	25400
KП2600x300-21x22		3000	3426			1525				3600	3704					
KП2700x225-21x22	27000	2250	2677	1600	1000	1150	1980	240000	93476	2803	2908	213	220	210	380	26400
KП2700x300-21x22		3000	3426			1525				3600	3704					

* - размер без учета прогиба от собственной массы

Согласовано

Подпись и дата

Инв. № подл.

Взам. инв. №

Изм.	Кол.уч.	Лист	№ док.	Подп.	Дата	Лист
						3

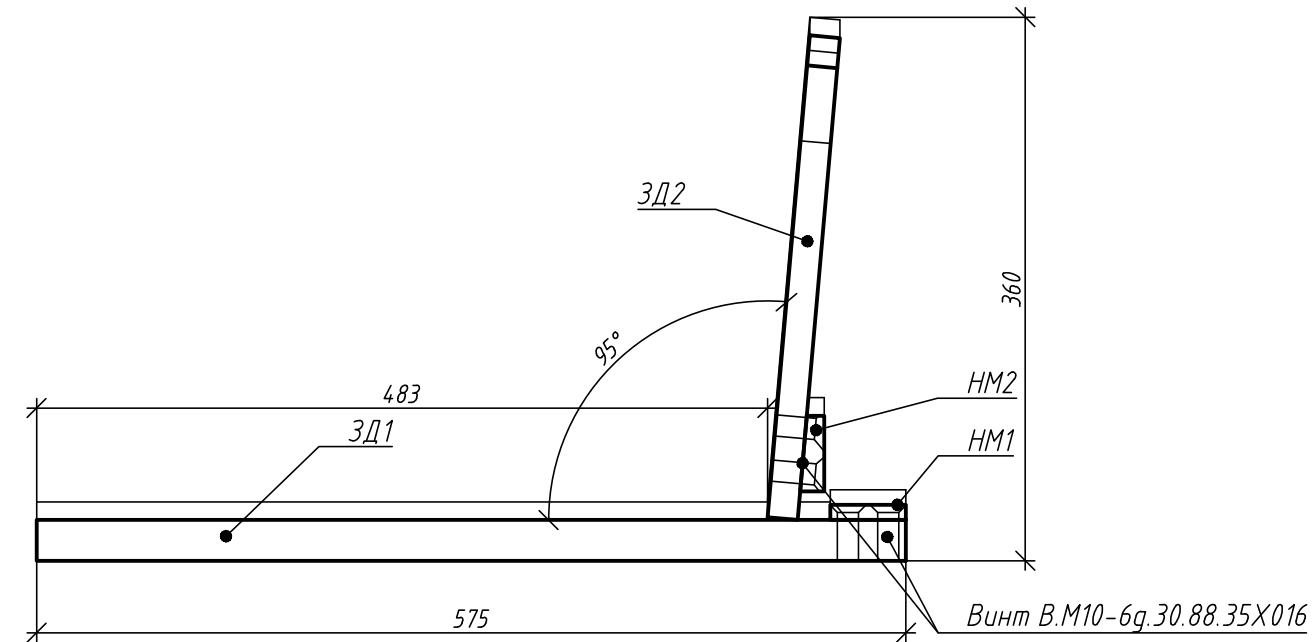
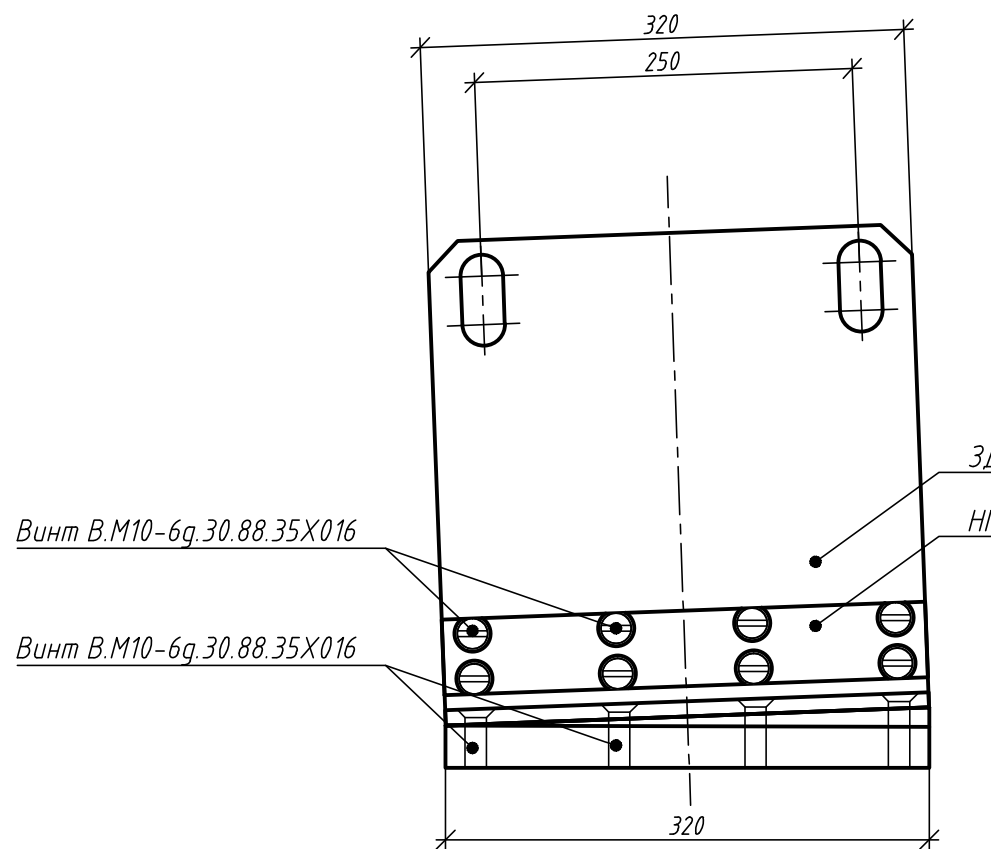
Таблица 6 – Расчетные усилия от постоянных нагрузок на одну опорную часть

Марка балки пролетного строения	Наименование нагрузки					
	Вес балки, кН	Пешеходная, кН	*Вес остекления и перил, кН	Ветровая, кН	Снеговая, кН	Вес покрытия, кН
КП1200x225-20x20	22.00	37.80	13.50	44.00	59.64	1.20
КП1200x300-20x20	32.00	50.40	13.50	32.10	72.24	1.60
КП1500x225-20x20	22.00	47.30	16.90	55.00	74.55	1.50
КП1500x300-20x20	35.00	63.00	16.90	40.10	90.30	2.00
КП1800x225-20x20	27.00	56.70	20.30	66.00	89.46	1.80
КП1800x300-20x20	37.00	75.60	20.30	48.10	108.36	2.40
КП2000x225-20x20	31.00	63.00	22.60	73.30	99.40	2.00
КП2000x300-20x20	41.00	84.00	22.60	53.50	120.40	2.70
КП2100x225-20x20	33.50	66.20	23.70	77.00	104.37	2.10
КП2100x300-20x20	43.50	88.20	23.70	56.10	126.42	2.80
КП2200x225-21x22	36.00	69.30	24.80	80.70	109.34	2.20
КП2200x300-21x22	46.00	92.40	24.80	58.80	132.44	3.00
КП2300x225-21x22	38.50	72.50	25.90	84.30	114.31	2.30
КП2300x300-21x22	48.50	96.60	25.90	61.50	138.46	3.10
КП2400x225-21x22	41.00	75.60	27.10	88.00	119.28	2.40
КП2400x300-21x22	51.00	100.80	27.10	64.20	144.48	3.20
КП2500x225-21x22	43.50	78.80	28.20	91.70	124.25	2.50
КП2500x300-21x22	53.50	105.00	28.20	66.80	150.50	3.40
КП2600x225-21x22	46.00	81.90	29.30	95.30	129.22	2.60
КП2600x300-21x22	56.00	109.20	29.30	69.50	156.52	3.50
КП2700x225-21x22	48.50	85.10	30.40	99.00	134.19	2.70
КП2700x300-21x22	58.50	113.40	30.40	72.20	162.54	3.60

Примечания:

- Расчетные усилия от постоянных нагрузок на одну опорную часть представлены в таблице 6;
- * – Вес остекления и перильного ограждения пролетного строения взяты из опыта проектирования подобных конструкций.
- Нагрузки от веса остекления и перильного ограждения могут быть увеличены в процессе индивидуального проектирования данных конструкций, при этом необходимо внести соответствующие корректизы в расчеты для уточнения опорных реакций;
- Расчеты выполнены для VI снегового района и VII ветрового района строительства, согласно СНиП 23-01-99 Строительная климатология – в целях унификации конструкций.

Изм.	Кол. уч.	Лист	№ док.	Подп.	Дата	47/401-РП		
Разработал	Гребенюк				04.15	Комплекс расчетных параметров		
Проверил	Шиковский				04.15			
Н. контр.	Никитин				04.15			
ГИП	Шелегин				04.15			
Утв.	Крашенинин				04.15			
								1



Согласовано

Спецификация на площадку опирания на одно пролетное строение

Инв. № подл.	Подпись и дата	Взам. инв. №	Обозначение	Наименование	Кол.	Масса ед., кг	Примечание
<u>Детали</u>							
			47/401-ЗД1	Закладная деталь ЗД1	4	45.5	
			47/401-ЗД2	Закладная деталь ЗД2	4	15.6	
			47/401-НМ1	Накладка металлическая НМ1	4	1.2	
			47/401-НМ2	Накладка металлическая НМ2	4	1.6	
<u>Стандартные изделия</u>							
			ГОСТ 17475-80	Винт В.М10-6г.30.88.35Х016	16	0.02	

Примечания:

- Спецификация составлена на одну площадку опирания ПО;
- Потребное количество площадок опирания на одно пролетное строение - 4 шт;
- Масса одной опорной площадки - 63,9 кг;
- Потребное количество метизов на одну площадку опирания пролетного строения ПО - 3,56 кг;
- Размеры 8 мм;
- Сварной шов Т7 по ГОСТ 5264-80.

Изм.	Кол. уч.	Лист	№ док.	Подп.	Дата	Стадия	Лист	Листов
Разработал	Грачев				04.15			
Проверил	Шиковский				04.15			
Н. контр.	Никитин				04.15			
ГИП	Шелегин				04.15			
Утв.	Крашенинин				04.15			

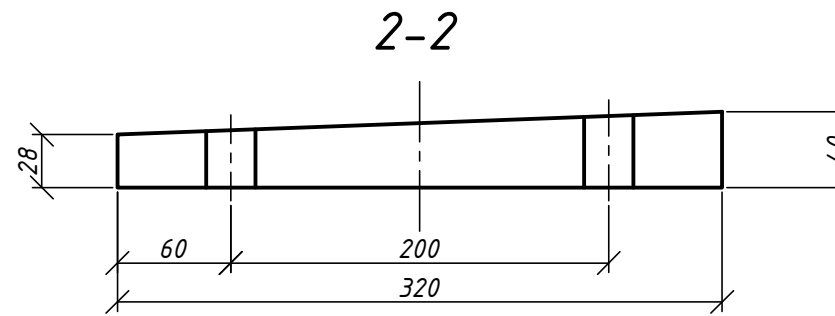
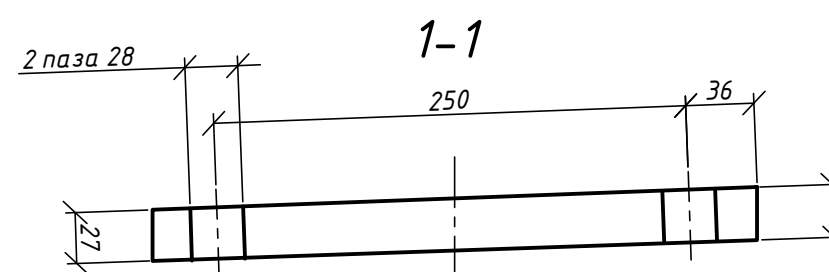
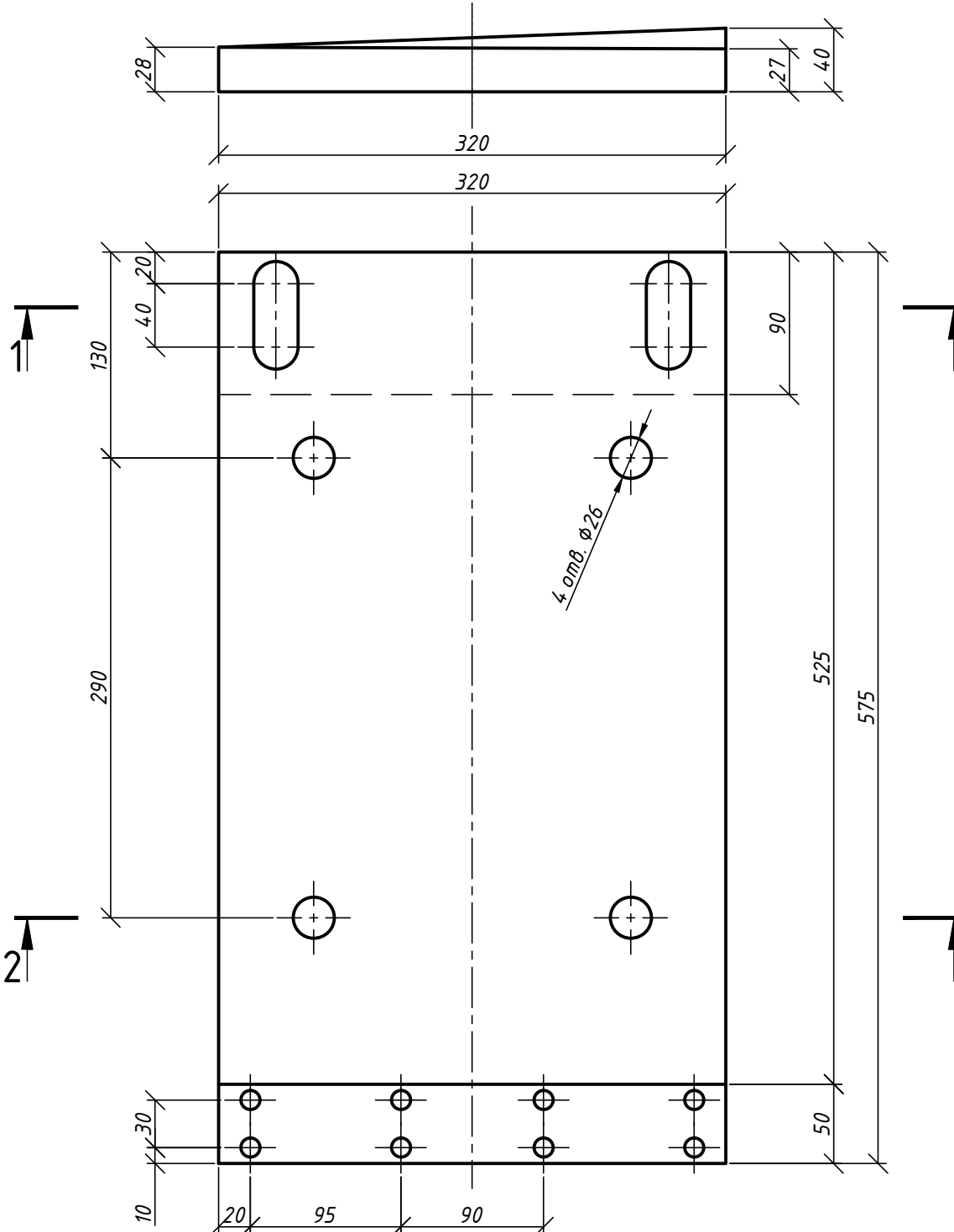
47/401-ПО

Площадка опорная ПО

Спецификация на закладную деталь ЗД1

Наименование	Кол.	Масса ед., кг	Приме- чание
Детали			
Лист 535x375x40 ГОСТ 19903-74	1	45.5	

Согласовано		
Инв. № подл.	Подпись и дата	Взам. инв. №



Примечания:

- Спецификация составлена на одну закладную деталь ЗД1;
- Потребное количество закладных деталей ЗД1 на одно пролетное строение – 4 шт;
- Масса закладной детали – 45,5 кг;
- Марка стали: в обычном исполнении применяется сталь СтЗсп по ГОСТ 380-2005, в зимнем исполнении применяется сталь 16Д по ГОСТ 6713-91;
- Размеры в мм.

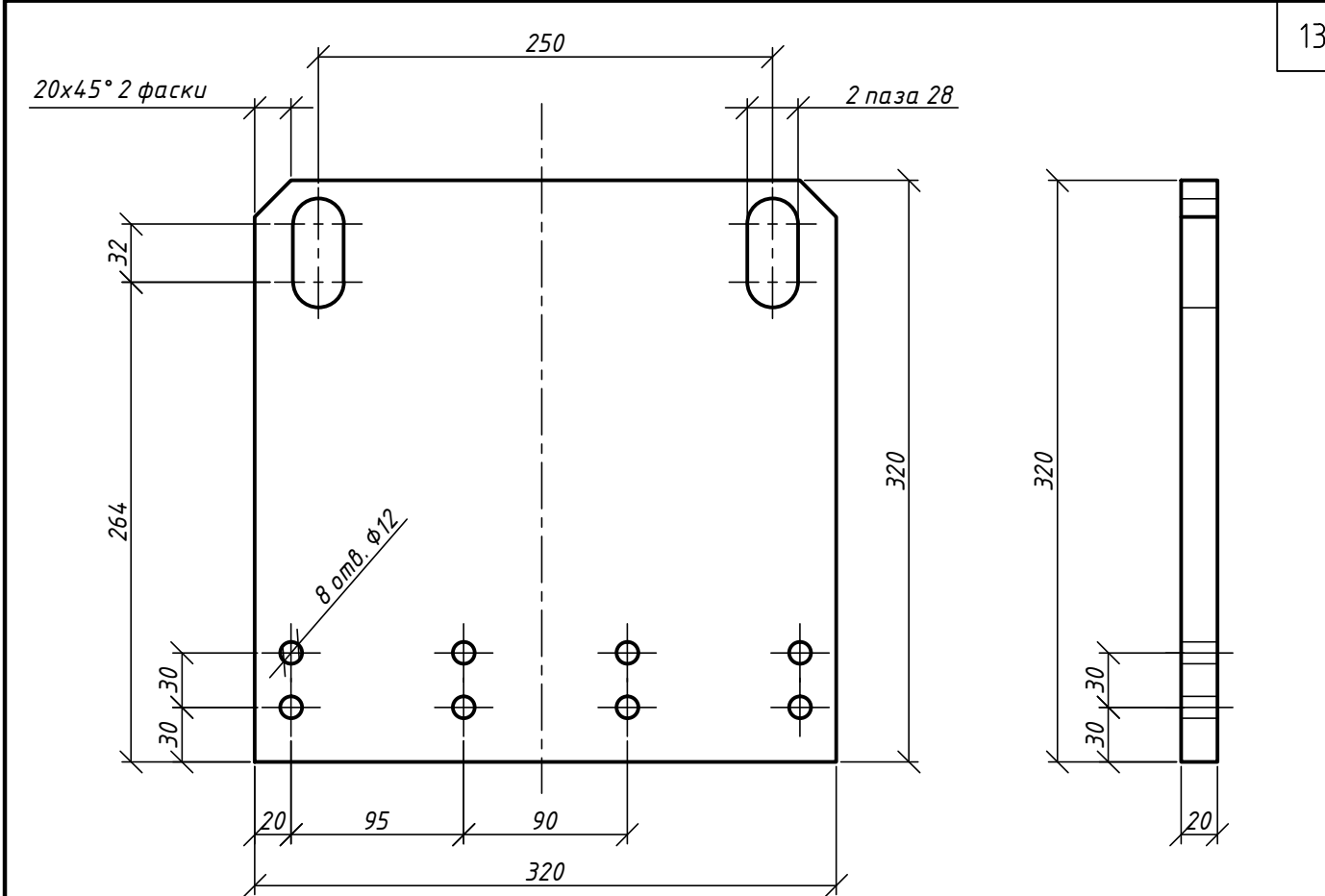
Изм.	Кол. уч.	Лист	№ док.	Подп.	Дата
Разработал	Гребенюк			<i>Гребенюк</i>	04.15
Проверил	Шиковский				04.15
Н. контр.	Никитин				04.15
ГИП	Шелегин				04.15
Утв.	Крашенинин				04.15

47/401-ЗД1

Стадия Лист Листов

1

Закладная деталь ЗД1



Спецификация на закладную деталь ЗД2

Наименование	Кол.	Масса ед., кг	Приме- чание
<u>Детали</u>			
Лист 320x320x20 ГОСТ 19903-74	1	15,6	

Примечания:

- Спецификация составлена на одну закладную деталь ЗД2;
- Потребное количество закладных деталей ЗД2 на одно пролетное строение – 4 шт;
- Масса закладной детали – 15,6 кг;
- Размеры в мм.

47/401-ЗД2

Закладная деталь ЗД2

Марка элемента	Изделия закладные					Всего на ПС	
	Листовой прокат марки	Метизы					
	Ст3сп (16Д)	Болт M24-6gх80.109	Винт В.М10- 6г.30.88.35Х016	Шайба 2.24.01.059	Шайба 24 65г 016		
ГОСТ 380-2005 (ГОСТ 6713-91)	ГОСТ 7798-70	ГОСТ 17475-80	ГОСТ 11371-78	ГОСТ 6402-70*			
ЗД1	45.5	1.52		0.06	0.05	47.12 188.48	
ЗД2	15.6	1.52		0.06	0.05	17.22 68.88	
НМ1	1.2			0.15		1.35 5.40	
НМ2	1.6			0.15		1.75 7.00	

Примечания:

- Ведомость составлена на одно пролетное строение;
- Массу балки пролетного строения см. в таблице 4 на листе 2 чертежа 47/401-ПС .

47/401-ВР

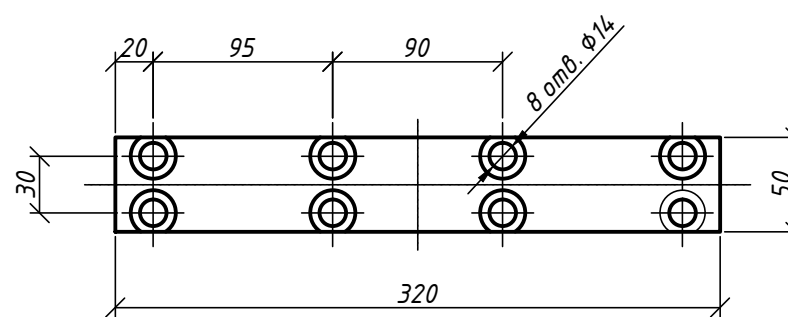
Сводная ведомость расхода
материалов на пролетные
строения

Инв. № подл.	Подпись и дата	Взам. инв. №	Изм.	Кол. уч.	Лист	№ док.	Подп.	Дата
Разработал	Гребенюк							
Проверил	Шиковский							
Н. контр.	Никитин							
ГИП	Шелегин							
Утв.	Крашенинин							

Формат А4

Инв. № подл.	Подпись и дата	Взам. инв. №	Изм.	Кол. уч.	Лист	№ док.	Подп.	Дата
Разработал	Гребенюк							
Проверил	Шиковский							
Н. контр.	Никитин							
ГИП	Шелегин							
Утв.	Крашенинин							

Формат А4



Спецификация на накладку НМ1

Наименование	Кол.	Масса ед., кг	Приме- чание
<u>Детали</u>			
Лист 320x320x10 ГОСТ 19903-74	1	1.2	

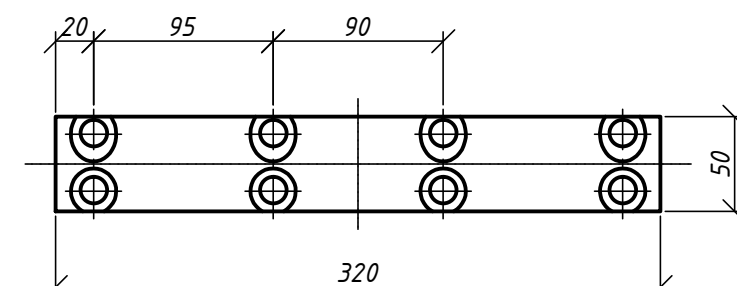
Примечания:

- Спецификация составлена на одну накладку НМ1;
- Потребное количество накладок НМ1 на одно пролетное строение - 4 шт;
- Масса накладки - 1,2 кг;
- Размеры 8 мм.

47/401-НМ1

Подпись и дата	Взам. инф. №

Согласовано



Спецификация на накладку НМ2

Наименование	Кол.	Масса ед., кг	Приме- чание
<u>Детали</u>			
Лист 320x50x16 ГОСТ 19903-74	1	1.6	

Примечания:

- Спецификация составлена на одну накладку НМ2;
- Потребное количество накладок НМ2 на одно пролетное строение - 4 шт;
- Масса накладки - 1,6 кг;
- Размеры 8 мм.

47/401-НМ2

Инф. № подл.	Подпись и дата	Взам. инф. №

Согласовано

Приложение Б

Пояснительная записка к первой редакции проекта альбома типовых решений надземных пешеходных переходов с применением цельномонолитных пролетных строений из полимерных композитов

1 Общие указания

Основание разработки темы – План научно-исследовательских и опытно-конструкторских работ Федерального дорожного агентства на 2014-2016 год, утвержденный распоряжением Федерального дорожного агентства от 17 июня 2014 года №1157-р с изменениями, внесенными распоряжением Федерального дорожного агентства от 08 сентября 2014 года №1703-р.

Объектом исследования является разработка первой редакции проекта альбома типовых решений надземных пешеходных переходов с применением цельномонолитных пролетных строений из полимерных композитов.

В первой редакции проекта альбома типовых решений надземных пешеходных переходов с применением цельномонолитных пролетных строений из полимерных композитов представлено:

- пояснительная записка, включающая область применения, требования к материалам, особенности конструкции, методику расчета, маркировку, требования к изготовлению, транспортировке и хранению цельномонолитных пролетных строений из композитных материалов, а также методы их контроля и испытаний;
- чертежи пролетных строений;
- общая ведомость расхода материалов на цельномонолитное пролетное строение из полимерных композитов;
- данные с расчетными характеристиками цельномонолитных пролетных строений из композитных материалов для надземных пешеходных переходов, представленные в табличной форме.

2 Основные расчетные предпосылки

Расчет конструкции цельномонолитных пролетных строений из полимерных композитов для надземных пешеходных переходов выполнен методом конечных элементов с использованием программного комплекса MSC.Nastran. Создание расчетной конечно-элементной модели, а также анализ результатов расчета выполнялся с помощью программного комплекса MSC.Patran.

При расчете использовалась действующая нормативная документация.

- СП 35.13330.2011 «Мосты и трубы. Актуализированная редакция СНиП 2.05.03-84*»;
- СП 131.13330.2012 «Строительная климатология. Актуализированная редакция СНиП 23-01-99*»;
- ГОСТ Р 54928-2012 «Пешеходные мосты и путепроводы из полимерных композитов. Технические условия»;
- ГОСТ Р 54257-2010 «Надежность строительных конструкций»;
- СТО 00204961-004-2011 «Пешеходные мосты и путепроводы из полимерных композитов».

Были учтены основные физико-механические характеристики стеклокомпозитов. Нагрузки применялись, с учетом соответствующих коэффициентов надежности, принятыми по СП 35.13330.2011 для элементов конструкции из композиционных материалов. Отметим также, что при расчетах были приняты во внимание поправочные коэффициенты, учитывающие ухудшение свойств материала в процессе эксплуатации.

Цельномонолитное пролетное строение из полимерных композитов для надземных пешеходных переходов имеет опирание в четырех точках.

Сила тяжести моделировалась как инерционная нагрузка, учитывающая полную массу пролета.

С целью унификации конструкций цельномонолитных пролетных строений из полимерных композитов и расширению области применения данного альбома типовых решений для строительства и проектирования

надземных пешеходных переходов на территории РФ (с учетом рабочего температурного режима самих конструкций в пределах от плюс 60°С до минус 60°С) было принято решение производить расчеты для VI снегового района и VII ветрового района строительства, согласно СП 131.13330.2012 «Строительная климатология. Актуализированная редакция СНиП 23-01-99*».

В расчетную модель для расчета элементов конструкции пролетного строения для надземного пешеходного перехода не включены модели конструкции остекления и перил. Нагрузки от остекления (с учетом снеговой нагрузки) и перил заданы в виде вертикальных сил к узлам арок. Значения данных нагрузок с целью унификации конструкций приняты из опыта проектирования и эксплуатации уже существующих подобных надземных пешеходных переходов. При значительном увеличении данных нагрузок в процессе индивидуального проектирования надземных пешеходных переходов с цельномонолитным пролетным строением необходимо внести корректизы в расчеты для уточнения опорных реакций.

Для расчета усилий в точках крепления конструкции пролетного строения от ветровых нагрузок была создана динамическая модель, учитывающая пульсацию ветровых нагрузок в диапазоне от 0 до 10 Гц.

Границы значений ветрового давления выбиралась из наихудшей комбинации направления ветров - предполагалось, что противоположные по направлениям порывы ветра поочередно воздействуют на конструкцию.

По результатам первого и второго этапов данной научно-исследовательской работы для дальнейшей разработки были выбраны следующие длины пролетных строений: 12.0 м, 15.0 м, 18.0 м, 20.0 м, 21.0 м, 22.0 м ... 30.0 м. На третьем этапе, в процессе работы непосредственно с производителями данных конструкций, было выяснено, что, в силу конструктивных особенностей и особенностей данного типа балок, изготовление длин 28.0 м, 29.0 м и 30.0 м – невозможно.

3 Заключение

Проведенные расчеты по предельным состояниям показывают, что конструкции цельномонолитных пролетных строений из полимерных композитов имеют запасы прочности и жесткости и могут быть применены при строительстве и проектировании надземных пешеходных переходов на территории РФ.

В настоящее время разработчиком продолжается сбор и анализ предложений и замечаний от рецензентов и заинтересованных организаций.

Разработчиком альбома типовых решений пролетных строений из полимерных композитов для надземных пешеходных переходов – Общество с ограниченной ответственностью «Руссингтэк».

117418, г. Москва, ул. Профсоюзная, 23, ООО «Руссингтэк», (495) 419-01-64, info@russintek.ru

Генеральный директор

ООО «Руссингтэк»

Ю.В. Данилов

Зам. генерального директора

по технической политике

Е.Ю. Крашенинин

Приложение В

Расчет строительных конструкций по теме «Разработка математической модели методом конечных элементов пролетного строения пешеходного моста длиной 18.0 м шириной проходной части 2.25м с использованием различных элементов из ПКМ»

Проект

*по теме “Разработка математической модели методом конечных
элементов пролетного строения пешеходного моста
длиной 18м шириной проходной части 2.25м
с использованием различных элементов из ПКМ”*

РАЗДЕЛ: РАСЧЁТЫ СТРОИТЕЛЬНЫХ КОНСТРУКЦИЙ

НТЦ 0.00.00.000

Инв. № подл.	Подп. и дата	Инв. № дубл.	Взам. инв. №	Подп. и дата

Оглавление

1. Введение	3
1.1. Описание конструкции.....	3
1.2. Нормативная база.....	7
1.3. Свойства материалов.....	7
2. Методика определение нормативных и расчетных величин нагрузок и сопротивлений материалов	10
2.1 Коэффициенты надёжности для элементов конструкции из композиционных материалов	10
2.2 Нагрузки и расчетные случаи	12
2.3 Расчётные значения свойств материалов	14
3. Описание расчётной модели и методики расчёта	20
4. Результаты расчётов.....	24
4.1. Прочность.....	24
4.1.1. Прочность при действии всех расчётных нагрузок	24
4.1.2. Прочность при действии нагрузки от остекления и снега	39
4.1.3. Прочность при действии пешеходной нагрузки	41
4.1.4. Прочность при действии сосредоточенной нагрузки	43
4.2. Устойчивость	43
4.3. Выносливость.....	45
4.4. Прогиб	46
4.4.1. Прогиб от собственного веса.....	46
4.4.2. Прогиб от суммарных нагрузок.....	47
4.4.3. Прогиб от подвижной (пешеходной) нагрузки.....	48
4.5. Собственные частоты колебаний.....	49
4.5.1. Собственные частоты колебаний с учётом понижения физико-механических свойств материала в процессе эксплуатации..	49
4.5.2. Собственные частоты колебаний с учётом снижения физико-механических свойств материала без нагрузки.....	50
4.5.3. Собственные частоты колебаний при номинальных значениях физико-механических свойств	51
4.6. Расчёт усилий в точках крепления от ветровых нагрузок.....	52
5. Сводные таблица запасов по предельным состояниям	56
6. Заключение	59

Инв. № подп	Подп. и дата	Инв. № дубл.	Взам. инв. №	Подп. и дата

НТЦ 0000.00.00.000

Ли	Изм.	№ докум.	Подп.	Дата	Лит	Лист	Листов
Разраб.	Неутов И.Д.						
Пров.	Ильиных К.Л.						
Т. контр.							
Н. контр.							
Утв.	Полиновский В.П.						

Расчёт пролётного строения
композиционного моста

1. Введение

В данном документе приведены расчёты по предельным состояниям пролетных строений для пешеходного путепровода из композитных материалов (стеклопластик), клееной древесины (LVL-брус), заполнителя из пенополиуритана (ППУ) в качестве вспомогательного элемента.

Конструкция пешеходного путепровода включает в себя два пролетных строения.

1.1. Описание конструкции

Конструкция пролетного строения показана на рисунке 1.1, состоит из следующих элементов:

нижняя плита (имеет продольный изгиб с радиусом кривизны 240 м);
продольные борта переменной высоты (имеют развал 5°+5°).

Плита, борта, арки и стойки выполнены по технологии трехслойной ("сэндвич") конструкции с несущими слоями из многослойного стеклопластика и пенополиуретановым заполнителем.

Плита, борта и стойки усилены поперечными ребрами жесткости с переменным шагом от 100 до 200 мм

Плита и борта усилены LVL-брюсом с торцов конструкции шириной по 600 мм.

Арки усилены продольными ребрами жесткости.

Габаритные размеры конструкции:

длина -18,0 м;

ширина проходной части - 2,25 м;

высота - сечения в центре 1,4 м;

радиус изгиба плиты по нижней поверхности 240 м.

Конструкция балки по конечно-элементной модели (далее КЭМ) представлена на рисунках 1.1.-1.2.

Конструктивные элементы пролётного строения выполнены:

- из конструкционного стеклополимера СКК2, СКК4, СКК6, TX-Combiflow-300-TX изготавливаемого в соответствии с техническими условиями СТО 002.04.961-009- 2011;
- LVL-брюса тип 2, изготавливаемого в соответствии с техническими условиями ТУ 5366-052-6915009120-2008, ТУ 5512-053-6915009120-2008.

Инв. № подп	Подп. и дата	Инв. № дубл.	Взам. инв. №	Подп. и дата

Ли	Изм.	№ докум.	Подп.	Дат

НТЦ 0000.000.00.000

Лист

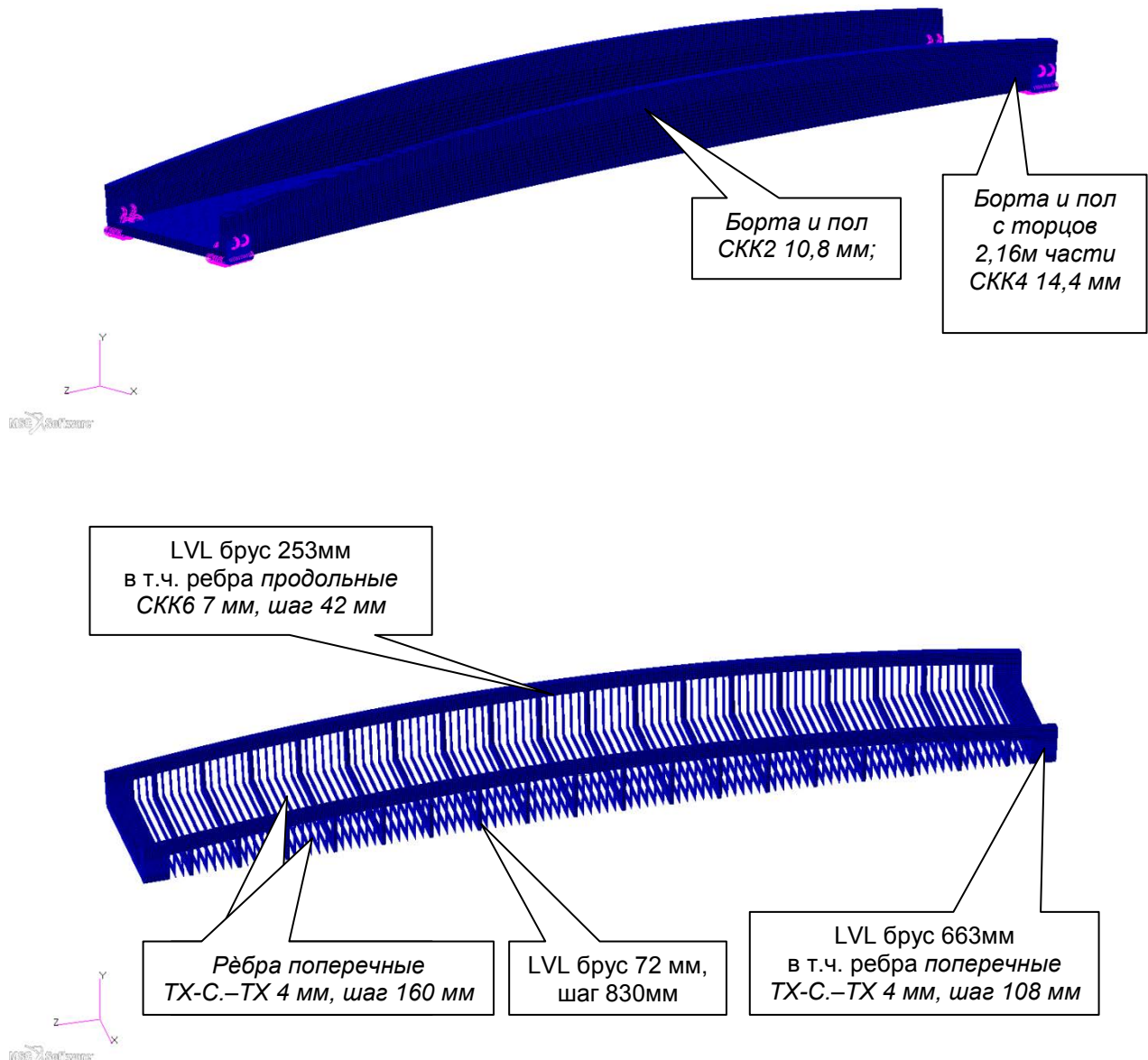


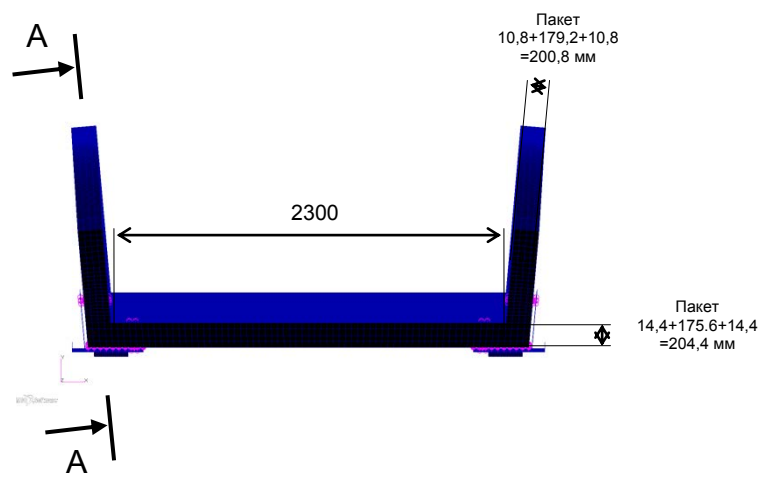
Рис. 1.1. Конструкция пролетного строения по КЭМ

(продолжение на следующей странице).

Инв. № подп				
Ли	Изм.	№ докум.	Подп.	Дат

НТЦ 0000.000.00.000

Лист



A - A

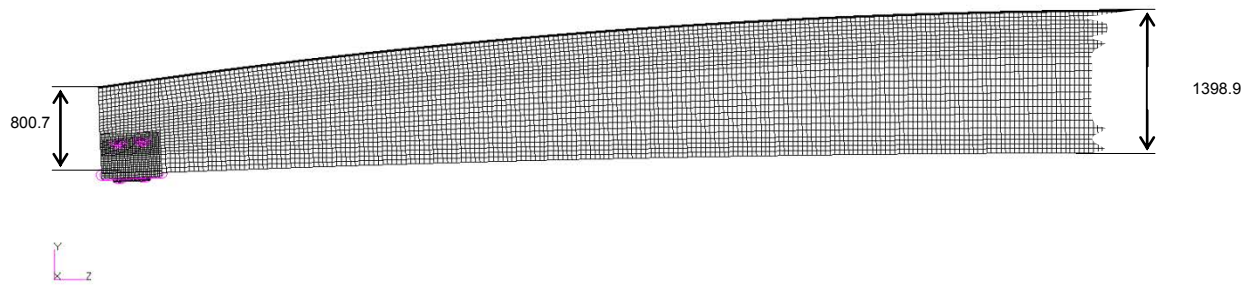


Рис. 1.1. Конструкция пролетного строения по КЭМ
(начало на предыдущей странице).

Инв. № подп	Подп. и дата	Инв. № дубл.	Взам. инв. №	Подп. и дата

НТЦ 0000.000.00.000

Лист

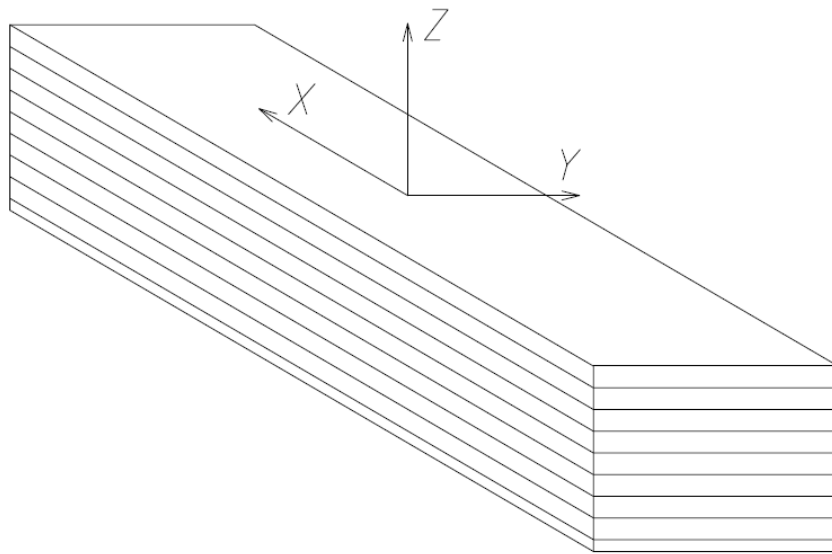


Рис. 1.2 - Расположение слоёв LVL-бруса.

Направления ориентации материалов представлены в таблице 1.1:

Табл. 1.1 Направления ориентации материалов

Элемент конструкции	Направление нулевого угла армирования
Плита	Вдоль пролёта
Продольные борта переменной высоты	Вдоль пролёта
LVL торцевых усилений	Поперёк пролёта
LVL усиления арочной части продольных бортиков	Вдоль арочной части
Рёбра жёсткости	Вдоль рёбер

Инв. № подп	Подп. и дата	Инв. № дубл.	Взам. инв. №	Подп. и дата
-------------	--------------	--------------	--------------	--------------

Ли	Изм.	№ докум.	Подп.	Дат
----	------	----------	-------	-----

НТЦ 0000.000.00.000

Лист

1.2. Нормативная база

При расчетах пролетного строения для пешеходного путепровода использовалась следующая нормативная база:

- СП 35.13330.2011 «Мосты и трубы. Актуализированная редакция СНиП 2.05.03-84*»;
- СТО – 00204961-004-2012 Пешеходные мосты и путепроводы из полимерных композитов;
- ГОСТ Р 54257-2010 Надежность строительных конструкций.

1.3. Свойства материалов

При расчете пролетного строения для пешеходного путепровода были использованы материалы приведенные ниже в таблицах.

В таблице 1.1 приведены физико-механические характеристики стеклокомпозитов, примененных в пролетном строении.

В таблице 1.2 приведены свойства LVL-брюса тип 1. Свойства определены на основании заявленных изготовителем в ТУ.

Инв. № подп	Подп. и дата	Инв. № дубл.	Взам. инв. №	Подп. и дата

Ли	Изм.	№ докум.	Подп.	Дат

НТЦ 0000.000.00.000

Лист

Табл. 1.2 – Физико-механические характеристики стеклокомпозитов.

№	Характеристики	Принятые номинальные значения для композита, МПа			
		СКК2	СКК4	СКК6	TX-Com biflow-300-TX
1	Модуль упругости в направлении 0°, МПа	24809	18973	28856	13917
2	Модуль упругости в направлении 90°, МПа	9147	12661	6404	7162
3	Модуль сдвига, МПа	4623	5661	4319	4827
4	Коэффициент Пуассона в направлении	0.285	0.347	0.265	0.338
5	Растяжение	Прочность в направлении 0°, МПа	501	330	523
6		Прочность в направлении 90°, МПа	168	211	50
7	Сжатие	Прочность в направлении 0°, МПа	274	185	321
8		Прочность в направлении 90°, МПа	112	146	67
9	Сдвиг	Прочность, МПа	78	118	62
10	Плотность, кг/м ³	1800	1800	1800	1800

Инв. № подп	Подп. и дата	Инв. № дубл.	Взам. инв. №	Подп. и дата

Ли	Изм.	№ докум.	Подп.	Дат
----	------	----------	-------	-----

НТЦ 0000.000.00.000

Лист

Табл. 1.3 – Свойства LVL-бруса тип 1

№	Напряженное состояние	Характеристики	Принятые номинальные значения
1		Модуль упругости вдоль волокон, ГПа	10
2		Модуль упругости поперек волокон, ГПа	3,5
3		Модуль сдвига, ГПа	0,9
4		Коэффициент Пуассона	0,3
5	Растяжение	Прочность вдоль волокон, МПа	27
6	Сжатие	Прочность поперек волокон, МПа	12
7		Прочность поперек волокон на ребре, МПа	3,5
8	Сдвиг (скалывание)	Прочность вдоль волокон слоев шпона, МПа	3,9
9		Прочность поперек волокон слоев шпона, МПа	1,7
9		Плотность, кг/м ³	600

Инв. № подп	Подп. и дата	Инв. № дубл.	Взам. инв. №	Подп. и дата
-------------	--------------	--------------	--------------	--------------

Ли	Изм.	№ докум.	Подп.	Дат
----	------	----------	-------	-----

НТЦ 0000.000.00.000

Лист

2. Методика определение нормативных и расчетных величин нагрузок и сопротивлений материалов

2.1 Коэффициенты надёжности для элементов конструкции из композиционных материалов

Основное неравенство для расчёта элементов конструкции пролетного строения для пешеходного путепровода из композиционных материалов записывается в следующем виде:

$$\gamma_n * \sum(S_i * \gamma_{fi}) \leq \frac{R}{\gamma_m \gamma_c}, \text{ где}$$

S - напряжения (деформации) от нормативных величин нагрузок;

R - нормативное сопротивление (или предельная деформация) композитного материала;

γ_f - коэффициент надёжности по нагрузке;

$\gamma_n = 1,1$ - коэффициент надежности по ответственности;

γ_m - коэффициент надежности по материалу;

γ_c - коэффициент, учитывающий падение свойств материала в процесс эксплуатации (см. таблицу 2.2).

$$\gamma_m = \gamma_{m,1} \cdot \gamma_{m,2}$$

где: $\gamma_{m,1} = 1,35$ -коэффициент, учитывающий систематическую погрешность при экспериментальном определении свойств материала либо неточность математических моделей при расчётом определении свойств;

$\gamma_{m,2} = 1,2$ -коэффициент, учитывающий нестабильность свойств материала в конструкции при изготовлении. Значение коэффициента $\gamma_{m,2} = 1,2$, принято поскольку композитные элементы конструкции изготавливаются методом вакуумной инфузии с посттвёрждением.

$$R = R_m \cdot (1 - 2,0 \cdot \vartheta), \text{ где}$$

R_m - среднее значение сопротивления материала;

$\vartheta = 0,13$ -коэффициент вариации (при отсутствии экспериментальных данных испытаний образцов материала).

Инв. № подп	Подп.	Инв. № дубл.	Взам. инв. №	Подп. и дата

Ли	Изм.	№ докум.	Подп.	Дат

НТЦ 0000.000.00.000

Лист

10

Расчетные значения параметров жесткости определяются следующим образом:

$$E = \frac{E_{\text{ном}}}{\gamma_d \cdot \gamma_c}$$

где: E - расчётное значение параметров жёсткости;

$E_{\text{ном}}$ - среднее значение параметров жёсткости, определённое на испытаниях, взятое с надежностью 0,95;

γ_c - коэффициент, учитывающий падение свойств материала в процесс эксплуатации (см. таблицу 2.2);

$\gamma_d = 1,1$ – коэффициент условий работы.

В соответствии с п.6.21 СП 35.13330.2011 динамический коэффициент к вертикальным подвижным нагрузкам для пешеходных мостов равен $(1+\mu)=1$.

Инв. № подп	Подп. и дата	Инв. № дубл.	Взам. инв. №	Подп. и дата

Ли	Изм.	№ докум.	Подп.	Дат

НТЦ 0000.000.00.000

Лист

11

2.2 Нагрузки и расчетные случаи

При расчёте элементов конструкции пролетного строения для пешеходного путепровода применялись следующие нагрузки.

В таблице 2.1 приведены значения нормативных и расчётных нагрузок, принятых в расчёте. Коэффициенты надёжности приняты в соответствии с СП 35.13330.2011.

Таблица 2.1 Нормативные и расчётные нагрузки, принятые в расчёте

№	Нагрузка	Норм. значение	Коэффициент надёжности по нагрузке, γ_f	Расч. значение, kH/m^2
Постоянные				
1	Собственный вес пролетного строения	4,255 kH/m	1,1 (0,9)	4,68 kH/m (3,829 kH/m)
2	Остекление	1,693 kH/m	1,1 (0,9)	1,862 kH/m (1,524 kH/m)
3	Перильные ограждения	1,3 kH/m	1,1 (0,9)	1,43 kH/m (1,17 kH/m)
4	Покрытие ($\delta = 8\text{мм}$)	0,12 kH/m^2	1,5 (0,9)	0,18 kH/m^2 (0,11 kH/m^2)
Временные				
5	Временная нагрузка от пешеходов (п. 6.21 СП 35.13330-2011)	4,0 kH/m^2	1,4	5,6 kH/m^2
6	Сосредоточенное давление	3,4 kH	1,4	4,8 kH
7	Снеговая нагрузка	1,8* kH/m^2	1,4	2,52 kH/m^2
Прочие				
8	Ветровая нагрузка	1 kH/m^2	1,4	1,4 kH/m^2

Инв. № подп	Подп. и дата	Инв. № дубл.	Взам. инв. №	Подп. и дата

Ли	Изм.	№ докум.	Подп.	Дат

НТЦ 0000.00.00.000

Лист

12

Пределные случаи			Пункт	Нагрузка	γ_f	Значение
Первое предельное состояние	Прочность	От всех расчётных нагрузок	4.1.1	Собственный вес пролетного строения	1,1	4,68 кН/м
				Остекление	1,1	1,862 кН/м
				Перильные ограждения	1,1	1,43 кН/м
				Покрытие	1,5	0,18 кН/м ²
		От остекления и снега	4.1.2	Временная нагрузка от пешеходов	1,4	5,6 кН/м ²
				Снеговая нагрузка	1,4	2,52 кН/м ²
				Собственный вес пролетного строения	1,1	4,68 кН/м
				Остекление	1,1	1,862 кН/м
	Устойчивость	От пешеходной нагрузки	4.1.3	Перильные ограждения	1,1	1,43 кН/м
				Покрытие	1,5	0,18 кН/м ²
				Снеговая нагрузка	1,4	2,52 кН/м ²
		От сосредоточенного давления	4.1.4	Сосредоточенное давление	1,4	4,8 кН
		Выносливость		Собственный вес пролетного строения	1,1	4,68 кН/м
	Второе предельное состояние	Усилия в опорах от ветровой нагрузки	4.2	Остекление	1,1	1,862 кН/м
				Перильные ограждения	1,1	1,43 кН/м
				Покрытие	1,5	0,18 кН/м ²
				Временная нагрузка от пешеходов	1,4	5,6 кН/м ²
				Снеговая нагрузка	1,4	2,52 кН/м ²
Второе предельное состояние	Прогиб от:	собственного веса	4.3	Собственный вес пролетного строения	-	4,255 кН/м
				Собственный вес пролетного строения	-	4,255 кН/м
		Σ нагрузок	4.4.2	Остекление	-	1,693 кН/м
				Перильные ограждения	-	1,3 кН/м
				Покрытие	-	0,12 кН/м ²
		пешеходной нагрузки	4.4.3	Временная нагрузка от пешеходов	-	4,0 кН/м ²
				Снеговая нагрузка	-	1,8 кН/м ²
	Собственные частоты колебаний	4.5.1 4.5.3	4.5.1 4.5.3	Дополнительная масса от пешеходов	-	50 кг/ м ²
				Без дополнительной массы	-	-

Инв. № подп	Подп.	Инв. № дубл.	Взам. инв. №	Подп. и дата

Ли	Изм.	№ докум.	Подп.	Дат
----	------	----------	-------	-----

НТЦ 0000.00.00.000

Лист

13

2.3 Расчётные значения свойств материалов

При расчёте элементов конструкции пролетного строения для пешеходного путепровода принимаются следующие расчётные свойства материалов.

В таблице 2.2 показана структура формирования коэффициента γ_c для каждого из рассматриваемых случаев предельного состояния.

По данным таблиц 1.1 и 2.2 были сформированы таблицы 2.3- 2.5, где приводятся нормативные и расчетные значения деформативно-прочностных характеристик многослойных композитов для различных предельных состояний.

Инв. № подп	Подп. и дата	Инв. № дубл.	Взам. инв. №	Подп. и дата

Ли	Изм.	№ докум.	Подп.	Дат

НТЦ 0000.00.00.000

Лист

14

Инв № подл	Подп. и дата	Взам. инв. №	Инв. № дубл.	Подп. и дата

Таблица 2.2 - Поправочные коэффициенты учитывающие ухудшение свойств материала в процессе эксплуатации

Название	Первое предельное состояние				Второе предельное состояние						
	Прочность	Устойчивость	Выносливость	Усилия в опорах	От собственного веса конструкции	Прогиб	Собственные частоты колебаний		С учетом массы пешеходов	Без учета массы пешеходов	С учетом массы пешеходов
Поправочный коэффициент на температуру	1.1	1.1	1.1	-	1.1	1.1	1.1	1.1	1.1	1,1	-
Поправочный коэффициент на влажность	1.1	1.1	1.1	-	1.1	1.1	1.1	1.1	1.1	1,1	-
Поправочный коэффициент на ползучесть	1.46	1.46	-	-	1.46	1.46	-	-	-	-	-
Поправочный коэффициент на усталость	-	1.1	-	-	1.1	1.1	1.1	1.1	1.1	1,1	-
Климатический поправочный коэффициент (морозостойкость)	1.07	-	1.07	-	-	-	-	-	-	-	-
Итоговый коэффициент надёжности	1.89	1.94	1.29	1	1.94	1.94	1.33	1.33	1.33	1	
Коэффициент качества	1.62		1.62								
Коэффициент условий работы		1.1			1.1	1.1	1.1				
Итоговый поправочный коэффициент	3,06	2,13	2,09	1	2,13	2,13	1,46	1,33	1,33	1	
	*	**	*	**	**	**	**	**	**	**	**

*Применительно к пределам прочности

**Применительно к модулям упругости и сдвига

Инв № подл	Подп. и дата	Взам. инв. №	Инв. № дубл.	Подп. и дата

Изм.	
Лист	
№ докум.	
Подп.	
Дата	

НТЦ 0000.00.00.00.00

Лист
16

Таблица 2.3 расчетные характеристики многослойного композита СКК2 для различных предельных состояний

Название материала	Характеристики	№	Принятые номинальные значения,	Принятые расчётные значения							
				Первое предельное состояние				Второе предельное состояние			
				Прочность	Устойчивость	Выносливость	Усилия в опорах	Прогиб от:	Собственные частоты колебаний		
Композит СКК2	Модуль упругости в направлении 0°, МПа	1	24809	24809	11647	24809	24809	11647	16992	18653	24809
	Модуль упругости в направлении 90°, МПа	2	9147	9147	4294	9147	9147	4294	6265	6877	9147
	Модуль сдвига, МПа	3	4623	4623	2170	4623	4623	2170	3166	3475	4623
	Коэффициент Пуассона	4	0,285	0,285	0,285	0,285	0,285	0,285	0,285	0,285	0,285
	Растяжение	5	501	163	-	239	-	-	-	-	-
		6	168	54	-	80	-	-	-	-	-
	Сжатие	7	274	89	-	131	-	-	-	-	-
		8	112	36	-	53	-	-	-	-	-
	Сдвиг	9	78	25	-	37	-	-	-	-	-

Инв № подл	Подп. и дата	Взам. инв. №	Инв. № дубл.	Подп. и дата

Изм.	
Лист	
№ докум.	
Подп.	
Дата	

НТЦ 0000.00.00.00.00

Таблица 2.4 расчетные характеристики многослойного композита СКК4 для различных предельных состояний

Название материала	Характеристики	№	Принятые номинальные значения,	Принятые расчётные значения								Собственные частоты колебаний	С пешеходной нагрузкой		
				Первое предельное состояние				Второе предельное состояние							
				Прочность	Устойчивость	Выносливость	Усилия в опорах	Собственного веса	Σ нагрузок	Пешеходной нагрузки	на нагрузки				
Композит СКК4	Модуль упругости в направлении 0°, МПа	1	18973	18973	8907	18973	18973	8907	12995	14265	18973				
	Модуль упругости в направлении 90°, МПа	2	12661	12661	5944	12661	12661	5944	8671	9519	12661				
	Модуль сдвига, МПа	3	5661	5661	2657	5661	5661	2657	3877	4256	5661				
	Коэффициент Пуассона	4	0,347	0,347	0,347	0,347	0,347	0,347	0,347	0,347	0,347				
	Растяжение	5	330	107	-	157	-	-	-	-	-				
	Прочность в направлении 0°, МПа	6	211	68	-	100	-	-	-	-	-				
	Сжатие	7	185	60	-	88	-	-	-	-	-				
	Прочность в направлении 90°, МПа	8	146	47	-	69	-	-	-	-	-				
	Сдвиг	Прочность, МПа	118	38	-	56	-	-	-	-	-				

Инв № подл	Подп. и дата	Взам. инв. №	Инв. № дубл.	Подп. и дата

Изм.			
Лист			
№ докум.			
Подп.			Дата

НТЦ 0000.00.00.00.00

Лист
18

Таблица 2.5 расчетные характеристики многослойного композита СКК6 для различных предельных состояний

Название материала	Характеристики	№	Принятые номинальные значения,	Принятые расчётные значения							
				Первое предельное состояние				Второе предельное состояние			
				Прочность	Выносливость	Устойчивость	Усилия в опорах	Прогиб от:	Собственные частоты колебаний		
Композит СКК6	Модуль упругости в направлении 0°, МПа	1	28856	28856	13547	28856	28856	13547	19764	21696	28856
	Модуль упругости в направлении 90°, МПа	2	6404	6404	3006	6404	6404	3006	4386	4815	6404
	Модуль сдвига, МПа	3	4319	4319	2027	4319	4319	2027	2958	3247	4319
	Коэффициент Пуассона	4	0,265	0,265	0,265	0,265	0,265	0,265	0,265	0,265	0,265
	Растяжение	5	523	170	-	250	-	-	-	-	-
		6	50	16	-	23	-	-	-	-	-
	Сжатие	7	321	104	-	153	-	-	-	-	-
		8	67	21	-	32	-	-	-	-	-
	Сдвиг	Прочность, МПа	9	62	20	-	29	-	-	-	-

Инв № подл	Подп. и дата	Взам. инв. №	Инв. № дубл.	Подп. и дата

Изм.	
Лист	
№ докум.	
Подп.	
Дата	

НТЦ 0000.00.00.00.00

Лист
19

Таблица 2.6 расчетные характеристики многослойного композита TX-Combiflow-300-TX для различных предельных состояний

Название материала	Характеристики	№	Принятые номинальные значения,	Принятые расчётные значения							
				Первое предельное состояние		Второе предельное состояние		Прогиб от:	Собственные частоты колебаний	С пешеходной нагрузкой	
				Прочность	Устойчивость	Выносливость	Усилия в опорах			Пешеходной нагрузки	Σ нагрузок
Композит TX-Combiflow-300-TX	Модуль упругости в направлении 0°, МПа	1	13917	13917	6533	13917	13917	6533	9532	10463	13917
	Модуль упругости в направлении 90°, МПа	2	7162	7162	3362	7162	7162	3362	4905	5384	7162
	Модуль сдвига, МПа	3	4827	4827	2266	4827	4827	2266	3306	3629	4827
	Коэффициент Пуассона	4	0,338	0,338	0,338	0,338	0,338	0,338	0,338	0,338	0,338
	Растяжение	5	245	80	-	117	-	-	-	-	-
		6	71	23	-	33	-	-	-	-	-
	Сжатие	7	198	64	-	94	-	-	-	-	-
		8	108	35	-	51	-	-	-	-	-
	Сдвиг	9	71	23	-	33	-	-	-	-	-

3. Описание расчётной модели и методики расчёта

Расчёт конструкции пролетного строения для пешеходного путепровода выполнен методом конечных элементов с использованием программного комплекса MSC.Nastran. Создание расчетной конечно-элементной модели, а также анализ результатов расчёта выполняется с помощью программного комплекса MSC.Patran. Элементы конструкции, изготавливаемые из многослойного композиционного материала, моделировались при помощи элементов типа QUAD4 с заданием свойств многослойного композита. LVL-брус моделировался с помощью объемных конечных элементов типа HEX8 с заданием свойств трехмерного ортотропного материала.

На рисунке 3.1 приведена КЭМ пролётного строения композитного моста.

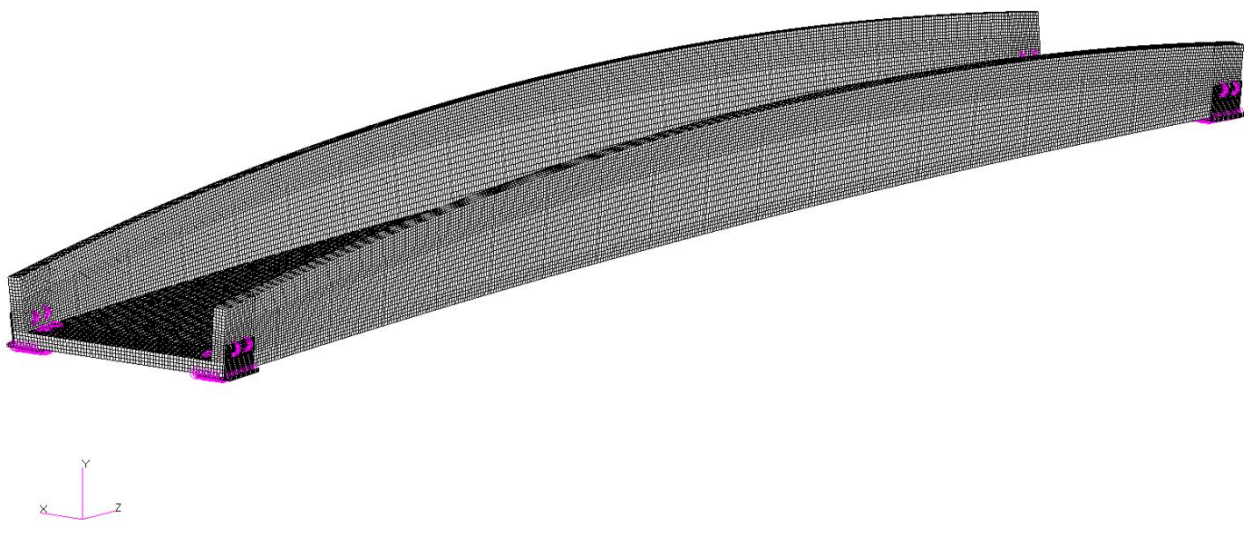


Рис. 3.1 - КЭМ пролётного строения композитного моста

Инв. № подп	Подп. и дата	Инв. № дубл.	Взам. инв. №	Подп. и дата

Ли	Изм.	№ докум.	Подп.	Дат

НТЦ 0000.00.00.000

Лист

20

Пролетное строение для пешеходного путепровода имеет опирание в четырех точках. На рисунке 3.2 изображена схема закрепления. В таблице 3.1 приведены закрепленные степени свободы в узлах основания.

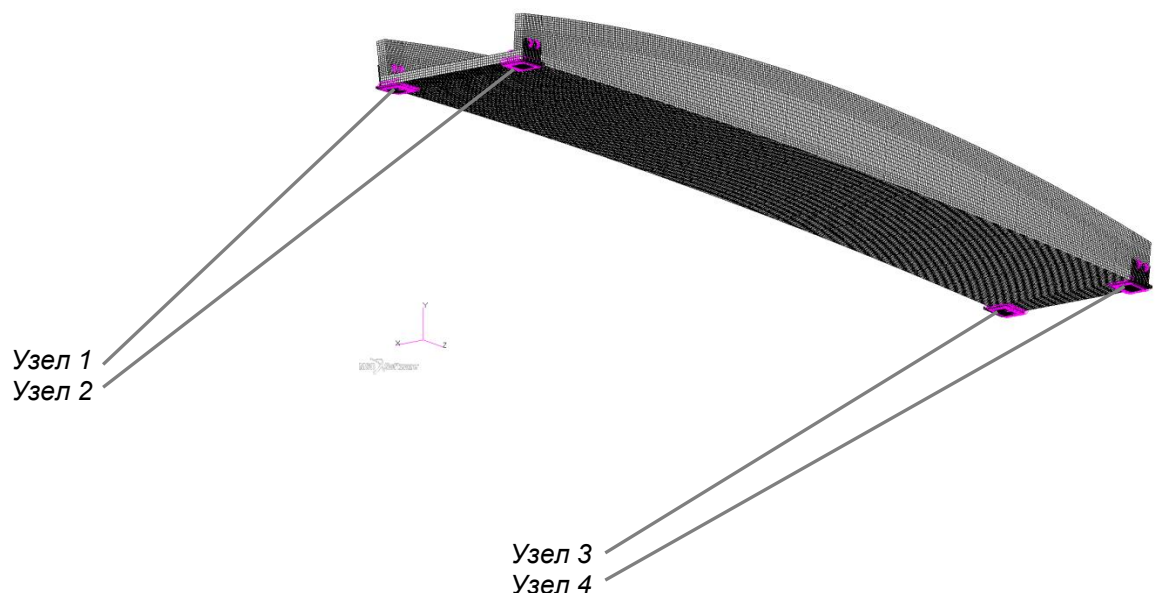


Рис. 3.2 - Схема закрепления

Табл. 3.1 - закреплённые степени свободы в узлах

Номер узла	Направление перемещения		
	X	Y	Z
1		+	
2	+	+	+
3		+	
4	+	+	

В расчетную модель не включены жёсткость и плотность ППУ.

Сила тяжести моделировалась как инерционная нагрузка, учитывающая полную массу пролёта (в том числе с ППУ).

При расчётах на собственные частоты плотность ППУ учитывалась путём увеличения плотности других материалов.

В таблице 3.2 приводятся массовые характеристики по КЭМ.

Инв. № подп	Подп. и дата	Инв. № дубл.	Взам. инв. №	Подп. и дата

Ли	Изм.	№ докум.	Подп.	Дат

Табл. 3.2 - массовые характеристики по КЭМ.

Масса без ППУ	7 066 кг
Масса ППУ	740 кг
Масса с ППУ	7 806 кг

В расчетную модель для расчёта элементов конструкции пролетного строения для пешеходного путепровода не включены модели конструкции остекления и перил. Нагрузки от остекления (с учетом снеговой нагрузки) и перил заданы в виде вертикальных сил к узлам арок. Схема нагружения массой снега, остекления и перил приведена на рисунке 3.2.

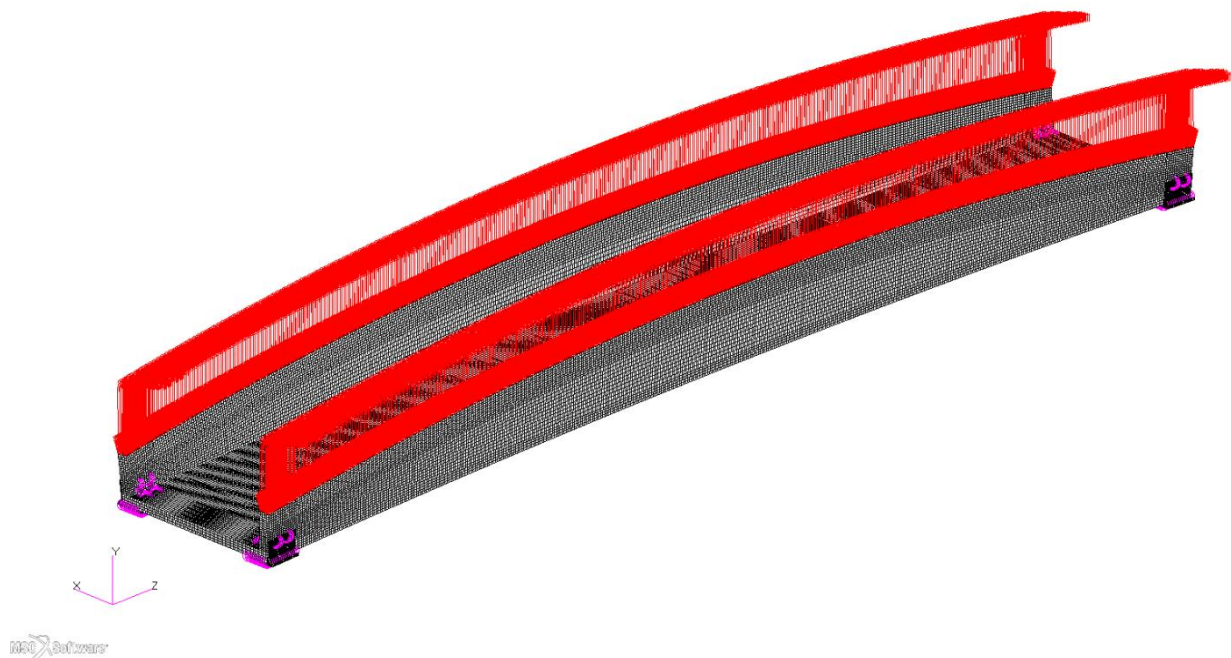


Рис. 3.2 - Схема нагружения массой снега, остекления и перил.

Инв. № подп	Подп. и дата	Инв. № дубл.	Взам. инв. №	Подп. и дата

Ли	Изм.	№ докум.	Подп.	Дат

НТЦ 0000.00.00.000

Лист

22

Распределённая нагрузка на пешеходный мост (п. 6.21 СП 35.13330-2011) от пешеходов задана в виде вертикальных сил к узлам на пешеходной части (шириной 3 м). Схема нагружения массой пешеходов приведена на рисунке 3.3.

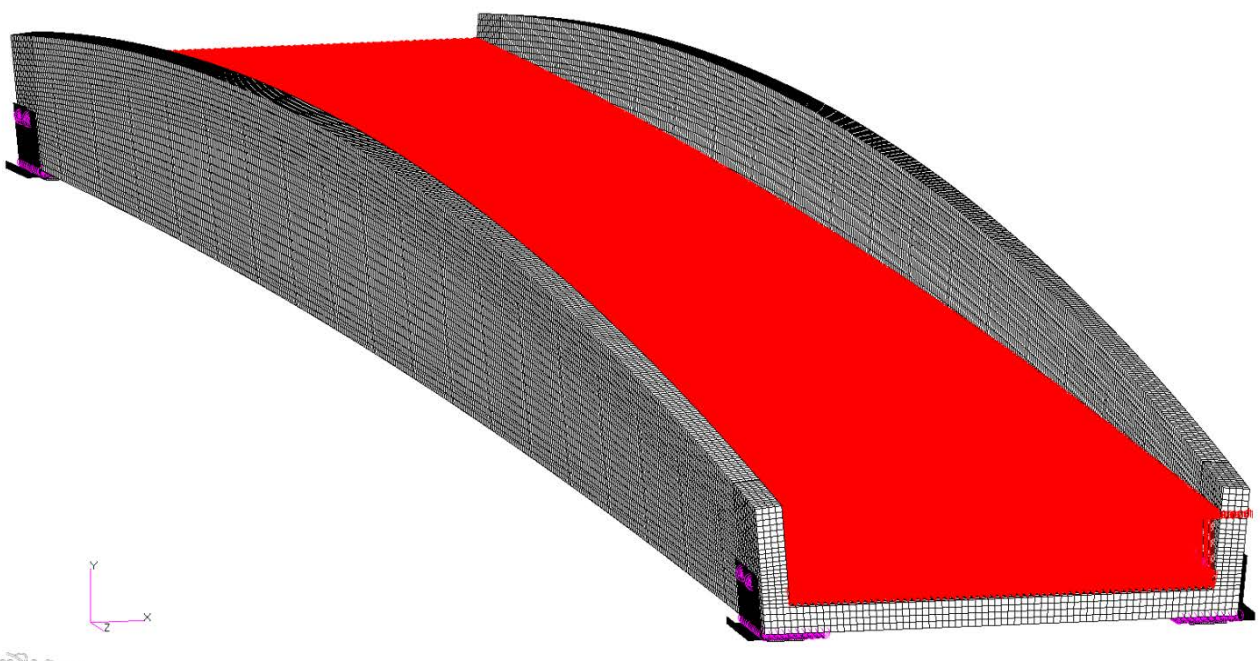


Рис. 3.3 - Схема нагружения массой пешеходов.

Инв. № подп	Подп. и дата	Инв. № дубл.	Взам. инв. №	Подп. и дата

Ли	Изм.	№ докум.	Подп.	Дат

НТЦ 0000.00.00.000

Лист

23

4. Результаты расчётов

4.1. Прочность

4.1.1. Прочность при действии всех расчётных нагрузок

Предельное состояние		Нагрузка	Значение
Первое предельное состояние	Прочность	Собственный вес несущей конструкции	4,68 кН/м
		Нагрузка от остекления	1,862 кН/м
		Нагрузка от перил	1,43 кН/м
		Нагрузка от веса покрытия ($\delta = 8\text{мм}$)	0,18 кН/м ²
		Временная нагрузка на пешеходный мост от пешеходов (п. 6.21 СП 35.13330-2011)	5,6 кН/м ²
		Снеговая нагрузка	2,52 кН/м ²

Результаты расчёта элементов конструкции пролётного строения для пешеходного путепровода приведены на рисунках 4.1 - 4.27.

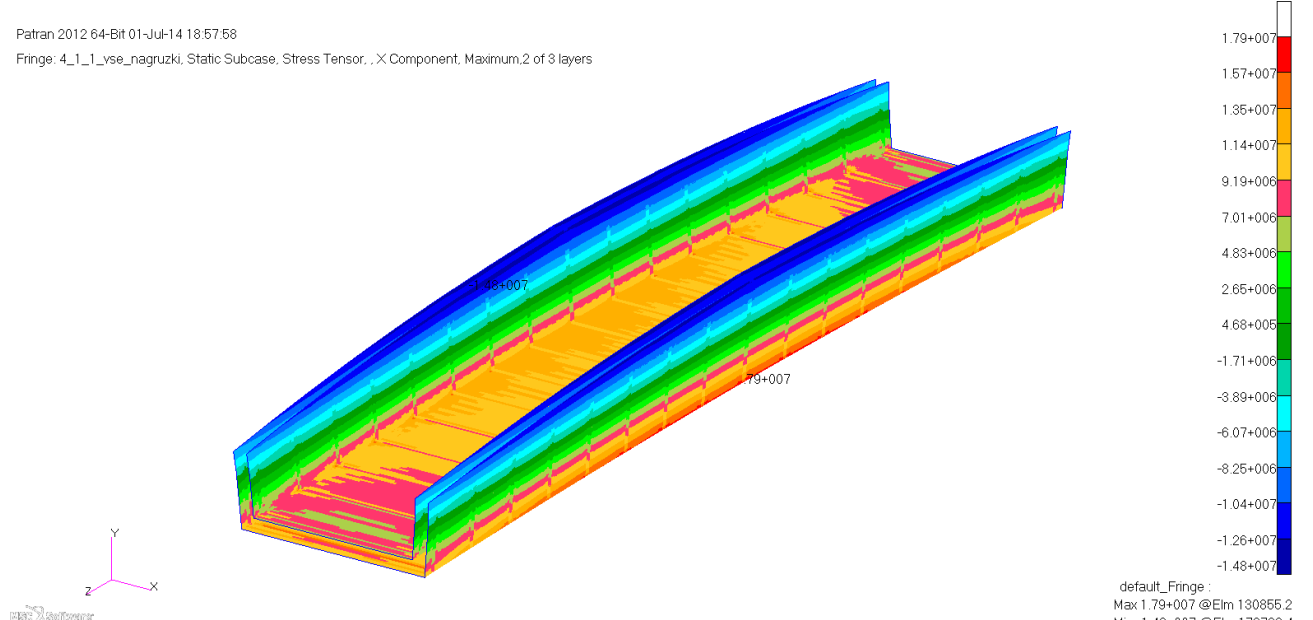


Рис. 4.1 - распределение нормальных напряжений в несущем слое композита СКК2 вдоль оси пролётного строения (максимальное значение растяжения 17,9 МПа)

Инв. № подп	Подп. и дата	Инв. № дубл.	Взам. инв. №	Подп. и дата

Patran 2012 64-Bit 01-Jul-14 19:00:11
Fringe: 4_1_1_vse_nagruzki, Static Subcase, Stress Tensor, , X Component, Minimum,2 of 3 layers

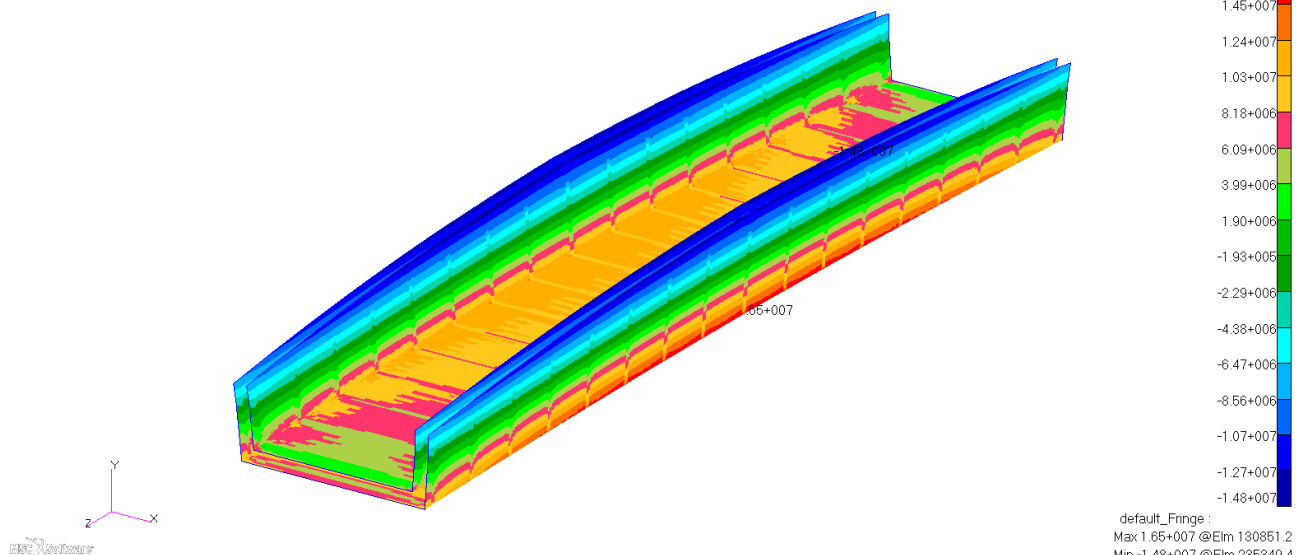


Рис. 4.2 - распределение нормальных напряжений в несущем слое композита СКК2 вдоль оси пролётного строения (максимальное значение сжатия 14,8 МПа)

Patran 2012 64-Bit 01-Jul-14 19:00:31
Fringe: 4_1_1_vse_nagruzki, Static Subcase, Stress Tensor, , Y Component, Maximum,2 of 3 layers

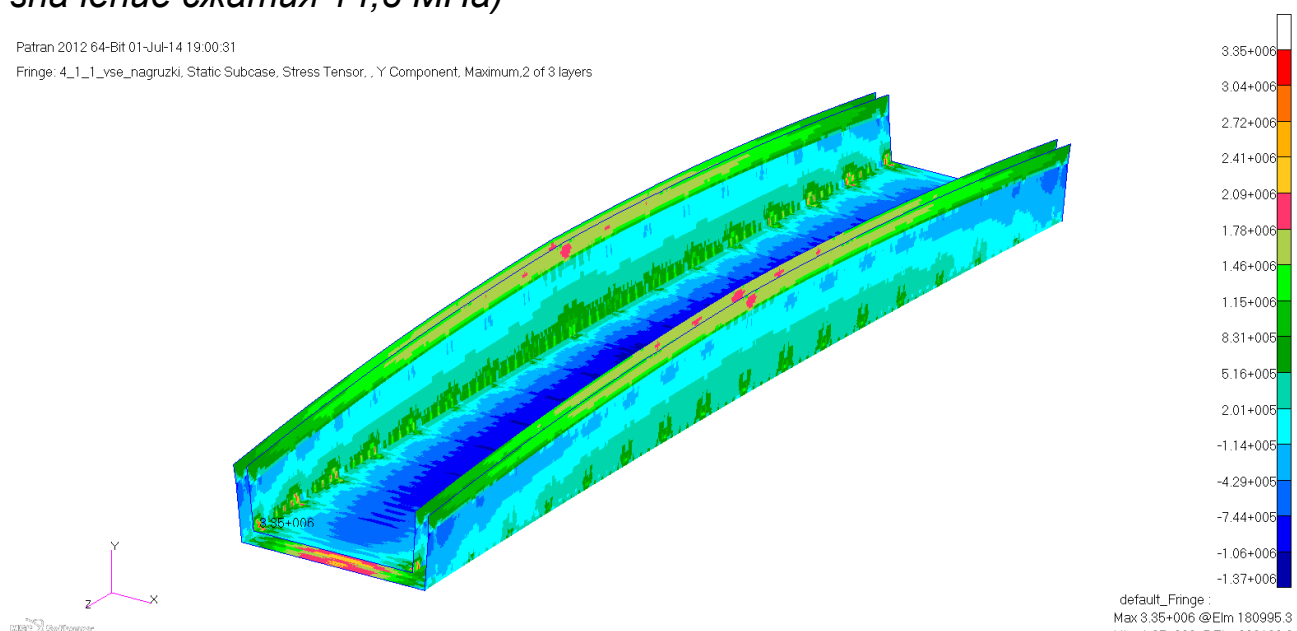


Рис. 4.3 - распределение нормальных напряжений в несущем слое композита СКК2 перпендикулярно оси пролётного строения (максимальное значение растяжения 3,35 МПа)

Инв. № подл	Подл. и дата	Инв. № дубл.	Взам. инв. №	Подл. и дата

Patran 2012 64-Bit 01-Jul-14 19:00:42
Fringe: 4_1_1_vse_nagruzki, Static Subcase, Stress Tensor, Y Component, Minimum, 2 of 3 layers

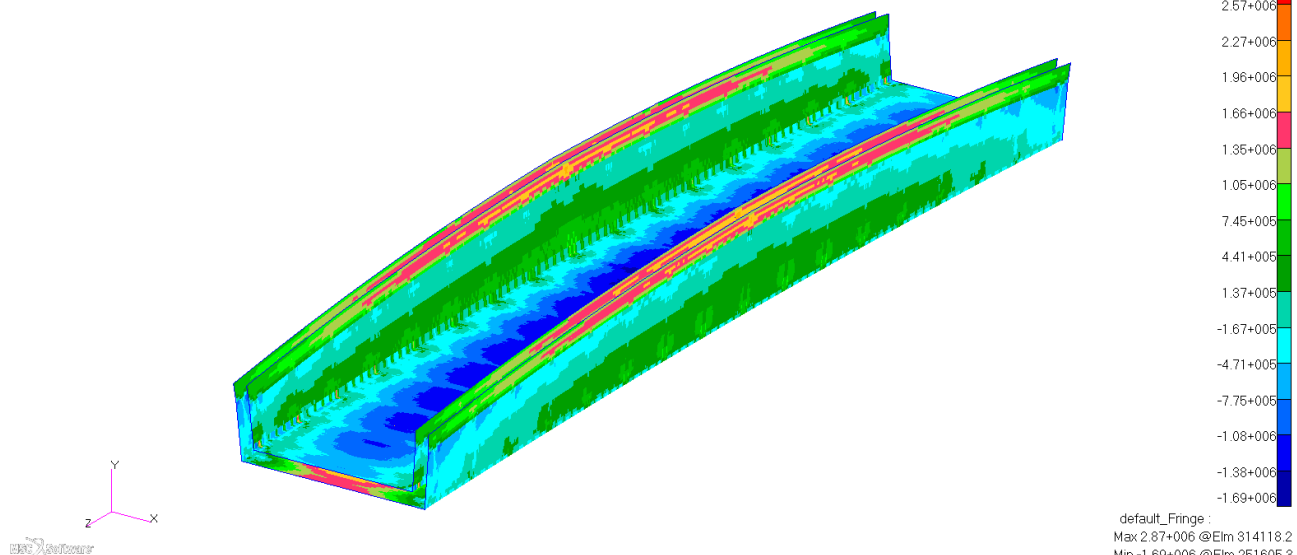


Рис. 4.4 - распределение нормальных напряжений в несущем слое композита СКК2 перпендикулярно оси пролётного строения (максимальное значение сжатия 1,69 МПа)

Patran 2012 64-Bit 01-Jul-14 19:00:54
Fringe: 4_1_1_vse_nagruzki, Static Subcase, Stress Tensor, XY Component, Maximum, 2 of 3 layers

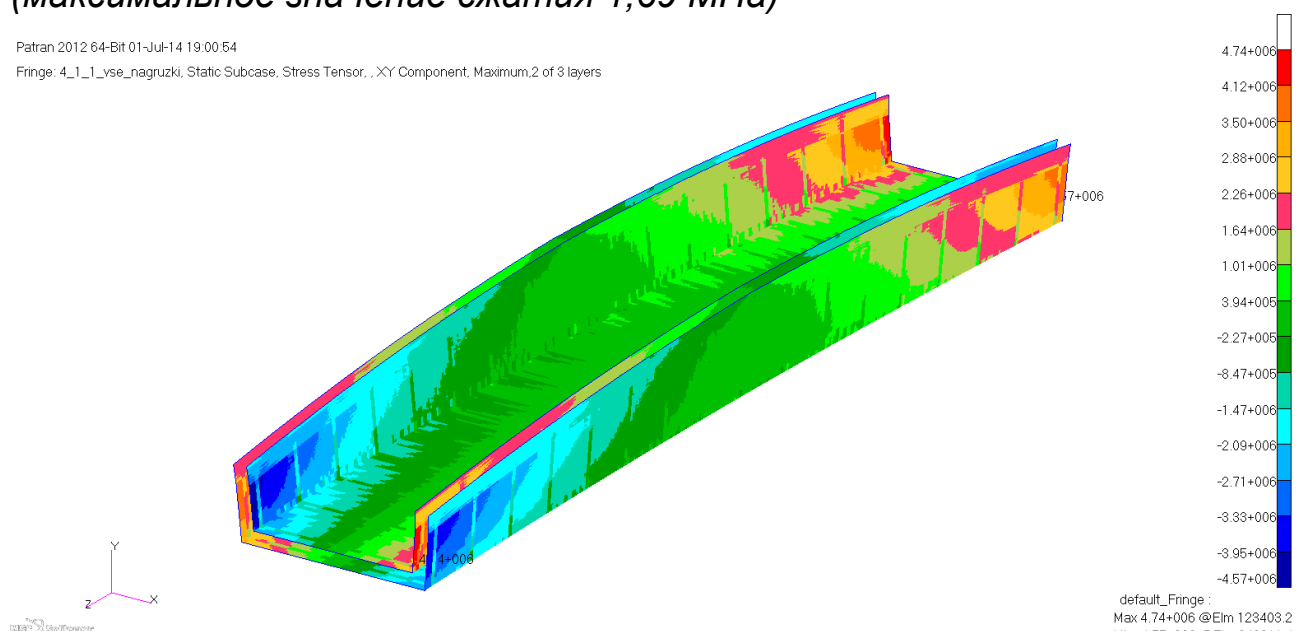


Рис. 4.5 - распределение сдвиговых напряжений в несущем слое композита СКК2 (максимальное значение 4,74 МПа)

Инв. № подл	Подл. и дата	Инв. № дубл.	Взам. инв. №	Подл. и дата

Patran 2012 64-Bit 01-Jul-14 19:01:38

Fringe: 4_1_1_vse_nagruzki, Static Subcase, Stress Tensor, , X Component, Maximum,2 of 3 layers

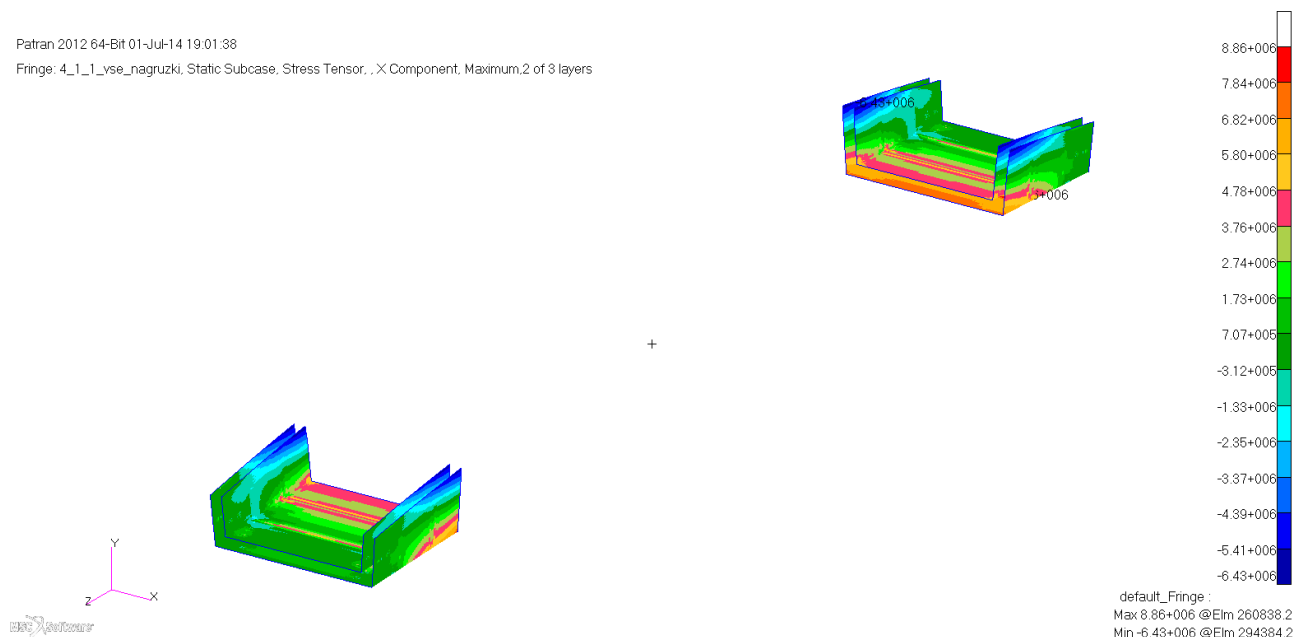


Рис. 4.6 - распределение нормальных напряжений в несущем слое композита СКК4 в направлении 0° ориентации материала (максимальное значение растяжения 8,86 МПа)

Patran 2012 64-Bit 01-Jul-14 19:01:51

Fringe: 4_1_1_vse_nagruzki, Static Subcase, Stress Tensor, , X Component, Minimum,2 of 3 layers

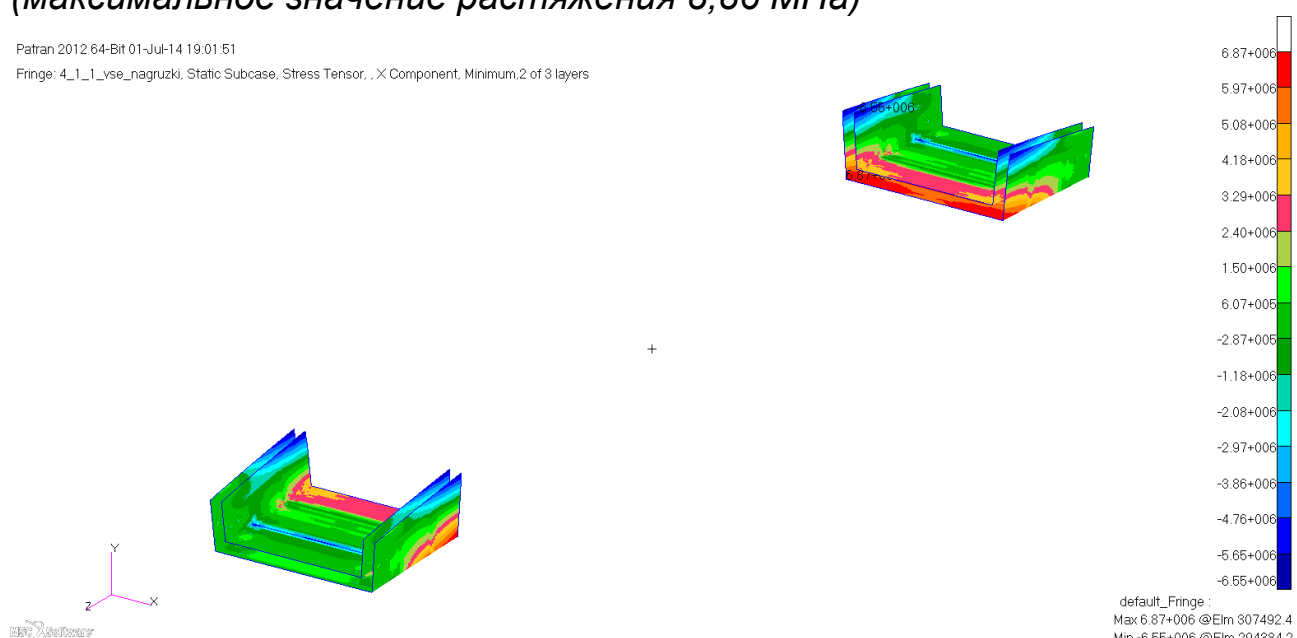


Рис. 4.7 - распределение нормальных напряжений в несущем слое композита СКК4 в направлении 0° ориентации материала (максимальное значение сжатия 6,55 МПа)

Инв. № подп	Подп. и дата	Инв. № дубл.	Взам. инв. №	Подп. и дата

Patran 2012 64-Bit 01-Jul-14 19:02:03
Fringe: 4_1_1_vse_nagruzki, Static Subcase, Stress Tensor, , Y Component, Maximum,2 of 3 layers

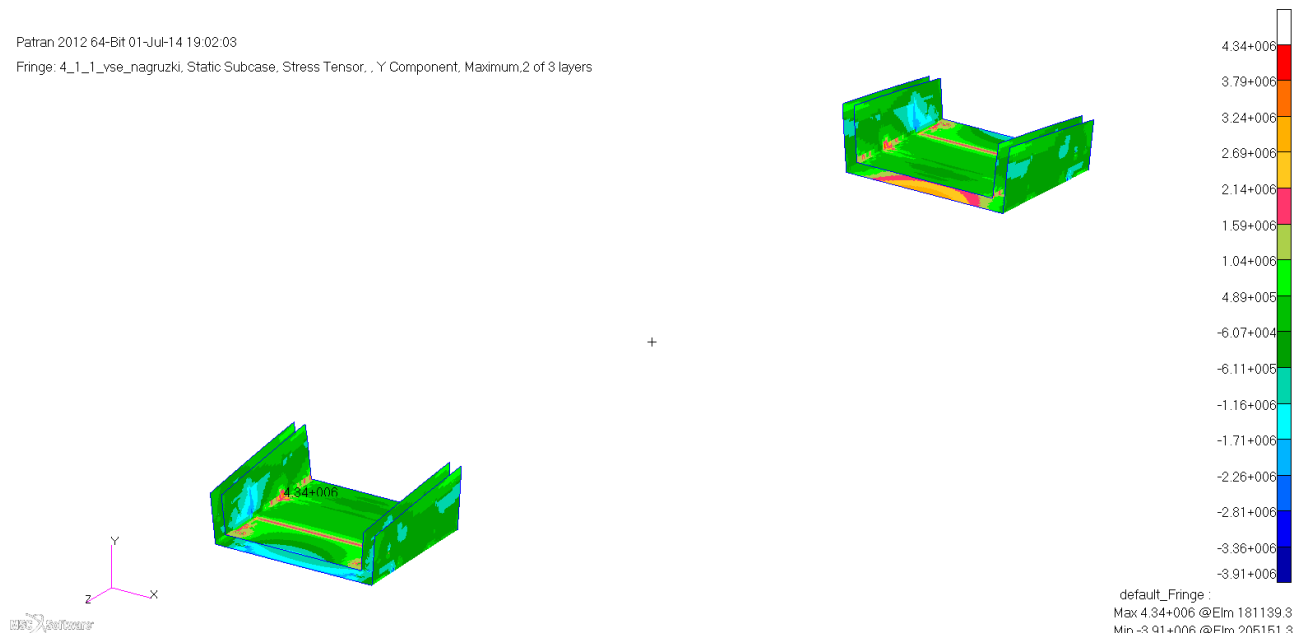


Рис. 4.8 - распределение нормальных напряжений в несущем слое композита СКК4 в направлении 90^0 ориентации материала (максимальное значение растяжения 4,34 МПа)

Patran 2012 64-Bit 01-Jul-14 19:02:14
Fringe: 4_1_1_vse_nagruzki, Static Subcase, Stress Tensor, , Y Component, Minimum,2 of 3 layers

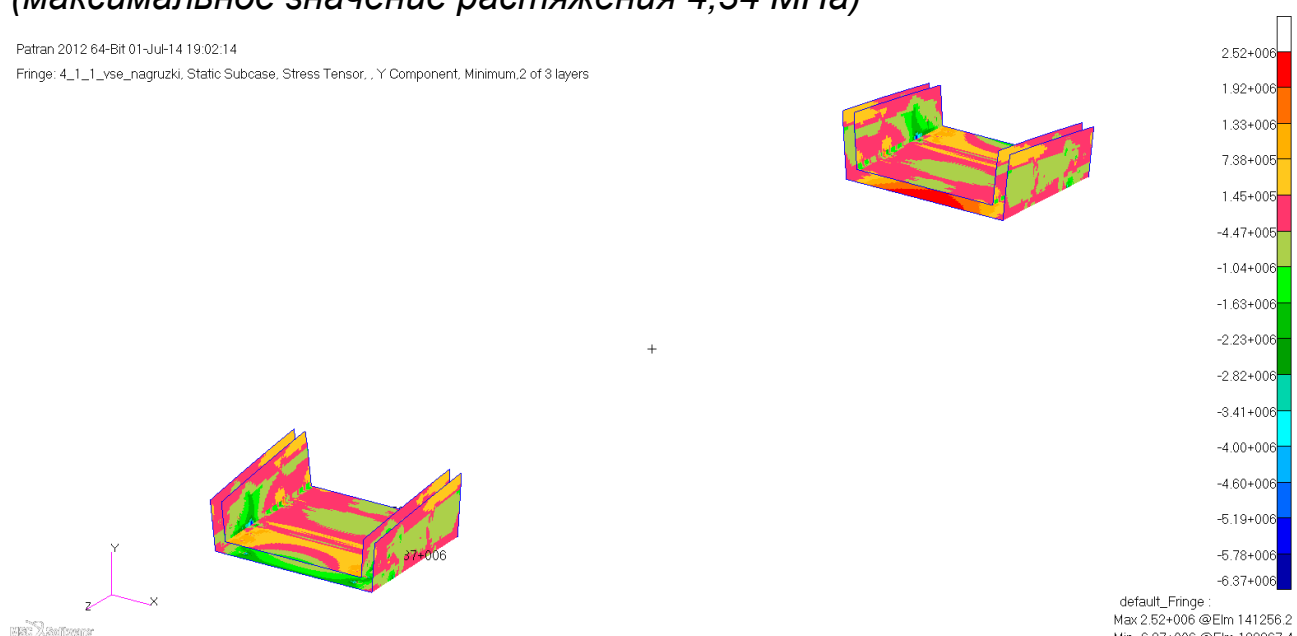


Рис. 4.9 - распределение нормальных напряжений в несущем слое композита СКК4 в направлении 90^0 ориентации материала (максимальное значение сжатия 6,37 МПа)

Инв. № подп	Подп. и дата	Инв. № дубл.	Взам. инв. №	Подп. и дата

Patran 2012 64-Bit 01-Jul-14 19:02:27
Fringe: 4_1_1_vse_nagruzki, Static Subcase, Stress Tensor, , XY Component, Maximum,2 of 3 layers

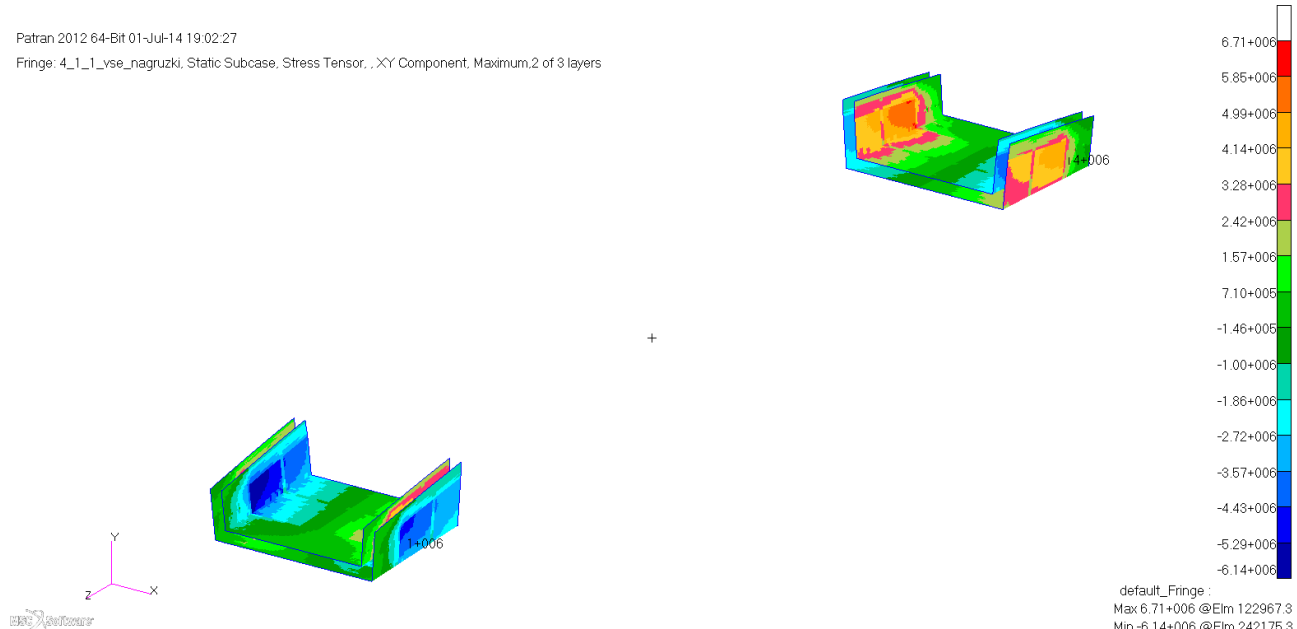


Рис. 4.10 - распределение сдвиговых напряжений в несущем слое композита СКК4 (максимальное значение 6,71 МПа)

Patran 2012 64-Bit 01-Jul-14 19:02:51
Fringe: 4_1_1_vse_nagruzki, Static Subcase, Stress Tensor, , X Component, Maximum,2 of 3 layers

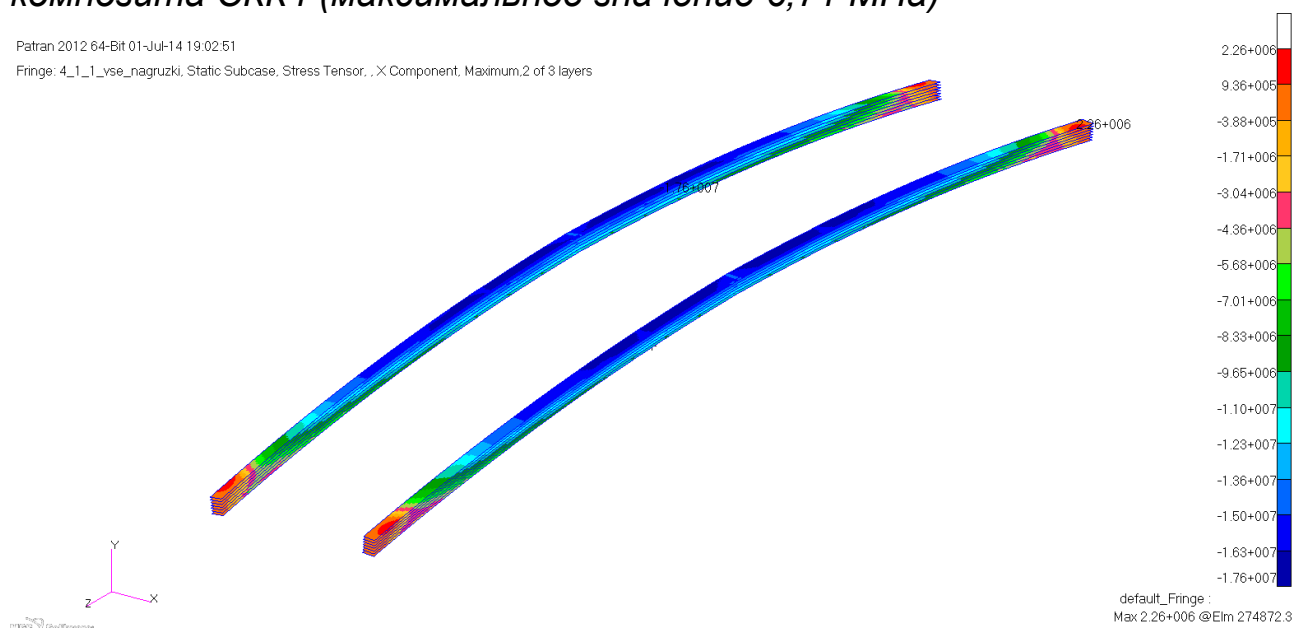


Рис. 4.11 - распределение нормальных напряжений в несущем слое композита СКК6 в направлении 0° ориентации материала (максимальное значение растяжения 2,26 МПа)

Инв. № подп	Подп. и дата	Инв. № дубл.	Взам. инв. №	Подп. и дата

Patran 2012 64-Bit 01-Jul-14 19:03:01
Fringe: 4_1_1_vse_nagruzki, Static Subcase, Stress Tensor, , X Component, Minimum,2 of 3 layers

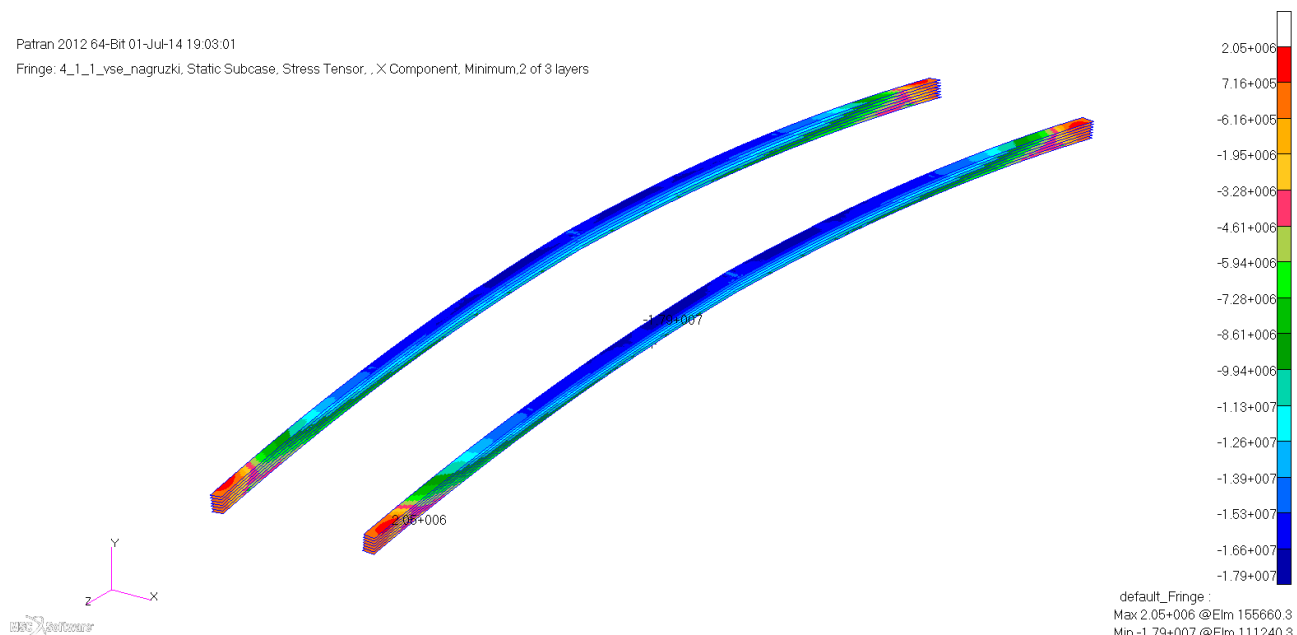


Рис. 4.12 - распределение нормальных напряжений в несущем слое композита СККб в направлении 0⁰ ориентации материала (максимальное значение сжатия 17,9 МПа)

Patran 2012 64-Bit 01-Jul-14 19:03:14
Fringe: 4_1_1_vse_nagruzki, Static Subcase, Stress Tensor, , Y Component, Maximum,2 of 3 layers



Рис. 4.13 - распределение нормальных напряжений в несущем слое композита СККб в направлении 90⁰ ориентации материала (максимальное значение растяжения 0,77 МПа)

Инв. № подп	Подп. и дата	Инв. № дубл.	Взам. инв. №	Подп. и дата

Patran 2012 64-Bit 01-Jul-14 19:03:23

Fringe: 4_1_1_vse_nagruzki, Static Subcase, Stress Tensor, Y Component, Minimum,2 of 3 layers

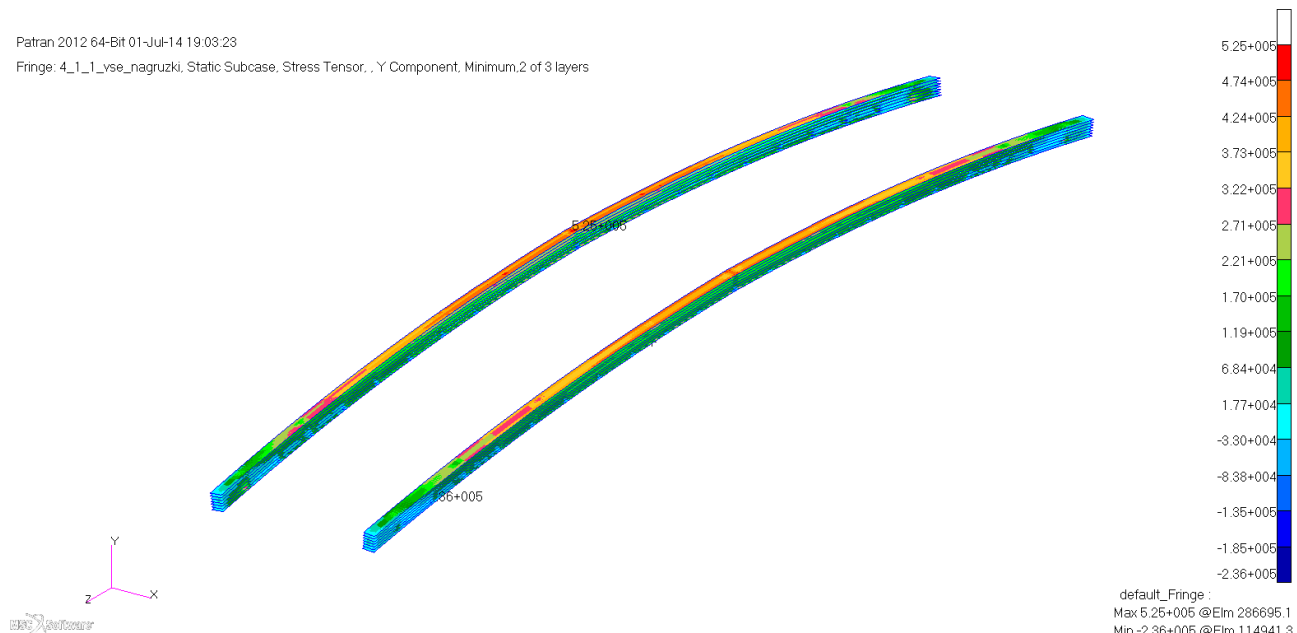


Рис. 4.14 - распределение нормальных напряжений в несущем слое композита СКК6 в направлении 90^0 ориентации материала (максимальное значение сжатия 0,24 МПа)

Patran 2012 64-Bit 01-Jul-14 19:03:33

Fringe: 4_1_1_vse_nagruzki, Static Subcase, Stress Tensor, XY Component, Maximum,2 of 3 layers

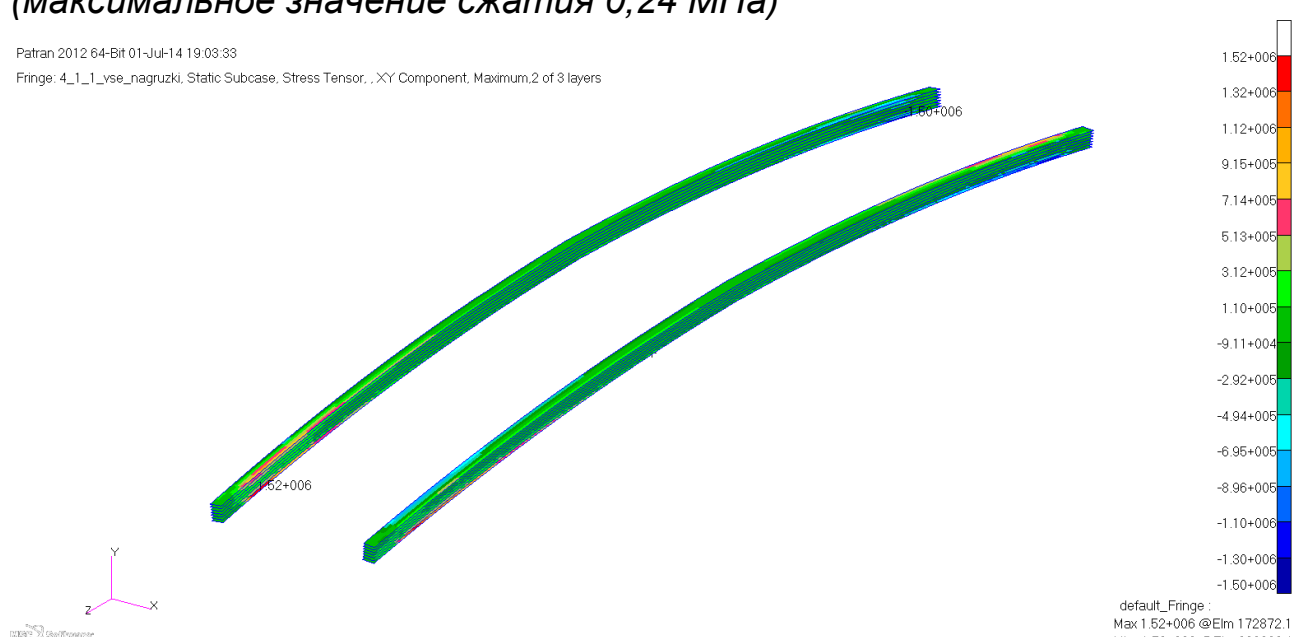


Рис. 4.15 - распределение сдвиговых напряжений в несущем слое композита СКК6 (максимальное значение 1,52 МПа)

Инв. № подп	Подп. и дата	Инв. № дубл.	Взам. инв. №	Подп. и дата

Patran 2012 64-Bit 01-Jul-14 19:03:49
Fringe: 4_1_1_vse_nagruzki, Static Subcase, Stress Tensor, , X Component, Maximum,2 of 3 layers

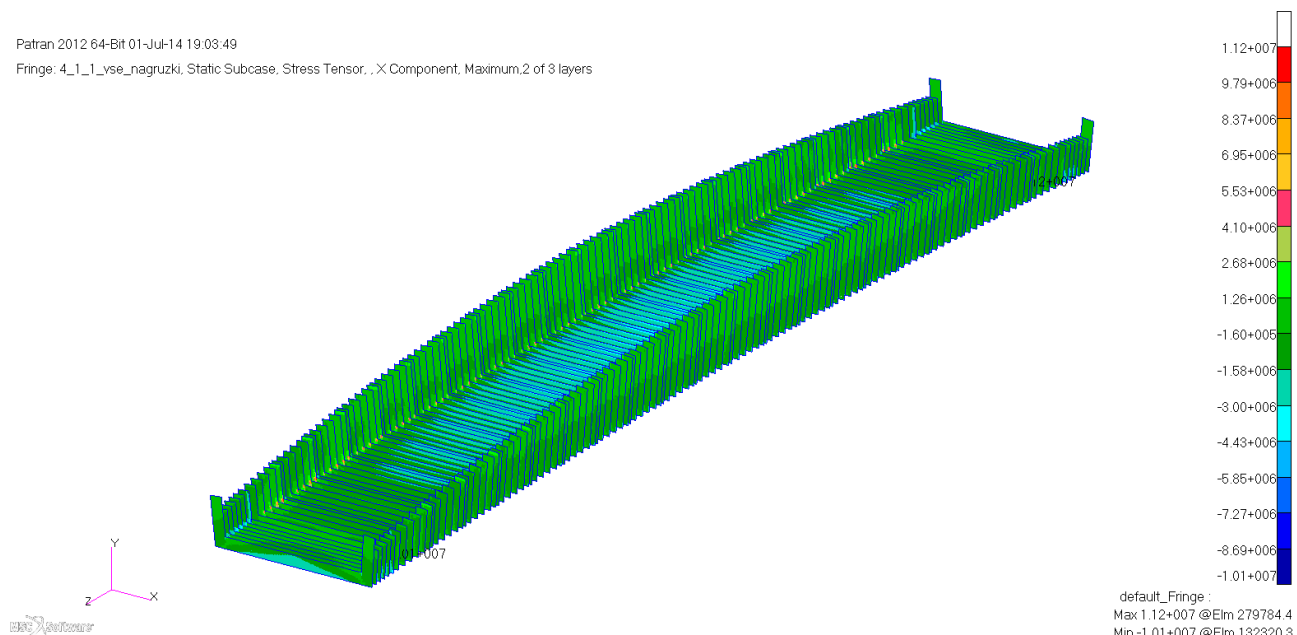


Рис. 4.16 - распределение нормальных напряжений в несущем слое композита TX-Combiflow-300-TX в направлении 0° ориентации материала (максимальное значение растяжения 11,2 МПа)

Patran 2012 64-Bit 01-Jul-14 19:04:00
Fringe: 4_1_1_vse_nagruzki, Static Subcase, Stress Tensor, , X Component, Minimum,2 of 3 layers

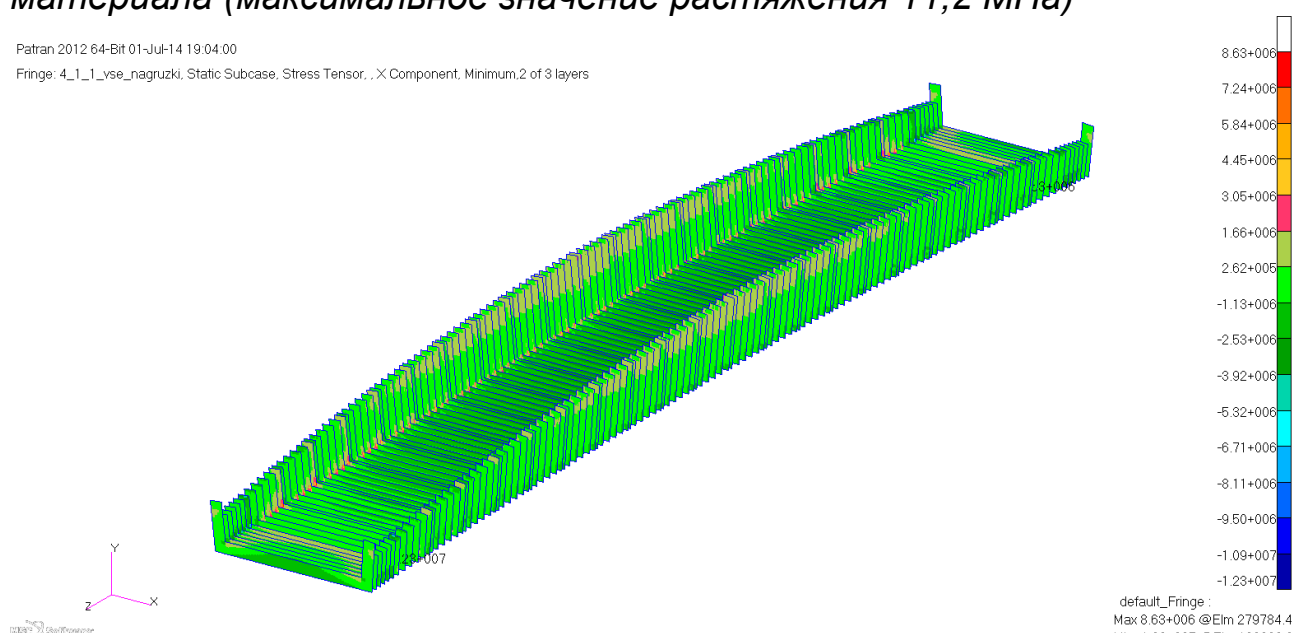


Рис. 4.17 - распределение нормальных напряжений в несущем слое композита TX-Combiflow-300-TX в направлении 0° ориентации материала (максимальное значение сжатия 12,3 МПа)

Инв. № подп	Подп. и дата	Инв. № дубл.	Взам. инв. №	Подп. и дата

Patran 2012 64-Bit 01-Jul-14 19:04:12
Fringe: 4_1_1_vse_nagruzki, Static Subcase, Stress Tensor, , Y Component, Maximum,2 of 3 layers

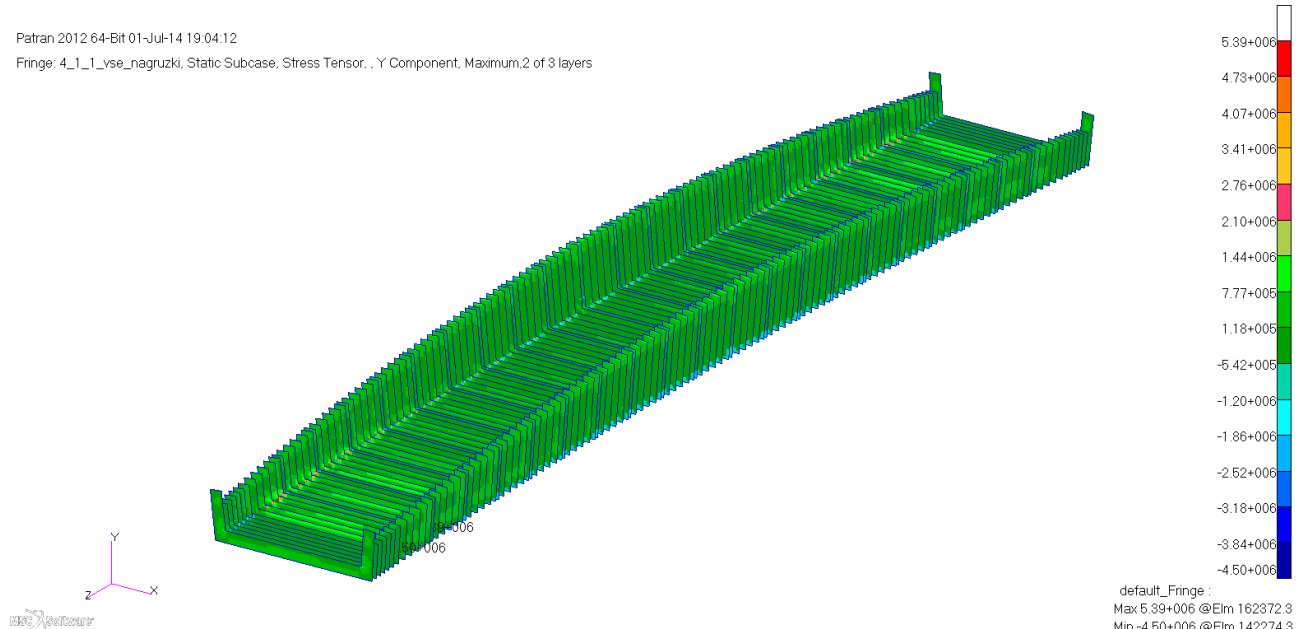


Рис. 4.18 - распределение нормальных напряжений в несущем слое композита TX-Combiflow-300-TX в направлении 90° ориентации материала (максимальное значение растяжения 5,39 МПа)

Patran 2012 64-Bit 01-Jul-14 19:04:22
Fringe: 4_1_1_vse_nagruzki, Static Subcase, Stress Tensor, , Y Component, Minimum,2 of 3 layers

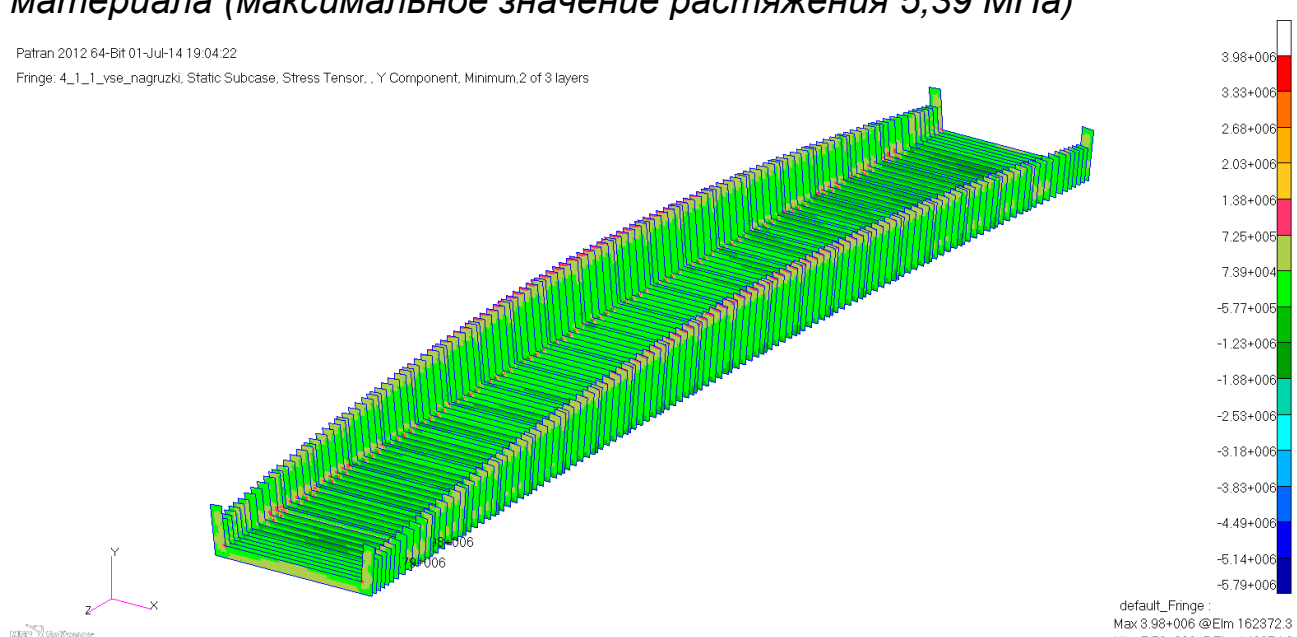


Рис. 4.19 - распределение нормальных напряжений в несущем слое композита TX-Combiflow-300-TX в направлении 90° ориентации материала (максимальное значение сжатия 5,79 МПа)

Инв. № подп	Подп. и дата	Инв. № дубл.	Взам. инв. №	Подп. и дата

Patran 2012 64-Bit 01-Jul-14 19:04:36
 Fringe: 4_1_1_vse_nagruzki, Static Subcase, Stress Tensor, XY Component, Maximum, 2 of 3 layers

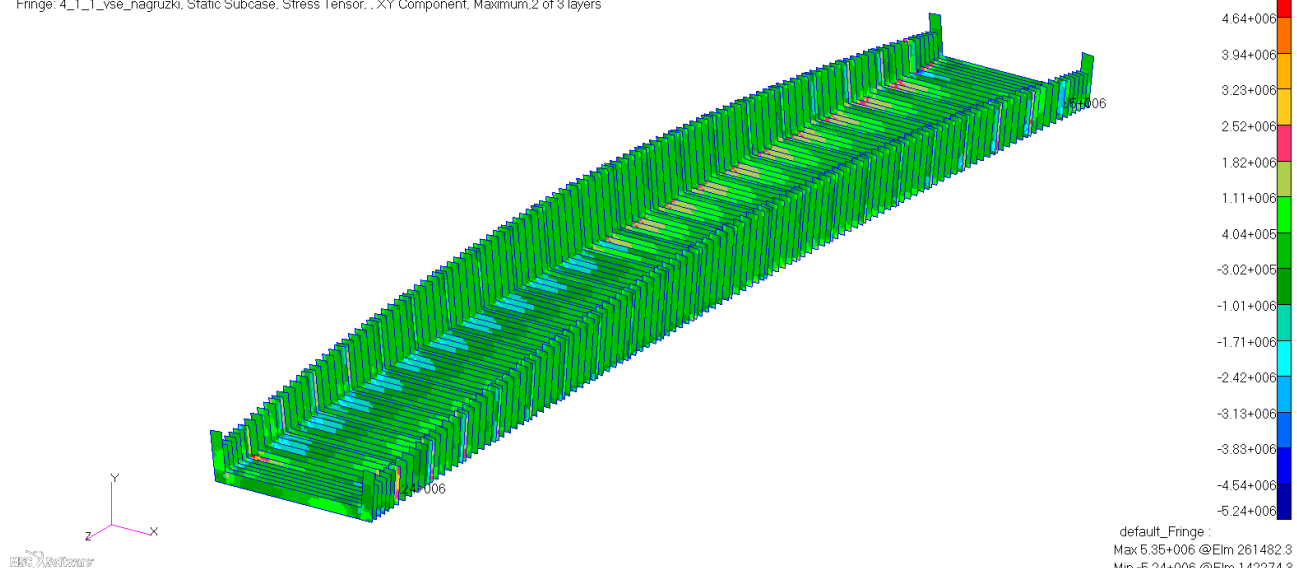


Рис. 4.20- распределение сдвиговых напряжений в несущем слое композита TX-Combiflow-300-TX (максимальное значение 5,35 МПа)

Patran 2012 64-Bit 01-Jul-14 19:05:07
 Fringe: 4_1_1_vse_nagruzki, Static Subcase, Stress Tensor, X Component, (NON-LAYERED)

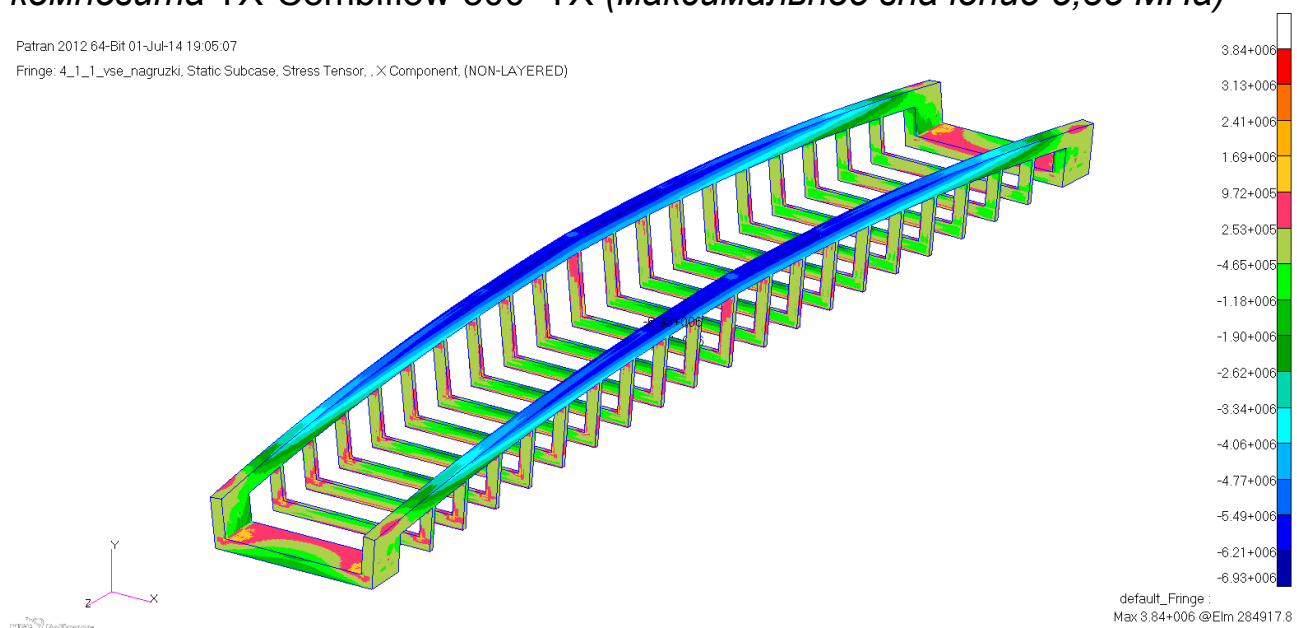


Рис. 4.21 - распределение нормальных напряжений в LVL-брюсе вдоль волокон (по осям X локальных СК ориентации материалов, максимальное значение растяжения 3,84 МПа, сжатия 6,93 МПа)

Инв. № подп	Подп. и дата	Инв. № дубл.	Взам. инв. №	Подп. и дата

Patran 2012 64-Bit 01-Jul-14 19:05:27
Fringe: 4_1_1_vse_nagruzki, Static Subcase, Stress Tensor, , Y Component, (NON-LAYERED)

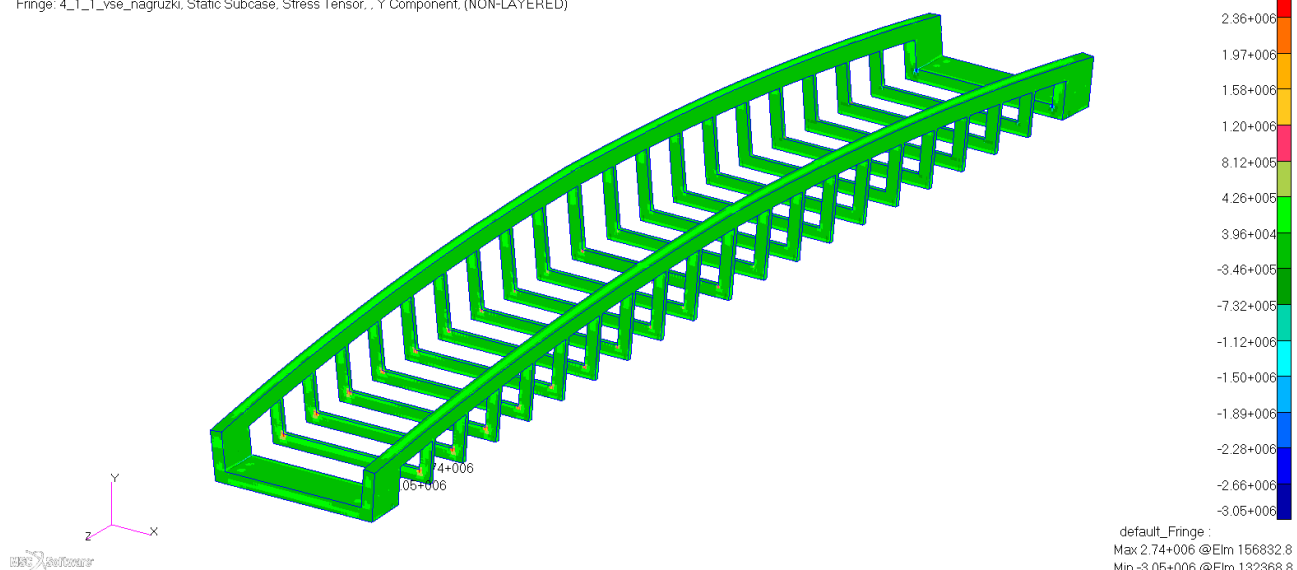


Рис. 4.22 - распределение нормальных напряжений в LVL-брусе поперек волокон (по осям Y локальных СК ориентации материалов, максимальное значение растяжения 2,74 МПа, сжатия 3,05 МПа)

Patran 2012 64-Bit 01-Jul-14 19:05:35
Fringe: 4_1_1_vse_nagruzki, Static Subcase, Stress Tensor, , Z Component, (NON-LAYERED)

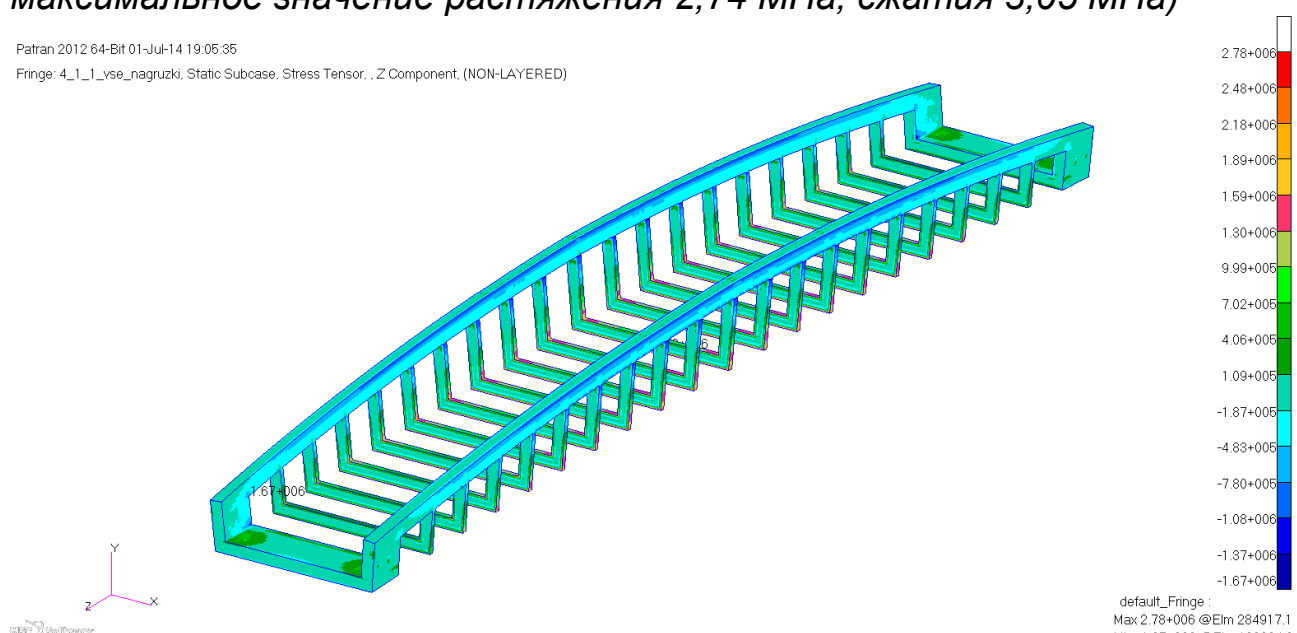


Рис. 4.23 - распределение нормальных напряжений в LVL-брусе поперек волокон (по осям Z локальных СК ориентации материалов, максимальное значение растяжения 2,78 МПа, сжатия 1,67 МПа)

Инв. № подп	Подп. и дата	Инв. № дубл.	Взам. инв. №	Подп. и дата

Patran 2012 64-Bit 01-Jul-14 19:05:43
Fringe: 4_1_1_vse_nagruzki, Static Subcase, Stress Tensor, XY Component, (NON-LAYERED)

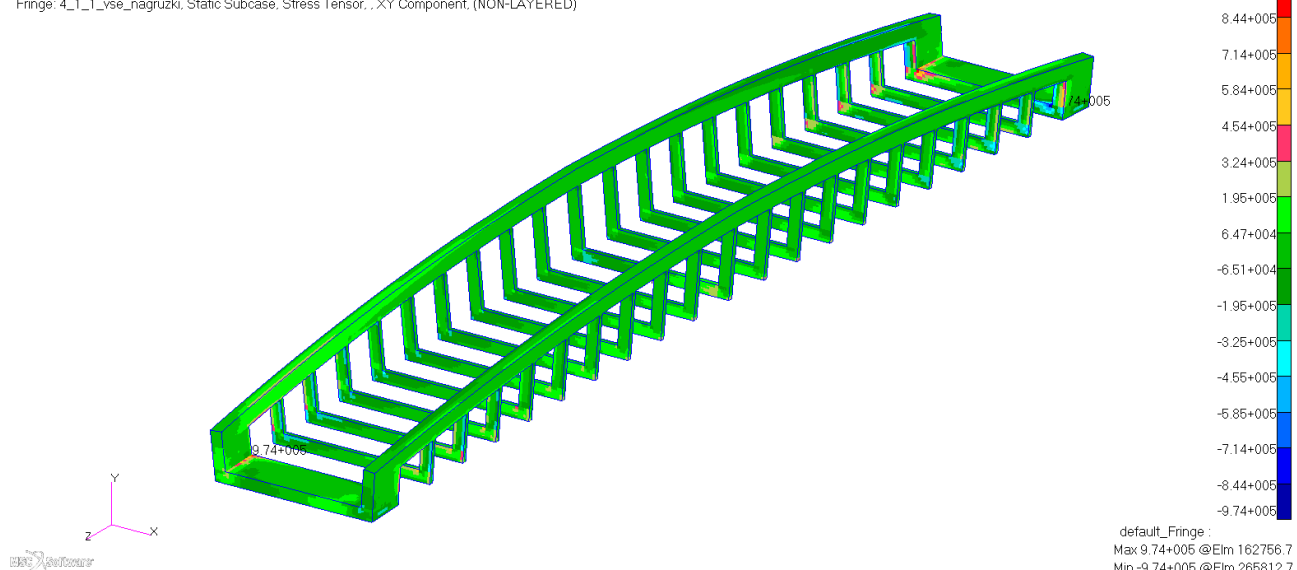


Рис. 4.24- распределение сдвиговых напряжений в LVL-брусе в плоскости XY локальных СК ориентации материалов (максимальное значение 9,74 МПа)

Patran 2012 64-Bit 01-Jul-14 19:05:50
Fringe: 4_1_1_vse_nagruzki, Static Subcase, Stress Tensor, YZ Component, (NON-LAYERED)

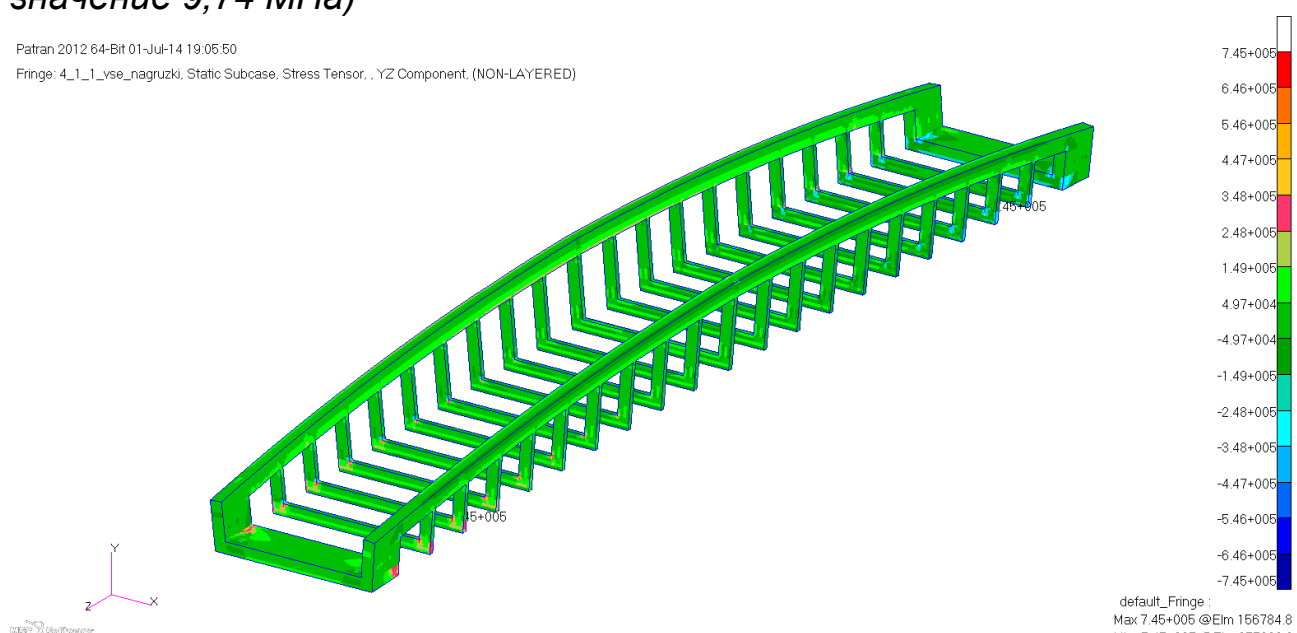


Рис. 4.25 - распределение сдвиговых напряжений в LVL-брусе в плоскости YZ локальных СК ориентации материалов (максимальное значение 0,75 МПа)

Инв. № подп	Подп. и дата	Инв. № дубл.	Взам. инв. №	Подп. и дата

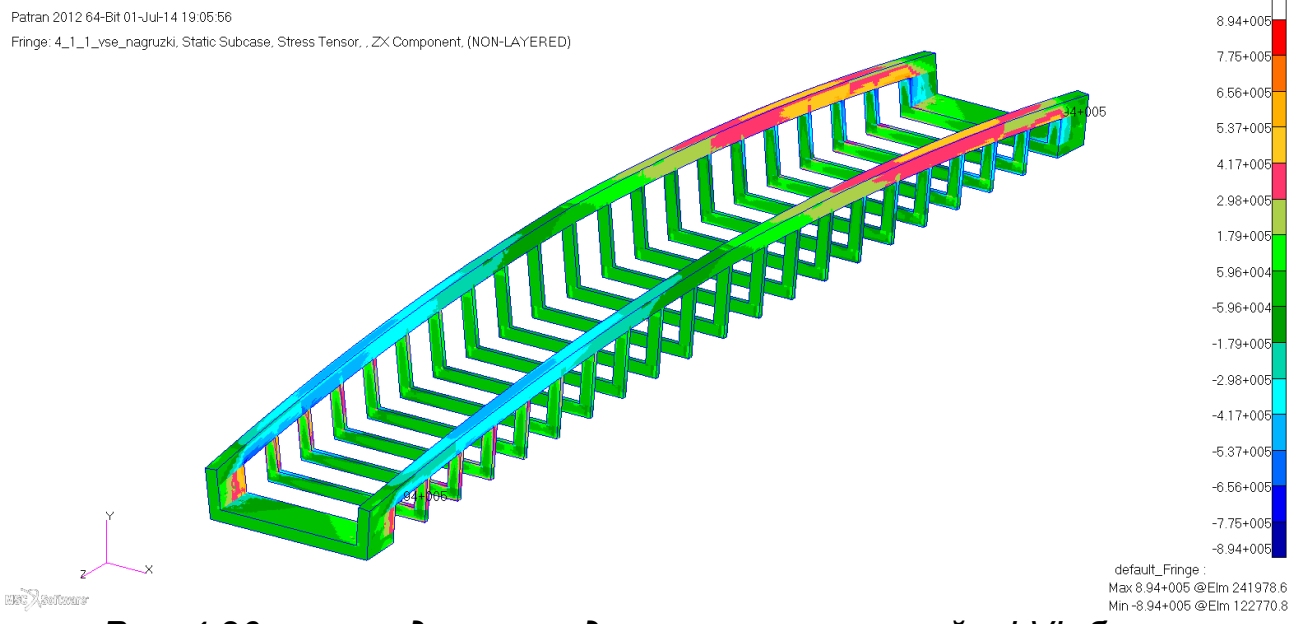


Рис. 4.26- распределение сдвиговых напряжений в LVL-брусе в плоскости ZX локальных СК ориентации материалов (максимальное значение 0,894 МПа)

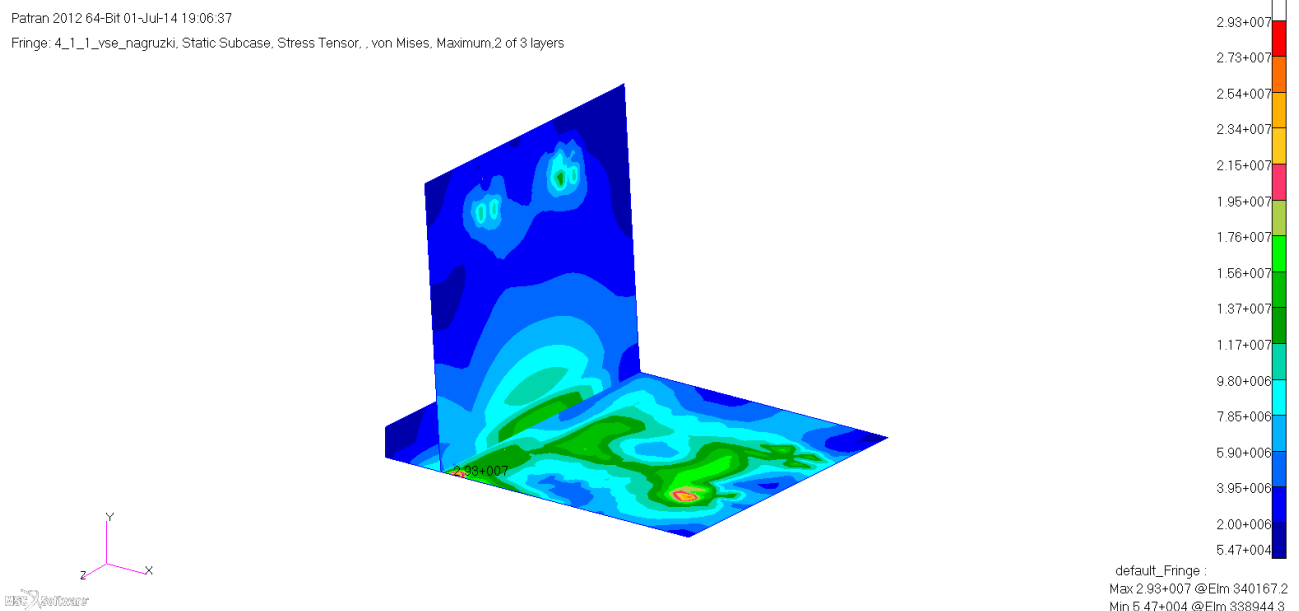


Рис. 4.27- распределение напряжений по Мизесу в металлических элементах (максимальное значение 29,3 МПа)

В таблице 4.1 приведены коэффициенты запаса прочности η для каждого элемента конструкции.

Инв. № подл	Подл. и дата	Инв. № дубл.	Взам. инв. №	Подл. и дата

Инв № подл	Подп. и дата	Взам. инв. №	Инв. № дубл.	Подп. и дата

Изм.	
Лист	
№ докум.	
Подп.	
Дата	

Табл. 4.1 Запасы прочности η каждого элемента конструкции пролетного строения для пешеходного путепровода.

Элемент конструкции	Растяжение						Сжатие						T	$[T]$	$\eta_{\sigma 90}$
	σ_0 , МПа	$[\sigma_0]$, МПа	$\eta_{\sigma 0}$	σ_{90} , МПа	$[\sigma_{90}]$, МПа	$\eta_{\sigma 90}$	σ_0 , МПа	$[\sigma_0]$, МПа	$\eta_{\sigma 0}$	σ_{90} , МПа	$[\sigma_{90}]$, МПа	$\eta_{\sigma 90}$			
СКК2	17.9	163	> 5	3.35	54	> 5	14.8	89	> 5	1.69	36	> 5	4.74	25	> 5
СКК4	8.86	107	> 5	4.34	68	> 5	6.55	60	> 5	6.37	47	> 5	6.71	38	> 5
СКК6	2.26	170	> 5	0.77	16	> 5	17.9	104	> 5	0.24	21	> 5	1.52	20	> 5
TX-Combiflow-300-TX	11.2	80	> 5	5.39	23	4,27	12.3	64	> 5	5.79	35	> 5	5.35	23	4,3
LVL-брус	3.84	27	> 5	2.78	6,7	2,41	6.93	27	3,9	3,05 Ребро 1,67 пласт	12 ребро 3,5 пласт	2,1	0,974 Вдоль 0,894 попер. слоев	3,9 вдоль слоев 1,7 попер. слоев	1.9
Сталь	$\eta > 5$														

*При условии, что слои LVL-брюса расположены в соответствии с рисунком 3.3.

НТЦ 0000.00.00.00.00

4.1.2. Прочность при действии нагрузки от остекления и снега

Предельное состояние		Nагрузка	Значение
Первое предельное состояние	Прочность	От остекления и снега	Собственный вес пролетного строения
			4,68 кН/м
			Остекление
			1,862 кН/м
			Перильные ограждения
			1,43 кН/м
			Покрытие
			0,18 кН/м ²
			Снеговая нагрузка
			2,52 кН/м ²

Результаты расчёта элементов конструкции пролетного строения для пешеходного путепровода приведены на рисунках 4.28- 4.54.

В таблице 4.2 приведены коэффициенты запаса прочности η для каждого элемента конструкции.

Инв. № подп	Подп. и дата	Инв. № дубл.	Взам. инв. №	Подп. и дата

Ли	Изм.	№ докум.	Подп.	Дат

НТЦ 0000.00.00.000

Лист

39

Инв № подл	Подп. и дата	Взам. инв. №	Инв. № дубл.	Подп. и дата

Изм.	
Лист	
№ докум.	
Подп.	
Дата	

Табл. 4.2 Запасы прочности η каждого элемента конструкции пролетного строения для пешеходного путепровода.

Элемент конструкции	Растяжение						Сжатие						T	$[T]$	$\eta_{\tau 90}$
	σ_0 , МПа	$[\sigma_0]$, МПа	$\eta_{\sigma 0}$	σ_{90} , МПа	$[\sigma_{90}]$, МПа	$\eta_{\sigma 90}$	σ_0 , МПа	$[\sigma_0]$, МПа	$\eta_{\sigma 0}$	σ_{90} , МПа	$[\sigma_{90}]$, МПа	$\eta_{\sigma 90}$			
СКК2	10.1	163	> 5	1.92	54	> 5	8.48	89	> 5	0.69	36	> 5	2.66	25	> 5
СКК4	4.84	107	> 5	2.73	68	> 5	3.7	60	> 5	3.31	47	> 5	3.75	38	> 5
СКК6	1.19	170	> 5	0.45	16	> 5	10.2	104	> 5	0.12	21	> 5	0.87	20	> 5
TX-Combiflow-300-TX	6.46	80	> 5	3.1	23	> 5	6.49	64	> 5	3.04	35	> 5	3.07	23	> 5
LVL-брус	2.14	27	> 5	1.62	6,7	4,14	3.96	27	> 5	1,58 Ребро 0,948 пласт	12 ребро 3,5 пласт	3,69	0,563 Вдоль 0,506 попер. слой	3,9 вдоль слоев 1,7 попер. слой	3,36
Сталь	$\eta > 5$														

*При условии, что слои LVL-брюса расположены в соответствии с рисунком 3.3.

4.1.3. Прочность при действии пешеходной нагрузки

Предельное состояние		Nагрузка	Значение
Первое предельное состояние	Прочность	Собственный вес пролетного строения	4,68 кН/м
		Покрытие	0,18 кН/м ²
		Временная нагрузка от пешеходов	5,6 кН/м ²

Результаты расчёта элементов конструкции пролетного строения для пешеходного путепровода

Инв. № подп	Подп. и дата	Инв. № дубл.	Взам. инв. №	Подп. и дата

Ли	Изм.	№ докум.	Подп.	Дат

НТЦ 0000.00.00.000

Лист

41

Инв № подл	Подп. и дата	Взам. инв. №	Инв. № дубл.	Подп. и дата

Изв.		
Лист		
№ докум.		
Подп.		
Дата		

НТЦ 0000.00.00.00.00

Табл. 4.3 Запасы прочности η каждого элемента конструкции пролетного строения для пешеходного путепровода.

Элемент конструкции	Растяжение						Сжатие						T	$[T]$	$\eta_{\sigma 90}$
	σ_0 , МПа	$[\sigma_0]$, МПа	$\eta_{\sigma 0}$	σ_{90} , МПа	$[\sigma_{90}]$, МПа	$\eta_{\sigma 90}$	σ_0 , МПа	$[\sigma_0]$, МПа	$\eta_{\sigma 0}$	σ_{90} , МПа	$[\sigma_{90}]$, МПа	$\eta_{\sigma 90}$			
СКК2	11.30	163	> 5	2.65	54	> 5	9.12	89	> 5	1.73	36	> 5	2.95	25	> 5
СКК4	5.97	107	> 5	2.77	68	> 5	4.05	60	> 5	4.23	47	> 5	4.18	38	> 5
СКК6	1.46	170	> 5	0.46	16	> 5	11	104	> 5	0.16	21	> 5	0.93	20	> 5
TX- Combiflow- 300-TX	6.95	80	> 5	3.3	23	> 5	8.04	64	> 5	3.79	35	> 5	3.24	23	> 5
LVL-брус	3.31	27	> 5	1.94	6,7	3,45	4.25	27	> 5	2,02 ребро 1,02 пласт	13 ребро 3,5 пласт	3,43	0,586 вдоль 0,551 попер. сло ев	3,9 вдоль слоев 1,7 попер.сло ев	3,09
Сталь	$\eta > 5$														

*При условии, что слои LVL-брюса расположены в соответствии с рисунком 3.3.

4.1.4. Прочность при действии сосредоточенной нагрузки

Предельное состояние		Nагрузка	Значение
Первое предельное состояние	Прочность	Сосредоточенное давление	4,8 кН

В данном случае локальная прочность конструкции пролетного строения для пешеходного путепровода определяется запасом прочности пенополиуретанового заполнителя. Предельное значение запаса прочности по напряжению составляет 0,45 МПа. При расчётом значении равном $\sigma = \frac{F}{s} = \frac{4,8 \text{ кН}}{0,15 \cdot 0,1 \text{ м}^2} = \frac{4800 \text{ Н}}{0,015 \text{ м}^2} = 0,32 \text{ МПа}$, запас прочности составляет $k = \frac{0,45}{0,32} = 1,4$.

4.2. Устойчивость

Предельное состояние		Nагрузка	Значение
Первое предельное состояние	Устойчивость	Собственный вес несущей конструкции	4,68 кН/м
		Нагрузка от остекления	1,862 кН/м
		Нагрузка от перил	1,43 кН/м
		Нагрузка от веса покрытия ($\delta = 8\text{мм}$)	0,18 кН/м ²
		Временная нагрузка на пешеходный мост от пешеходов (п. 6.21 СП 35.13330-2011)	5,6 кН/м ²
		Снеговая нагрузка	2,52 кН/м ²

Форма потери устойчивости конструкции пролетного строения для пешеходного путепровода приведена на рис. 4.36. В расчетной модели не учитывается жёсткость пенополиуретанового заполнителя, что обеспечивает консервативную оценку коэффициента запаса по устойчивости. Полученная в расчете форма потери устойчивости соответствует минимальной критической силе. Запас по устойчивости составляет 7,7.

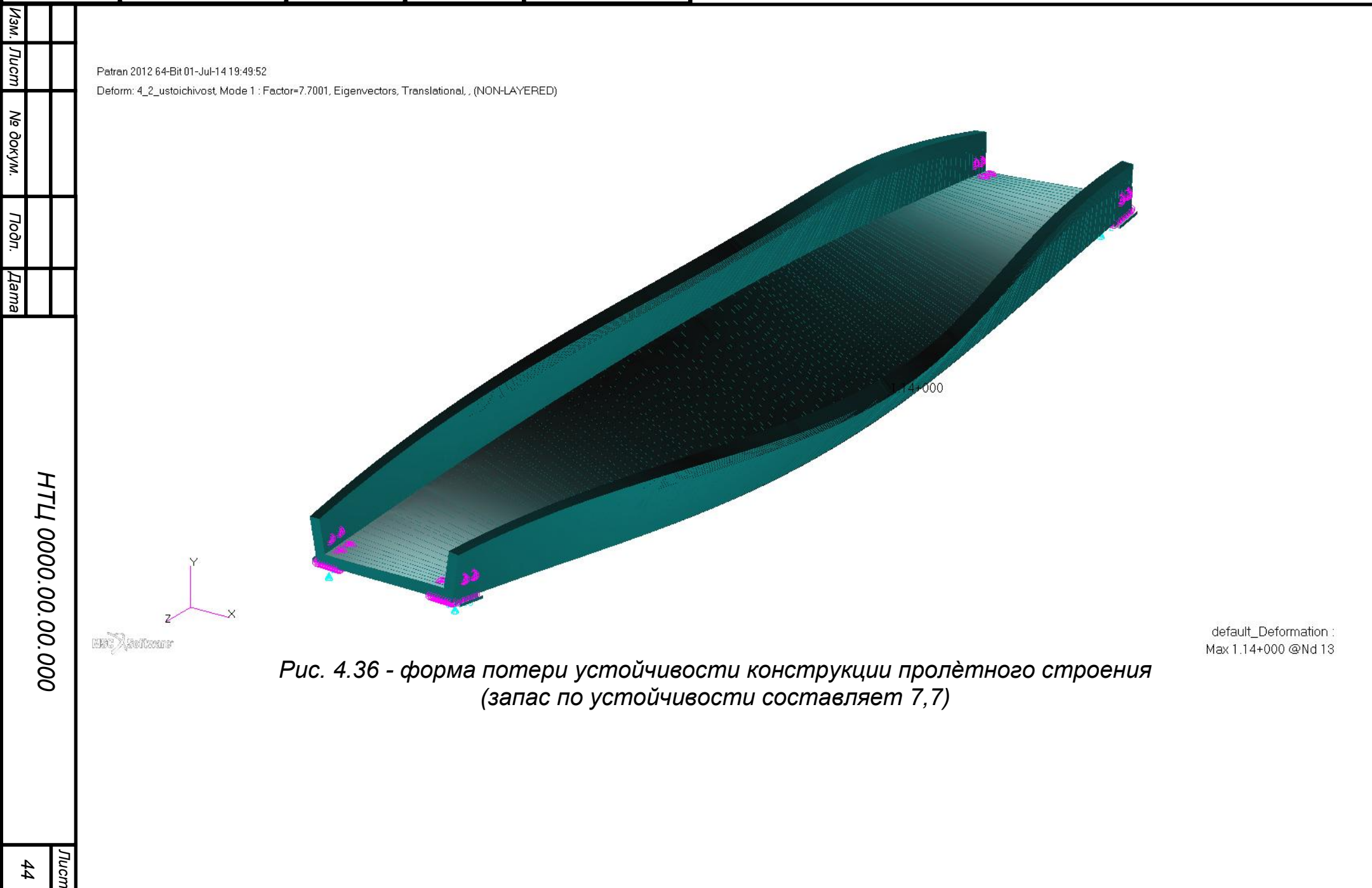
Инв. № подп	Подп. и дата	Инв. № дубл.	Взам. инв. №	Подп. и дата

Ли	Изм.	№ докум.	Подп.	Дат

НТЦ 0000.00.00.000

Лист

Инв № подл	Подп. и дата	Взам. инв. №	Инв. № дубл.	Подп. и дата



4.3. Выносливость

Предельное состояние		Нагрузка	Значение
Первое предельное состояние	Выносливость	Временная нагрузка от пешеходов	5,6 кН/м ²
		Снеговая нагрузка	2,52 кН/м ²

На рис. 4.37 приводится распределение максимальных нормальных напряжений вдоль оси пролетного строения.

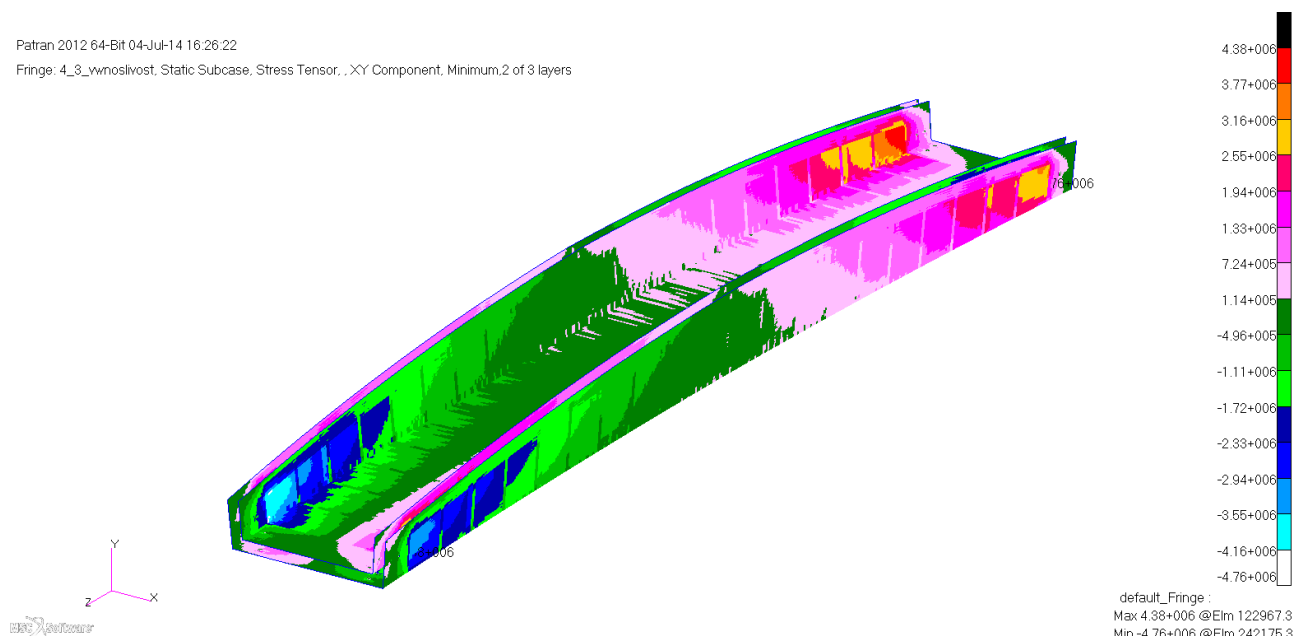


Рис. 4.37 - распределение напряжений вдоль оси пролётного строения (максимальное значение растяжения 12,7 МПа; максимальное значение сжатия 10,5 МПа, сдвиг 4,76 МПа)

Ресурс конструкции пролётного строения для пешеходного путепровода на предельное количество циклов нагружения вычисляется по формуле:

$$N = k^9$$

где $k = \frac{[\sigma]}{\sigma_{\text{расч}}} = \frac{37,32}{4,76} = 7,84$ - запас прочности.

Расчётное количество циклов составляет $N = k^9 = 7,84^9 = 111,9 \cdot 10^6$ - циклов. Допустимое количество циклов нагружения составляет $[N] = 2 \cdot 10^6$ циклов. Запас по выносливости составляет $k_N = \frac{N}{[N]} = \frac{111,9 \cdot 10^6}{2 \cdot 10^6} = 55,95$.

Инв. № подп	Подп. и дата	Инв. № дубл.	Взам. инв. №	Подп. и дата

Ли	Изм.	№ докум.	Подп.	Дат

4.4. Прогиб

4.4.1. Прогиб от собственного веса

Предельное состояние		Нагрузка		Значение
Второе предельное состояние	Прогиб от:	собственного веса	Собственный вес пролетного строения	4,255 кН/м

На рис. 4.38 показаны прогибы расчетной модели конструкции пролетного строения для пешеходного путепровода от действия собственного веса.

Pelton 2012 64-Bit 03-Jul-14 14:31:36
Deform: 4_4_1_wes_sobstv, Static Subcase, Displacements, Translational, (NON-LAYERED)

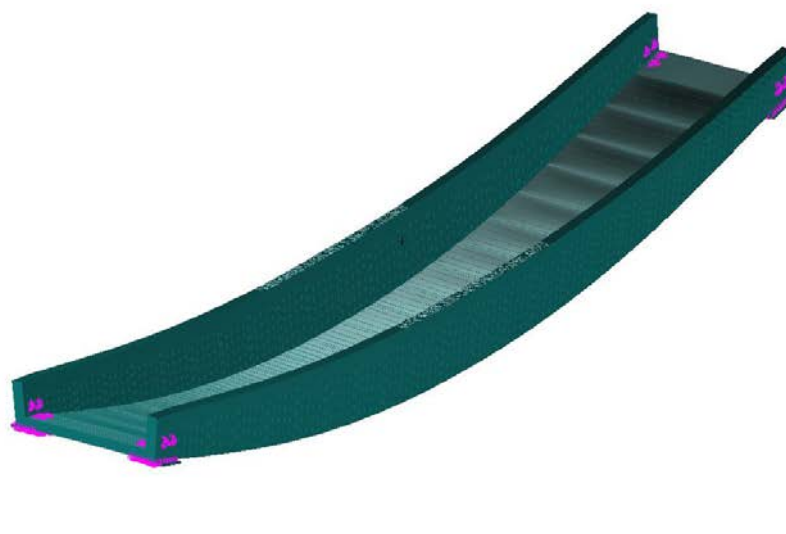


Рис. 4.38 - Форма и значения прогиба мостового пролёта (максимальное значение 10.5 мм)

Прогиб от собственного веса составляет 10.5 мм.

Инв. № подп	Подп. и дата	Инв. № дубл.	Взам. инв. №	Подп. и дата

Ли	Изм.	№ докум.	Подп.	Дат

НТЦ 0000.00.00.000

Лист

4.4.2. Прогиб от суммарных нагрузок

Предельное состояние			Нагрузка	Значение
Второе предельное состояние	Прогиб от:	Суммарного веса	Собственный вес пролетного строения	4,255 кН/м
			Остекление	1,693 кН/м
			Перильные ограждения	1,3 кН/м
			Покрытие	0,12 кН/м ²
			Временная нагрузка от пешеходов	4,0 кН/м ²
			Снеговая нагрузка	1,8 кН/м ²

На рис. 4.39 показан деформированный вид расчетной модели конструкции пролетного строения для пешеходного путепровода от действия суммарных нормативных нагрузок.

Patran 2012 64-Bit 03-Jul-14 14:32:35
Deform: 4_4_2_use_nagruzki; Static Subcase, Displacements, Translational, (NON-LAYERED)

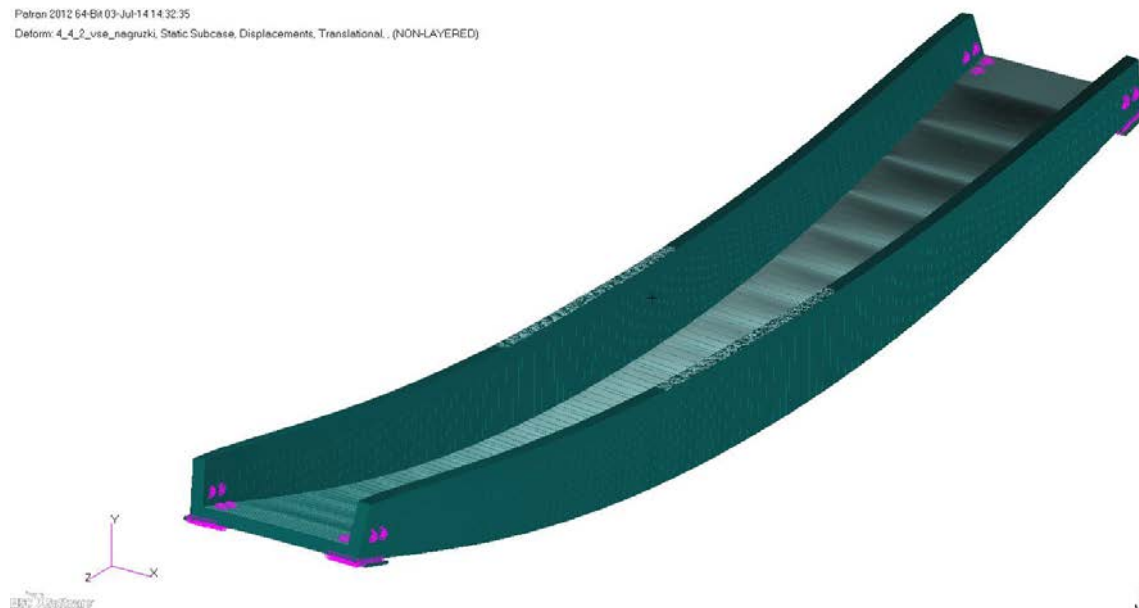


Рис. 4.39 - Форма и значения прогиба мостового пролёта (максимальное значение 56.8 мм)

Прогиб от суммарных нормативных нагрузок составляет 56.8 мм, что значительно меньше выбранного строительного подъема 169 мм.

Инв. № подп	Подп. и дата	Инв. № дубл.	Взам. инв. №	Подп. и дата

Ли	Изм.	№ докум.	Подп.	Дат

НТЦ 0000.00.00.000

Лист

4.4.3. Прогиб от подвижной (пешеходной) нагрузки

Предельное состояние			Нагрузка	Значение
Второе предельное состояние	Прогиб от:	От пешеходной нагрузки	Временная нагрузка на пешеходный мост от пешеходов (п. 6.21 СП 35.13330-2011)	4.0 кН/м ²

На рис. 4.40 показаны прогибы конструкции пролетного строения для пешеходного путепровода от воздействия нормативной подвижной (пешеходной) нагрузки.

Pelton 2012 64-Bit 03-Jul-14 14:37:11
Deform: 4_4_3_prog_pesh; Static Subcase, Displacements, Translational, (NON-LAYERED)

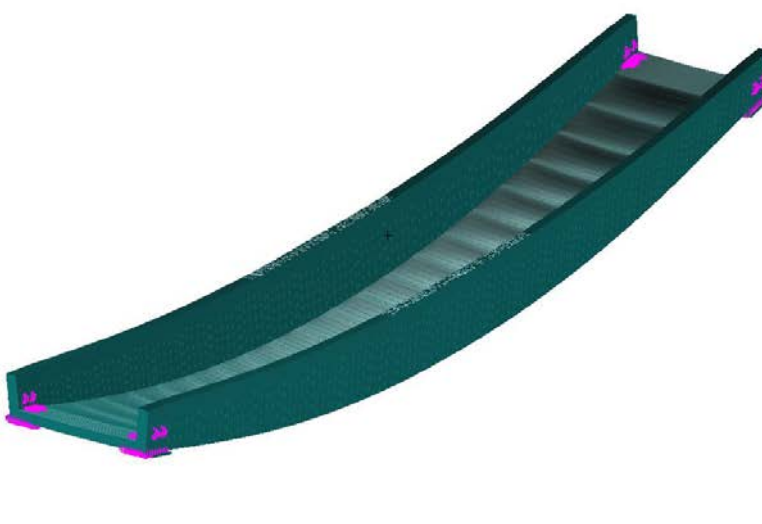


Рис. 4.40 - Форма и значения прогиба мостового пролёта (максимальное значение 18.3 мм)

Прогиб пролетного строения из композиционных материалов от подвижной нормативной пешеходной нагрузки составляет 18.3 мм, что меньше допустимой величины 45 мм (1/400 от расчетной длины пролета п.п. 5.43 СП 35.13330-2011).

Инв. № подп	Подп. и дата	Инв. № дубл.	Взам. инв. №	Подп. и дата

Ли	Изм.	№ докум.	Подп.	Дат

НТЦ 0000.00.00.000

Лист

4.5. Собственные частоты колебаний

4.5.1. Собственные частоты колебаний с учётом понижения физико-механических свойств материала в процессе эксплуатации

Предельное состояние	Дополнительная масса	Значение
Второе предельное состояние	Собственная частота колебаний	Масса пешеходов
		50 кг/м ²

Форма первой собственной частоты конструкции пролетного строения для пешеходного путепровода показана на рисунке 4.41.

Petrax 2012 64-Bit 02-Jul-14 14:38:25
Deform: 4_5_A4.Mode 1: Freq = 4.3592, Eigenvectors, Translational, (NON-LAYERED)



Рис. 4.41 - первая форма собственных колебаний, собственная частота – 4,3592 Гц

Низшая собственная частота для конструкции с учетом снижения свойств материала в процессе эксплуатации и с учетом массы пешеходов 50 кг/м² составляет 4,3592 Гц, период 0,23 с. Данная величина находится вне границ запрещенного СП диапазона (от 0,45 до 0,6 с) п.п.5.48 СП 35.13330.2011.

Инв. № подп	Подп. и дата	Инв. № дубл.	Взам. инв. №	Подп. и дата

Ли	Изм.	№ докум.	Подп.	Дат

НТЦ 0000.00.00.000

Лист

4.5.2. Собственные частоты колебаний с учётом снижения физико-механических свойств материала без нагрузки

Предельное состояние	Дополнительная масса	Значение
Второе предельное состояние	Собственная частота колебаний	-
		-

Форма первой собственной частоты конструкции пролетного строения для пешеходного путепровода показана на рисунке 4.42.

Polaris 2012 64-Bit 02-Jul-14 14:39:18
Deform: 4_5, Mode 1 Freq.=4.6594, Eigenvectors, Translational, (NON-LAYERED)



Рис. 4.42 - первая форма собственных колебаний, собственная частота – 4,6594 Гц

Низшая собственная частота для конструкции с пониженными свойствами материала, без учета массы пешеходов составляет 4,6594 Гц, период 0,21 с.

Инв. № подп	Подп. и дата	Инв. № дубл.	Взам. инв. №	Подп. и дата

Ли	Изм.	№ докум.	Подп.	Дат

НТЦ 0000.00.00.000

Лист

4.5.3. Собственные частоты колебаний при номинальных значениях физико-механических свойств

Форма первой собственной частоты конструкции пролетного строения для пешеходного путепровода показана на рисунке 4.43.

Предельное состояние		Дополнительная масса	Значение
Второе предельное состояние	Собственная частота колебаний	Масса пешеходов	50 кг/м ²

Polaris 2012 64-Bit 02-Jul-14 14:40:51
Deform: 4_5, A4 Mode 1 : Freq = 4.9456, Eigenvectors, Translational, (NON-LAYERED)

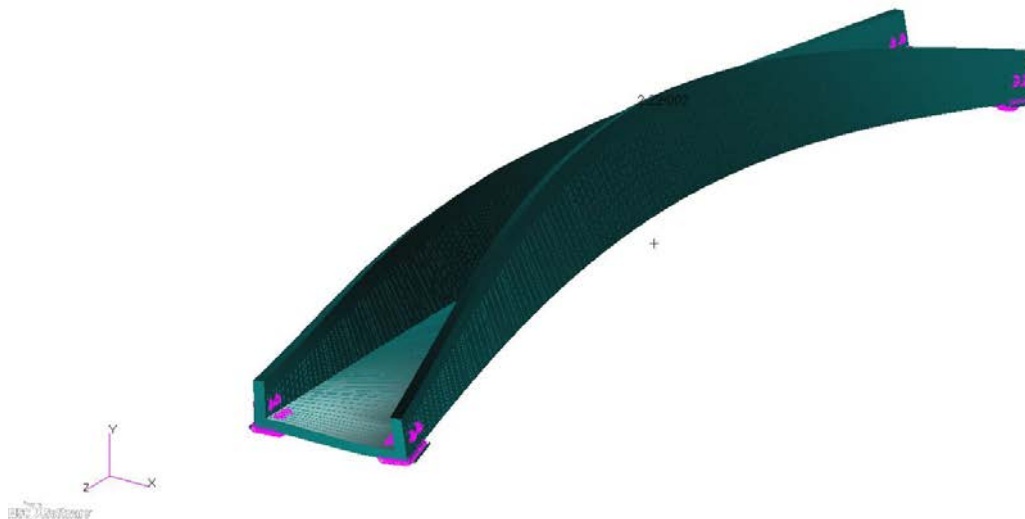


Рис. 4.43 - первая форма собственных колебаний, собственная частота – 4,9456 Гц

Низшая собственная частота для конструкции с нормативными свойствами материала и с учетом массы пешеходов 50 кг/м² составляет 4,9456 Гц, период 0,2 с.

Инв. № подп	Подп. и дата	Инв. № дубл.	Взам. инв. №	Подп. и дата

Ли	Изм.	№ докум.	Подп.	Дат

НТЦ 0000.00.00.000

Лист

4.6. Расчёт усилий в точках крепления от ветровых нагрузок

Предельное состояние			Нагрузка	Значение
Первое предельное состояние	Усилия в опорах от ветровой нагрузки		Собственный вес пролетного строения	3,829 кН/м
			Остекление	1,524 кН/м
			Перильные ограждения	1,17 кН/м
			Покрытие	0,11 кН/м ²
			Ветровая нагрузка	1,4 кН/м ²

Для расчета усилий в точках крепления конструкции пролетного строения для пешеходного путепровода от ветровых нагрузок была создана динамическая модель, учитывающая пульсацию ветровых нагрузок в диапазоне от 0 до 10 Гц.

Границы значений ветрового давления $\pm 1,4 \text{ кН/м}^2$ выбирались из наихудшей комбинации направления ветров - предполагалось, что противоположные по направлениям порывы ветра поочередно воздействуют на конструкцию.

В КЭ модели учтены массы пролёта, остекления, перил и напольного покрытия.

В таблице 4.6.1 приводятся массовые характеристики по КЭМ.

Масса пролёта с ППУ	7806 кг
Масса остекления	3105 кг
Масса покрытия	940 кг
Масса перил	2385 кг
ИТОГО	14240 кг

Табл. 4.6.1 - массовые характеристики по КЭМ.

Конечно-элементная модель для расчёта усилий в точках крепления от ветровых нагрузок показана на рисунке 4.6.1.

Сдвиговые усилия в точках крепления от ровного (без изменения направления) бокового ветра показаны на рис. 4.6.2. Значение 4.91 тс.

Усилия на вырыв в точках крепления от ровного (без изменения направления) бокового ветра показаны на рис. 4.6.3. Значение 4.99 тс (с учетом компенсации от собственного веса 1.786 тс).

Инв. № подп	Подп. и дата	Инв. № дубл.	Взам. инв. №	Подп. и дата

Ли	Изм.	№ докум.	Подп.	Дат

НТЦ 0000.00.00.000

Лист

Сдвиговые усилия в точках крепления от порывистого (изменяющегося по направлению) ветра показаны на рис. 4.6.4. Значение 27.52 тс.

Усилия на вырыв в точках крепления от порывистого (изменяющегося по направлению) ветра показаны на рис. 4.6.5. Значение 26.5 тс (с учетом компенсации от собственного веса 23.296 тс).

Patran 2012 64-Bit 02-Jul-14 17:34:44
Deform: 5_Veter. Static Subcase. Displacements. Translational. (NON-LAYERED)

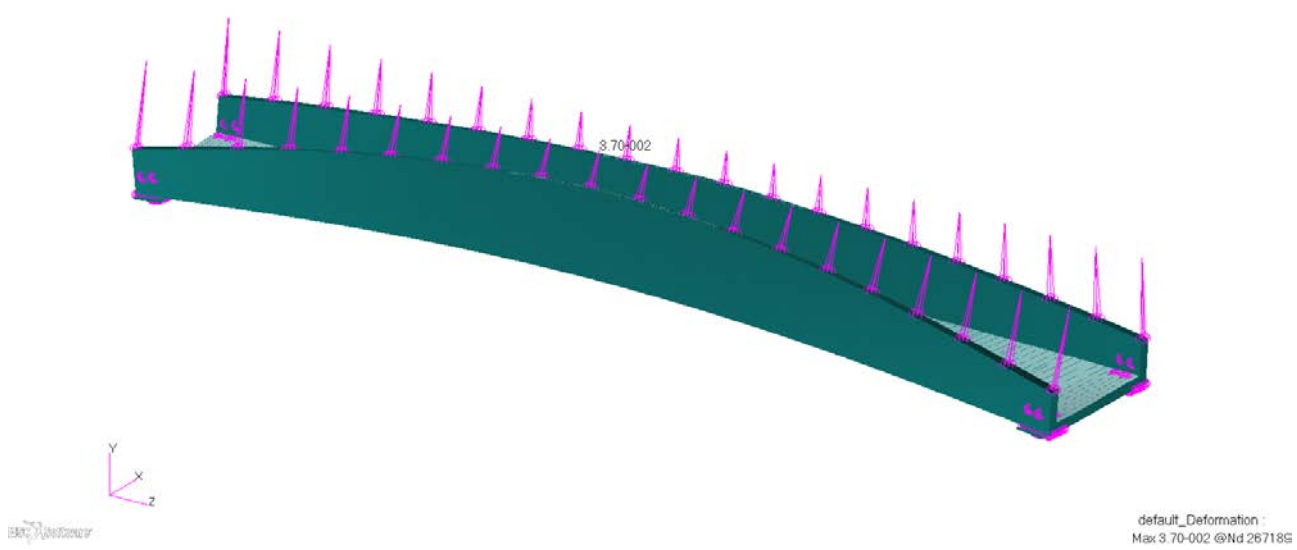


Рис. 4.6.1. Конечно-элементная модель для расчёта усилий в точках крепления от ветровых нагрузок.

Инв. № подп	Подп. и дата	Инв. № дубл.	Взам. инв. №	Подп. и дата

Ли	Изм.	№ докум.	Подп.	Дат

НТЦ 0000.00.00.000

Лист

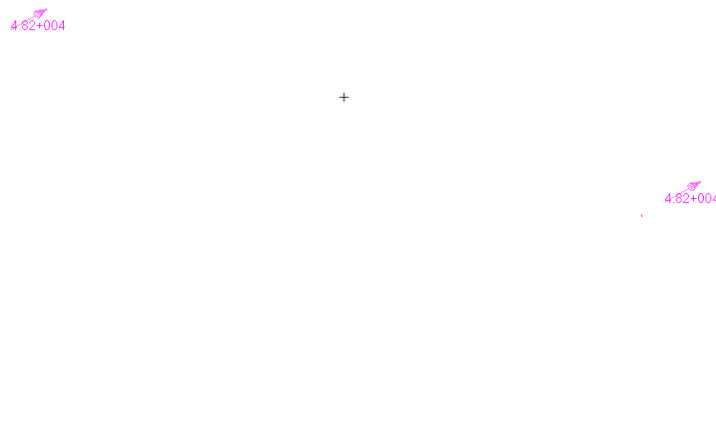


Рис. 4.6.2. Сдвиговые усилия в точках крепления от ровного (без изменения направления) бокового ветра.

Максимальное сдвиговое усилие в точке крепления 4,91 тс.

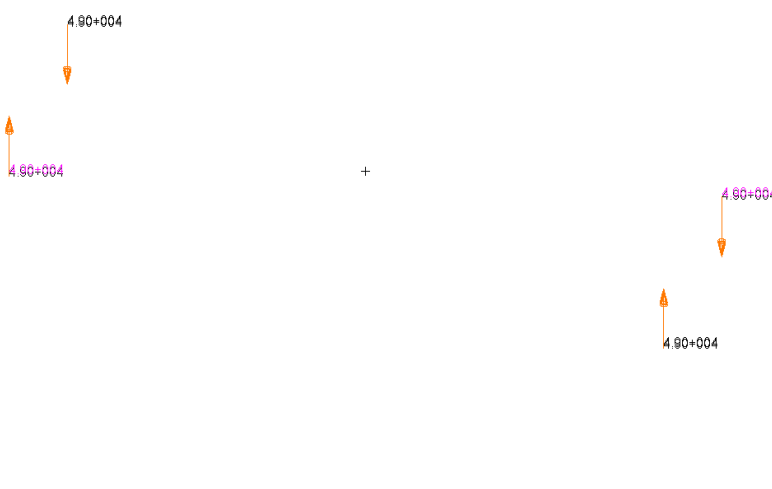


Рис. 4.6.3. Усилия на вырыв в точках крепления от ровного (без изменения направления) бокового ветра.

**Максимальное усилие на вырыв в точке крепления 4.99 тс
(с учётом компенсации от собственного веса 1,786 тс).**

Инв. № подп	Подп. и дата	Инв. № дубл.	Взам. инв. №	Подп. и дата

Ли	Изм.	№ докум.	Подп.	Дат

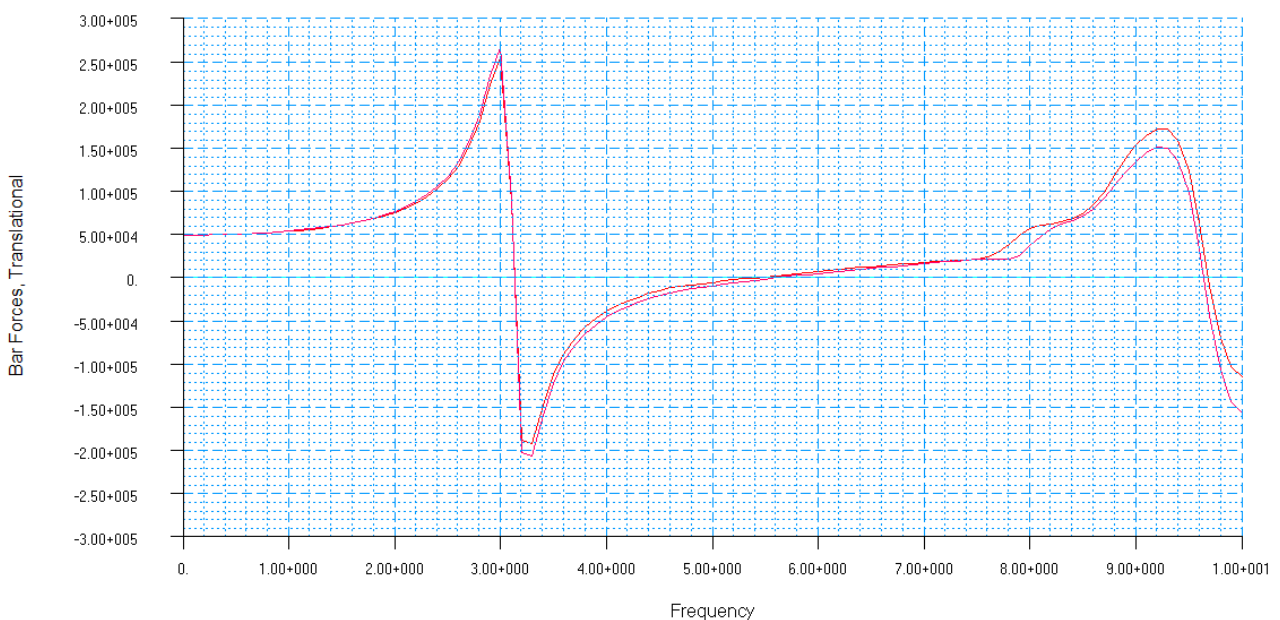


Рис. 4.6.4. Сдвиговые усилия в точках крепления от порывистого (изменяющегося по направлению) ветра.

Максимальное сдвиговое усилие в точке крепления 27.52 тс.

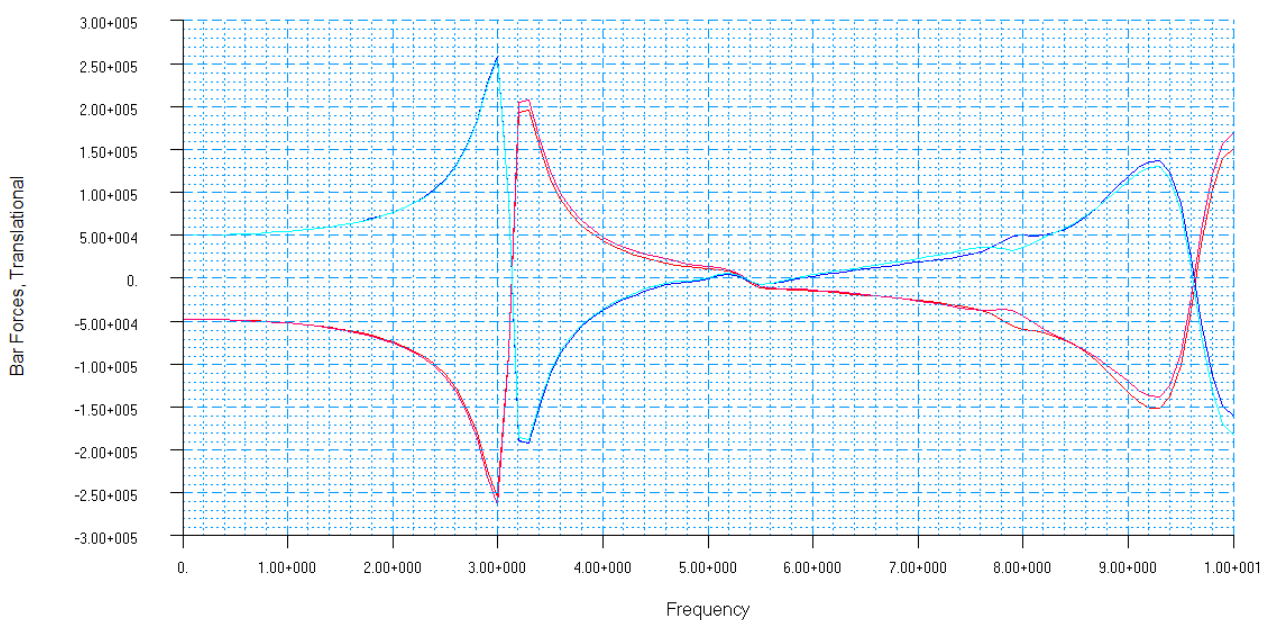


Рис. 4.6.5. Усилия на вырыв в точках крепления от порывистого (изменяющегося по направлению) ветра.

**Максимальное усилия на вырыв в точке крепления 26,5 тс
(с учётом компенсации от собственного веса 23,296 тс).**

Инв. № подп	Подп. и дата	Инв. № дубл.	Взам. инв. №	Подп. и дата

Инв № подл	Подп. и дата	Взам. инв. №	Инв. № дубл.	Подп. и дата

Изм.	
Лист	
№ докум.	
Подп.	
Дата	

НТЦ 0000.00.00.00.00.00.00

5. Сводные таблица запасов по предельным состояниям

В таблицах 5.1 - 5.2 приведены коэффициенты запаса по предельным состояниям для каждого элемента конструкции пролетного строения для пешеходного путепровода.

В таблицах 5.3 - 5.4 приведены расчетные значения усилий в опорах для случаев 4.1.1, 4.6 и нормативные значения усилий в опорах.

Табл. 5.1 - таблица запасов по первому предельному состоянию

Наименование предельного состояния	Интересующий параметр			Допустимое значение	Расчётное значение	Коэффициент надёжности по ответственности	Коэф. запаса
Прочность	Композит СКК2	Растяжение	Прочность в направлении 0°, МПа	163	17,9	1,1	> 5
			Прочность в направлении 90°, МПа	54	3,35	1,1	> 5
		Сжатие	Прочность в направлении 0°, МПа	89	14,8	1,1	> 5
			Прочность в направлении 90°, МПа	36	1,69	1,1	> 5
		Прочность на сдвиг, МПа		25	4,74	1,1	> 5
		Композит СКК4	Прочность в направлении 0°, МПа	107	8,86	1,1	> 5
			Прочность в направлении 90°, МПа	68	4,34	1,1	> 5
			Прочность в направлении 0°, МПа	60	6,55	1,1	> 5
			Прочность в направлении 90°, МПа	47	6,37	1,1	> 5
			Прочность на сдвиг, МПа	38	6,71	1,1	> 5
			Прочность в направлении 0°, МПа		170	2,26	1,1
	Композит СКК6	Растяжение	Прочность в направлении 90°, МПа	16	0,77	1,1	> 5
			Прочность в направлении 0°, МПа	104	17,9	1,1	> 5
		Сжатие	Прочность в направлении 90°, МПа	21	0,24	1,1	> 5
			Прочность на сдвиг, МПа	20	1,52	1,1	> 5

Инв № подл	Подп. и дата	Взам. инв. №	Инв. № дубл.	Подп. и дата

Изм.	
Лист	
№ докум.	
Подп.	
Дата	

НТЦ 0000.00.00.00.00.00

Продолжение таблицы 5.1 на следующей странице

Продолжение таблицы 5.1

Наименование предельного состояния	Интересующий параметр			Допустимое значение	Расчётоное значение	Коэффициент надёжности по ответственности	Коэф. запаса		
Прочность	TX-Combiflow-300-TX	Растяжение	Прочность в направлении 0°, МПа	80	11,2	1,1	> 5		
			Прочность в направлении 90°, МПа	23	5,39	1,1	4,27		
		Сжатие	Прочность в направлении 0°, МПа	64	12,3	1,1	> 5		
			Прочность в направлении 90°, МПа	35	5,79	1,1	> 5		
		Прочность на сдвиг, МПа		23	5,35	1,1	4,3		
	LVL-брус	Растяжение	Прочность в направлении 0°, МПа	27	3,84	1,1	> 5		
			Прочность в направлении 90°, МПа	6,7	2,78	1,1	2,41		
		Сжатие	Прочность в направлении 0°, МПа	27	6,93	1,1	3,9		
			Прочность в направлении 90°, МПа	3,5	1,67	1,1	2,1		
		Прочность на сдвиг, МПа		1,7	0,894	1,1	1,9		
Устойчивость	Коэффициент устойчивости					-	7,7		
Выносливость	Количество циклов			> 2 000 000	111 900 000	-	55,95		

Инв № подл	Подп. и дата	Взам. инв. №	Инв. № дубл.	Подп. и дата

Изм.	
Лист	
№ докум.	
Подп.	
Дата	

Табл. 5.2 - таблица запасов по второму предельному состоянию

Наименование предельного состояния	Интересующий параметр	Допустимое значение	Расчётное значение	Коэффициент надёжности по ответственно сти	Коэф. запаса
Прогиб	Собственный вес пролета	Прогиб, мм	-	10.5	-
	от суммарной нагрузки		169 (строит. подъем)	56.8	-
	от пешеходной нагрузки		45	18.3	2.46
Собственные частоты колебаний	с учётом уменьшения физ.- мех. свойств во время эксплуатации	Частота, Гц	Запрещенный диапазон от 1.66 до 2.23	4,3592	1.55
	с учётом уменьшения физ.- мех. свойств во время эксплуатации без нагрузки-			4,6594	1.69
	с номинальными физ.-мех. свойствами			4,9456	2.23

Табл.5.3 Расчётные усилия на опоры.

Нагрузки	Вертикальное, [Н]	Поперечное, [Н]	Продольное, [Н]
Общая	135000	1000	49200
Вес балки	21104	156	7691
Вес остекление, перила, покрытие	18325	136	6679
Пешеходная	58075	430	21165
Снег	37496	278	13665
Ветер	Сжатие 296431 Вырыв -233569	270000	120000

Табл.5.4 Нормативные усилия на опоры.

Нагрузки	Вертикальное, [Н]	Поперечное, [Н]	Продольное, [Н]
Общая	103266	765	37635
Вес балки	19185	142	6992
Вес остекление, перила, покрытие	15816	117	5764
Пешеходная	41482	307	15118
Снег	26783	198	9761
Ветер	Сжатие 211736 Вырыв -166835	192857	85714

6. Заключение

Проведённые расчёты по предельным состояниям показывают, что конструкция пролётного строения для пешеходного путепровода из композиционных материалов имеет запасы прочности и жесткости.

Минимальные запас прочности для стеклопластиковых элементов конструкции составляет 4.27, для элементов конструкции из LVL-бруса составляет 1.9.

Запас по устойчивости (с учетом местных и общих форм потери устойчивости) составляет 7.7.

Выносливость: расчётное количество циклов составляет $111,9 \cdot 10^6$.

Прогиб от суммарных нормативных нагрузок составляет 56.8 мм.

Прогиб от временной нормативной пешеходной нагрузки составляет 18.3 мм, что меньше допустимой величины 45 мм (1/400 от расчетной длины пролета).

Низшая собственная частота составляет 4.3592 Гц, период 0.23 с. Данная величина находится вне границ запрещенного СП диапазона (от 0.45 до 0.6 с).

Максимальное сдвиговое усилие в точке крепления 27.52 тс.

Максимальное усилия на вырыв в точке крепления 26.5 тс (с учетом компенсации от собственного веса 23.296 тс).

По результатам расчетов данное пролетное строение может быть применено в пешеходном путепроводе.

Инв. № подп	Подп. и дата	Инв. № дубл.	Взам. инв. №	Подп. и дата

Ли	Изм.	№ докум.	Подп.	Дат

НТЦ 0125.00.00.000

Лист